

COMMITTENTE



PROGETTAZIONE:



CUP: J84H17000930009

U.O. INFRASTRUTTURE NORD

PROGETTO DEFINITIVO

**RADDOPPIO LINEA CODOGNO – CREMONA – MANTOVA
TRATTA PIADENA - MANTOVA**

FV14 - FERMATA DI CASTELLUCCHIO - km 78+664,80

Relazione di calcolo nuovo sottopasso

SCALA:

-

COMMESSA LOTTO FASE ENTE TIPO DOC. OPERA/DISCIPLINA Progr. REV.

N M 2 5 0 3 D 2 6 C L F V 1 4 B 0 0 0 1 A

Rev.	Descrizione	Redatto	Data	Verificato	Data	Approvato	Data	Autorizzato Data
A	Emissione Esecutiva	G. Coppa 	Aprile 2020	P. Scarano 	Aprile 2020	M. Berlingieri 	Aprile 2020	A. Perego Aprile 2020

File:NM2503D26CLFV14B0001A

n. Elab.:

INDICE

1.	PREMESSA	4
2.	DOCUMENTI DI RIFERIMENTO	5
2.1	NORMATIVA	5
3.	UNITÀ DI MISURA	7
4.	CARATTERISTICHE DEI MATERIALI	8
4.1	CALCESTRUZZO ELEVAZIONE	8
4.2	CALCESTRUZZO FONDAZIONE	8
4.3	ACCIAIO PER CEMENTO ARMATO	9
4.4	DURABILITÀ E PRESCRIZIONI SUI MATERIALI	10
4.5	COPRIFERRO MINIMO E COPRIFERRO NOMINALE	10
5.	PARAMETRI SISMICI	11
6.	PARAMETRI GEOTECNICI	13
7.	GEOMETRIA DELLA STRUTTURA	15
8.	ANALISI DEI CARICHI	16
8.1	CONDIZIONI DI CARICO	16
8.1.1	<i>Peso proprio strutturale (PP)</i>	16
8.1.2	<i>Carichi permanenti portati (PERM)</i>	16
8.1.3	<i>Spinta del terreno (SPTSX e SPTDX)</i>	17
8.1.4	<i>Azioni della falda (SPTW)</i>	18
8.1.5	<i>Azioni termiche (TERM)</i>	19
8.1.6	<i>Ritiro (RITIRO)</i>	19
8.1.7	<i>Azioni variabili da traffico</i>	21
8.1.8	<i>Azioni sismiche</i>	25
8.2	COMBINAZIONI DI CARICO	28
9.	CRITERI DI VERIFICA	37
9.1	VERIFICHE ALLO STATO LIMITE ULTIMO	37
9.1.1	<i>Sollecitazioni flettenti</i>	37

9.1.2	<i>Sollecitazioni taglianti</i>	37
9.2	VERIFICHE ALLO STATO LIMITE DI ESERCIZIO	39
9.2.1	<i>Verifica a fessurazione</i>	40
9.2.2	<i>Verifica delle tensioni</i>	40
10.	MODELLAZIONE STRUTTURALE	41
10.1	CODICE DI CALCOLO	41
10.2	MODELLO DI CALCOLO	41
10.2.1	<i>Interazione terreno-struttura</i>	42
11.	ANALISI DELLE SOLLECITAZIONI	44
12.	VERIFICHE DI DEFORMAZIONE E VIBRAZIONE.....	50
12.1	INFLESSIONE NEL PIANO VERTICALE DELL'IMPALCATO	50
12.2	STATO LIMITE DI COMFORT DEI PASSEGGERI	50
13.	VERIFICHE DI RESISTENZA ULTIMA E DI ESERCIZIO.....	51
13.1	SOLETTA SUPERIORE – SEZIONE DI MEZZERIA	53
13.2	SOLETTA SUPERIORE – SEZIONE DI INCASTRO.....	58
13.3	SOLETTA INFERIORE – SEZIONE DI MEZZERIA	64
13.4	SOLETTA INFERIORE – SEZIONE DI INCASTRO	69
13.5	PIEDRITTI – SEZIONE DI INCASTRO INFERIORE	75
13.6	PIEDRITTI – SEZIONE DI INCASTRO SUPERIORE	81
13.7	PIEDRITTI – SEZIONE MEZZERIA	87
14.	VERIFICHE GEOTECNICHE	93
14.1	VERIFICA ALLO STATO LIMITE DI SOLLEVAMENTO	93
14.2	VERIFICA DELLA CAPACITÀ PORTANTE.....	93
14.3	VALUTAZIONE DEI CEDIMENTI	101
15.	VALUTAZIONE DELLE INCIDENZE	103

1. **PREMESSA**

La presente relazione di calcolo viene emessa nell'ambito della redazione degli elaborati tecnici relativi al Progetto definitivo del Raddoppio Ferroviario Codogno-Cremona-Mantova.

La presente relazione è relativa al calcolo del sottopasso denominato "FV14" e ubicato al km 78+664,80 della linea ferroviaria.

Il sottopasso è costituito da una struttura scatolare realizzata in conglomerato cementizio gettato in opera, di dimensioni interne 4.40 x 3.26m, con soletta di copertura di spessore 0.50m, piedritti di spessore 0.50m e soletta di fondazione di spessore 0.50m. La distanza tra la quota del piano del ferro e l'estradosso della soletta superiore è pari a 1.00 m.

L'opera ricade in zona sismica e sono state pertanto considerate le azioni derivanti dall'analisi sismica, secondo quanto previsto dal D.M. 17/01/18 e dalla Circolare Applicativa.

2. DOCUMENTI DI RIFERIMENTO

2.1 NORMATIVA

Le analisi strutturali e le verifiche di sicurezza sono state effettuate in accordo con le seguenti normative.

- [1] LEGGE n. 1086 05.11.1971: *“Norme per la disciplina delle opere in conglomerato cementizio armato, normale e precompresso ed a struttura metallica”*;
- [2] Decreto Ministeriale del 17 gennaio 2018: *“Aggiornamento delle «Norme Tecniche per le Costruzioni»*, G.U. Serie Generale n.42 del 20.02.2008, Supplemento Ordinario n.8;
- [3] Circolare 21 gennaio 2019 n.7 ” Istruzioni per l'applicazione dell'«Aggiornamento delle “Norme tecniche per le costruzioni”» di cui al decreto ministeriale 17 gennaio 2018”;
- [4] RFI DTC SI MA IFS 001 C del 21.12.2018 - *“Manuale di progettazione delle opere civili”*;
- [5] RFI DTC SI AM MA IFS 001 B del 21.12.2018 - *“Manuale di progettazione delle opere civili – Sezione 1 - Ambiente”*;
- [6] RFI DTC SI PS MA IFS 001 C del 21.12.2018 - *“Manuale di progettazione delle opere civili – Sezione 2 – Ponti e Strutture”*;
- [7] RFI DTC SI CS MA IFS 001 C del 21.12.2018 - *“Capitolato generale tecnico di appalto delle opere civili”*;
- [8] 1299/2014/UE Specifiche tecniche d'interoperabilità per il sottosistema “Infrastruttura” del sistema ferroviario dell'Unione Europea (18/11/2014);
- [9] Regolamento (UE) N. 1299/2014 della Commissione del 18 novembre 2014 relativo alle specifiche tecniche di interoperabilità per il sottosistema «infrastruttura» del sistema ferroviario dell'Unione europea, modificato dal Regolamento di esecuzione (UE) N° 2019/776 della Commissione del 16 maggio 2019;
- [10] UNI EN 1997-1: Eurocodice 7 – Progettazione geotecnica – Parte 1: Regole generali;
- [11] UNI EN 1998-5: Eurocodice 8 – Progettazione delle strutture per la resistenza sismica – Parte 5: Fondazioni, strutture di contenimento ed aspetti geotecnici;
- [12] Legge. 2 febbraio 1974, n. 64. Provvedimenti per le costruzioni con particolari prescrizioni per le zone sismiche;

[13] UNI EN 1992-1-1 “Progettazione delle strutture di calcestruzzo”;

[14] UNI EN 206-1-2016: Calcestruzzo. “Specificazione, prestazione, produzione e conformità”.

3. UNITÀ DI MISURA

Le unità di misura usate nella presente relazione sono:

- lunghezze [m]
- forze [kN]
- momenti [kNm]
- tensioni [MPa]

4. CARATTERISTICHE DEI MATERIALI

4.1 Calcestruzzo Elevazione

Per la realizzazione dello scatolare, si prevede l'utilizzo di calcestruzzo avente classe di resistenza 30/37 ($R_{ck} \geq 37.00 \text{ N/mm}^2$) che presenta le seguenti caratteristiche:

- Resistenza caratteristica a compressione (cilindrica)
 $f_{ck} = 0.83 \times R_{ck} = 30.71 \text{ N/mm}^2$
- Resistenza media a compressione
 $f_{cm} = f_{ck} + 8 = 38.71 \text{ N/mm}^2$
- Modulo elastico
 $E_{cm} = 22000 \times (f_{cm}/10)^{0.3} = 33019 \text{ N/mm}^2$
- Resistenza di calcolo a compressione
 $f_{cd} = a_{cc} \times f_{ck}/\gamma_c = 0.85^* f_{ck}/1.5 = 17.40 \text{ N/mm}^2$
- Resistenza a trazione media
 $f_{ctm} = 0.30 \times f_{ck}^{2/3} = 2.94 \text{ N/mm}^2$
- Resistenza a trazione
 $f_{ctk} = 0.7 \times f_{ctm} = 2.06 \text{ N/mm}^2$
- Resistenza a trazione di calcolo
 $f_{ctd} = f_{ctk} / \gamma_c = 1.37 \text{ N/mm}^2$
- Resistenza a compressione (comb. Rara)
 $\sigma_c = 0.55 \times f_{ck} = 16.89 \text{ N/mm}^2$
- Resistenza a compressione (comb. Quasi permanente)
 $\sigma_c = 0.40 \times f_{ck} = 12.28 \text{ N/mm}^2$

4.2 Calcestruzzo Fondazione

Per la realizzazione della fondazione del muro ad U, si prevede l'utilizzo di calcestruzzo avente classe di resistenza 25/30 ($R_{ck} \geq 30.00 \text{ N/mm}^2$) che presenta le seguenti caratteristiche:

- Resistenza caratteristica a compressione (cilindrica)
 $f_{ck} = 0.83 \times R_{ck} = 24.90 \text{ N/mm}^2$
- Resistenza media a compressione
 $f_{cm} = f_{ck} + 8 = 32.90 \text{ N/mm}^2$
- Modulo elastico
 $E_{cm} = 22000 \times (f_{cm}/10)^{0.3} = 31447 \text{ N/mm}^2$
- Resistenza di calcolo a compressione
 $f_{cd} = a_{cc} \times f_{ck} / \gamma_c = 0.85^* f_{ck} / 1.5 = 14.11 \text{ N/mm}^2$
- Resistenza a trazione media
 $f_{ctm} = 0.30 \times f_{ck}^{2/3} = 2.56 \text{ N/mm}^2$
- Resistenza a trazione
 $f_{ctk} = 0.7 \times f_{ctm} = 1.79 \text{ N/mm}^2$
- Resistenza a trazione di calcolo
 $f_{ctd} = f_{ctk} / \gamma_c = 1.19 \text{ N/mm}^2$
- Resistenza a compressione (comb. Rara)
 $\sigma_c = 0.55 \times f_{ck} = 13.70 \text{ N/mm}^2$
- Resistenza a compressione (comb. Quasi permanente)
 $\sigma_c = 0.40 \times f_{ck} = 9.96 \text{ N/mm}^2$

Calcestruzzo per magrone

Classe di resistenza = C12/15

4.3 Acciaio per cemento armato

Tipo B450 (controllato in stabilimento)

$f_{yk} = 450 \text{ MPa}$ Tensione caratteristica di snervamento

$f_{yd} = f_{yk} / 1.15 =$	391.30 MPa	Resistenza di calcolo
$\sigma_s = 0.75 f_{yk} =$	337.50 MPa	Tensione limite in condizione di esercizio (comb. Rara)
$E_s =$	210000 MPa	Modulo elastico

4.4 Durabilità e prescrizioni sui materiali

Per garantire la durabilità delle strutture in calcestruzzo armato ordinario, esposte all'azione dell'ambiente, si devono adottare i provvedimenti atti a limitare gli effetti di degrado indotti dall'attacco chimico, fisico e derivante dalla corrosione delle armature e dai cicli di gelo e disgelo.

Per le opere della presente relazione, in base a quanto prescritto dal Capitolato di Costruzione RFI 2018, si adotta quanto segue:

Elevazione	Classe di esposizione	XC3
Fondazione	Classe di esposizione	XC2

4.5 Copriferro minimo e copriferro nominale

Al fine di preservare le armature dai fenomeni di aggressione ambientale, dovrà essere previsto un idoneo copriferro; definito come la distanza tra la superficie esterna dell'armatura, inclusi collegamenti e staffe, e la superficie di calcestruzzo più vicina.

In riferimento alla Tabella 2.5.2.2.3.2.-1 del Manuale di Progettazione delle Opere Civili Parte II - Sezione 2, per l'elemento strutturale in esame risulta un copriferro minimo $c_{min}=40mm$.

5. PARAMETRI SISMICI

Per la definizione dell'azione sismica occorre definire il periodo di riferimento P_{VR} in funzione dello stato limite considerato. La vita nominale (V_N) dell'opera è stata assunta pari a 50 anni. La classe d'uso assunta è la II. Il periodo di riferimento (V_R) per l'azione sismica, data la vita nominale e la classe d'uso, vale:

$$V_R = V_N \times C_u = 50 \times 1 = 50 \text{ anni.}$$

Il valore di probabilità di superamento del periodo di riferimento P_{VR} , cui riferirsi per individuare l'azione sismica agente, è:

$$P_{VR} (SLV)=10\%.$$

Il periodo di ritorno dell'azione sismica T_R espresso in anni vale:

$$T_R (SLV) = - \frac{V_r}{\ln(1 - P_{vr})} = 475 \text{ anni}$$

Dato il valore del periodo di ritorno suddetto, tramite le tabelle riportate nell'Allegato B della norma o tramite la mappatura messa a disposizione in rete dall'Istituto Nazionale di Geofisica e Vulcanologia (INGV), è possibile definire i valori di a_g , F_0 , T^*c :

- a_g → accelerazione orizzontale massima del terreno su suolo di categoria A, espressa come frazione dell'accelerazione di gravità;
- F_0 → valore massimo del fattore di amplificazione dello spettro in accelerazione orizzontale;
- T^*c → periodo di inizio del tratto a velocità costante dello spettro in accelerazione orizzontale;
- S → coefficiente che comprende l'effetto dell'amplificazione stratigrafica (S_s) e dell'amplificazione topografica (S_t);

Il calcolo viene eseguito con il metodo pseudostatico (N.T.C. par. 7.11.6). In queste condizioni l'azione sismica è rappresentata da una forza statica equivalente pari al prodotto delle forze di gravità per un opportuno coefficiente sismico.

Le spinte delle terre, considerando lo scatolare una struttura rigida e priva di spostamenti (NTC par. 7.11.6.2.1 e EC8-5 par.7.3.2.1), sono calcolate in regime di spinta a riposo, condizione che comporta il

calcolo delle spinte in condizione sismica con l'incremento dinamico di spinta del terreno calcolato secondo la formula di Wood:

$$\Delta P_d = S a_g / g \gamma h_{tot}^2$$

L'azione sismica è rappresentata da un insieme di forze statiche orizzontali e verticali, date dal prodotto delle forze di gravità per le accelerazioni sismiche massime attese al suolo, considerando la componente verticale agente verso l'alto o verso il basso, in modo da produrre gli effetti più sfavorevoli.

I corrispondenti valori delle caratteristiche sismiche per lo SLV sono i seguenti:

latitudine = 45.146117;

longitudine = 10.689831;

a_g = 0.088 g;

F_0 = 2.596

T^*c = 0.308 s.

Il sottosuolo su cui insiste l'opera ricade in categoria sismica "C" e categoria topografica "T1". I coefficienti di amplificazione stratigrafica e topografica risultano quindi:

S_S = 1.50;

S_T = 1.0.

Risulta quindi:

a_{max} = 1.310 m/s²;

k_h = 0.131;

k_v = ±0.066.

6. PARAMETRI GEOTECNICI

Le caratteristiche geotecniche del terreno in situ, in accordo con Relazione Geotecnica sono di seguito riportati:

Parametro	WRs1	WRa1	Rs1	Rs2
γ (kN/m ³)	19.0	19.0	19.0	19.0
ϕ' (°)	33	27	33	34
c' (kPa)	0	0	0	0
C_u (kPa)	-	50	-	-
G_0 (MPa)	40.0	50.0	60.0 fino a 7 m da pc 80.0 tra 7 e 10 m da pc 110.0 oltre a 10 m da pc	110.0 fino a 16 m da pc 130.0 oltre 16 m da pc
E_0 (MPa)	100.0	125.0	150.0 fino a 7 m da pc 200.0 tra 7 e 10 m da pc 275.0 oltre a 10 m da pc	275.0 fino a 16 m da pc 325.0 oltre 16 m da pc
E_{op1} (MPa)	10.0	12.5	15.0 fino a 7 m da pc 20.0 tra 7 e 10 m da pc 27.5 oltre a 10 m da pc	27.5 fino a 16 m da pc 32.5 oltre 16 m da pc
E_{op2} (MPa)	20.0	25.0	30.0 fino a 7 m da pc 40.0 tra 7 e 10 m da pc 55.0 oltre a 10 m da pc	55.0 fino a 16 m da pc 65.0 oltre 16 m da pc
OCR (-)	-	3.0	-	-
CR (-)	-	0.18	-	-
RR (-)	-	0.036	-	-
$C_{\alpha\beta}$ (%)	-	0.12	-	-
k_v (m/s)	2.00E-7	5.00E-8	5.00E-7	1.00E-6

Tabella 1: Caratterizzazione geotecnica

Quota di riferimento pc \approx 26.0 m slmm			
UNITA' GEOTECNICA	DA	A	SPESSORE
(-)	(m pc)	(m pc)	(m)
WRs1	0.0	1.5	1.5
WRa1	1.5	3.2	1.7
Rs1	3.2	12.0	8.8

Relazione di calcolo nuovo sottopasso

COMMESSA	LOTTO	CODIFICA	DOCUMENTO	REV.	FOGLIO
NM25	03 D 26	CL	FV 14 B0 001	A	14 di 103

Rs2	12.0	30.0	18.0
La falda di progetto è a 3.0 m da pc			

Tabella 2 Stratigrafia di riferimento

I parametri geotecnici impiegati per il rilevato ferroviario sono:

$\gamma =$	20.00	kN/m ³	peso di volume naturale
$\varphi' =$	38	°	angolo di resistenza al taglio
$c' =$	0.00	kPa	coesione drenata

La quota del pelo libero della falda è posta a circa 2 m dalla quota di intradosso soletta di fondazione.

7. GEOMETRIA DELLA STRUTTURA

Nel seguito sarà esaminata una striscia di scatolare avente lunghezza 1.00m. Si riportano di seguito le dimensioni geometriche della sezione in retto.

Spessore medio del ballast + armamento	$H_b =$	0.70m
Spessore sovrizzo in curva	$H_{sv} =$	0.00m
Spessore sub-ballast	$H_{sb} =$	0.00m
Spessore supercompattato	$H_{sc} =$	0.12m
Spessore rinterro	$H_r =$	0.00m
Spessore massetto impermeabilizzazione	$H_m =$	0.18m
Larghezza totale dello scatolare	$L_{tot} =$	5.40m
Larghezza utile dello scatolare	$L_{int} =$	4.40m
Larghezza mensola di fondazione sinistra	$L_{msx} =$	0.00m
Larghezza mensola di fondazione destra	$L_{mdx} =$	0.00m
Spessore della soletta di copertura	$S_s =$	0.50m
Spessore piedritti	$S_p =$	0.50m
Spessore ritto centrale	$S_{pc} =$	0.00m
Spessore della soletta di fondazione	$S_f =$	0.50m
Altezza libera dello scatolare	$H_{int} =$	3.26m
Altezza totale dello scatolare	$H_{tot} =$	4.26m
Quota falda da intradosso fondazione	$H_w =$	2.00m
Larghezza striscia di calcolo	$b =$	1.00m

L'asse del sottopasso è in retto rispetto all'asse ferroviario.

8. ANALISI DEI CARICHI

Nel seguente paragrafo si descrivono le condizioni di carico elementari assunte per l'analisi delle sollecitazioni e per le verifiche della struttura in esame. Tali condizioni di carico elementari saranno opportunamente combinate secondo quanto previsto dalla normativa vigente.

Per i materiali si assumono i seguenti pesi specifici:

calcestruzzo armato:	$\gamma_{c.a.}$	= 25 kN/m ³ ;
sovrastuttura stradale:	γ_{ril}	= 20 kN/m ³ ;
massicciata + armamento:	γ_b	= 18 kN/m ³ .

8.1 Condizioni di carico

8.1.1 Peso proprio strutturale (PP)

Il peso proprio delle solette e dei piedritti risulta:

Peso soletta superiore	$P_{ss} = 25.00 \times 0.50 =$	12.50 kN/m
Peso soletta inferiore	$P_{si} = 25.00 \times 0.50 =$	12.50 kN/m
Peso piedritti	$P_p = 25.00 \times 0.50 =$	12.50 kN/m
Peso setto centrale	$P_{sc} = 25.00 \times 0.00 =$	0.00 kN/m

8.1.2 Carichi permanenti portati (PERM)

8.1.2.1 Soletta superiore

Ballast e armamento	0.70 m	x	18.00 kN/mc =	12.60	kN/mq
Sovralzo per linee in curva	0.00m	x	20.00 kN/mc =	0.00	kN/mq
Sub-ballast	0.00m	x	20.00 kN/mc =	0.00	kN/mq
Supercompattato	0.12m	x	20.00 kN/mc =	2.40	kN/mq
Rinterro	0.00m	x	20.00 kN/mc =	0.00	kN/mq
Massetto impermeabilizzazione	0.18m	x	25.00 kN/mc =	4.50	kN/mq

Peso totale permanenti portati sulla soletta superiore:

$$P_{ps} = 19.50 \text{ kN/m}$$

Inoltre si considera, come carico concentrato nei nodi di connessione tra la soletta superiore e i piedritti, il carico permanente dovuto al peso della zona sovrastante la metà dello spessore del piedritto (la modellazione dello scatolare è stata fatta in asse piedritto):

$$P_{ps_p} = 4.88 \text{ kN}$$

8.1.2.2 Soletta inferiore

Sulla soletta inferiore sono stati considerati i carichi permanenti relativi alla sovrastruttura stradale:

Spessore medio sovrastruttura stradale	0.25	m
Peso specifico sovrastruttura stradale	20	kN/m ³
Peso sovrastruttura stradale	5.00	kN/m

8.1.3 Spinta del terreno (SPTSX e SPTDX)

La struttura è stata analizzata nella condizione di spinta a riposo.

$$K_0 = 0.384$$

La pressione del terreno è stata calcolata come:

$$P = (P_b + h_{variabile} \cdot \gamma_{terreno_piedritto}) \cdot K_0$$

al di sopra della falda

$$P = [P_b + h_{variabile} \cdot (\gamma_{terreno_piedritto} - \gamma_w)] \cdot K_0$$

al di sotto della falda

per cui risulta quanto segue.

Pressione estradosso soletta superiore	$P_1 =$	7.49	kN/m
Pressione in asse soletta superiore	$P_2 =$	9.42	kN/m
Pressione in asse soletta inferiore	$P_3 =$	30.40	kN/m

Pressione intradosso soletta inferiore $P_4 = 31.36 \text{ kN/m}$

Inoltre sono stati considerati, come carichi concentrati nei nodi della copertura e della fondazione, i contributi delle spinte del terreno esercitate su metà spessore delle soletta di copertura e di fondazione.

Spinta semispessore soletta di copertura $P_{H.t.cop} = 2.11 \text{ kN}$

Spinta semispessore soletta di fondazione $P_{H.t.fond} = 7.72 \text{ kN}$

Nella figura seguente si riportano i diagrammi di spinta del terreno agenti sui piedritti.

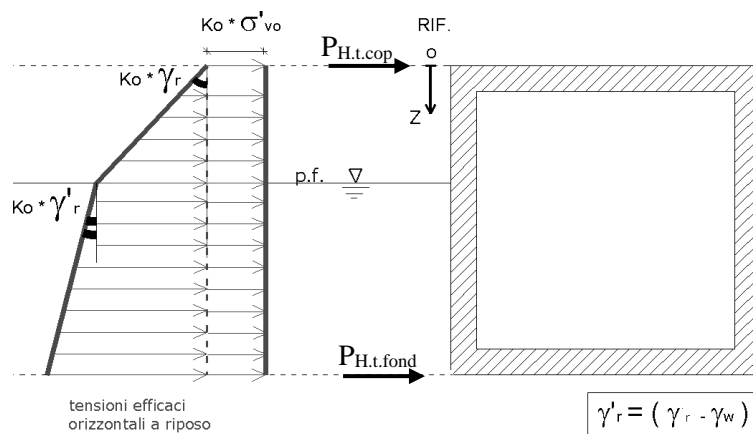


Figura 1 SPTSX

8.1.4 Azioni della falda (SPTW)

La quota del pelo libero della falda è posta a circa 2 m dalla quota di intradosso soletta di fondazione. I valori delle spinte agenti sui piedritti, sono stati calcolati come:

$$P = z \times \gamma_w$$

per cui risulta:

Pressione in asse soletta inferiore $P_{w1} = 17.50 \text{ kN/m}$

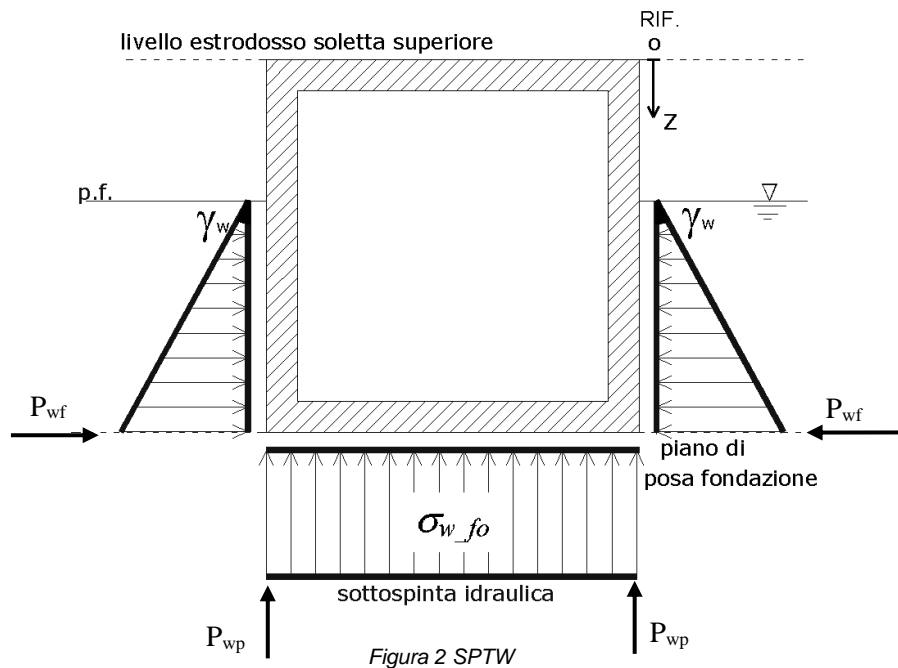
Pressione intradosso soletta inferiore $P_{w2} = 20.00 \text{ kN/m}$

Inoltre sono stati considerati, come carichi concentrati nei nodi della fondazione e dei piedritti, i seguenti contributi:

Spinta semispessore soletta di fondazione $P_{wf} = 4.69 \text{ kN}$

Sottopinta semispessore piedritti

$$P_{wp} = 5.00 \text{ KN}$$



8.1.5 Azioni termiche (TERM)

Sono stati considerati gli effetti dovuti alle variazioni termiche. In particolare, è stata considerata sulla soletta superiore una variazione termica uniforme di $\pm 15^\circ \text{C}$ ed una variazione termica nello spessore, tra estradosso ed intradosso, pari a $\Delta T_v = \pm 5^\circ \text{C}$. Il valore applicato della variazione termica uniforme viene ridotto di 1/3 per considerare gli effetti viscosi del calcestruzzo, ed è quindi pari a $\pm 5^\circ \text{C}$. Per il coefficiente di dilatazione termica si assume:

$$\alpha = 10 \cdot 10^{-6} = 0.00001 \text{ } ^\circ\text{C}^{-1}.$$

8.1.6 Ritiro (RITIRO)

Il ritiro viene applicato mediante una variazione termica uniforme della copertura, in grado di produrre la stessa deformazione nel calcestruzzo.

I fenomeni di ritiro sono stati considerati agenti sulla sola soletta di copertura ed applicati nel modello come una variazione termica uniforme equivalente pari a:

$$\Delta T_{\text{ritiro}} = -11.2 \text{ } ^\circ\text{C}.$$

Di seguito i risultati delle analisi.

L'analisi delle sollecitazioni viene svolta per una striscia di larghezza unitaria, assumendo la dimensione convenzionale h_0 pari a $2 \times A_c/u$ ed un calcestruzzo 30/37.

Caratteristiche della sezione:

$$B = 1.00 \text{ m}$$

$$H = 0.50 \text{ m}$$

Caratteristiche del cls a tempo zero:

$$f_{ck} = 30.71 \text{ N/mm}^2 \quad \text{classe del cls}$$

$$f_{cm} = f_{ck} + 8 = 38.71 \text{ N/mm}^2 \quad \text{resistenza a compressione media}$$

Deformazione da ritiro:

$$U.R. = 75 \% \quad \text{umidità relativa}$$

$$\epsilon_{ca}(t=\infty) = -5.18E-05 \quad \text{ritiro autogeno}$$

$$\epsilon_{cd}(t=\infty) = -3.00E-04 \quad \text{ritiro per essiccamento}$$

$$\epsilon_r = \epsilon_{ca} + \epsilon_{cd} = -3.51E-04$$

Il ritiro viene considerato nel calcolo delle sollecitazioni come un'azione termica applicata alla soletta superiore di intensità pari a:

$$\alpha \times \Delta T \times E_c = \epsilon_r \times E_c / (1 + \phi)$$

$$\Delta T = \epsilon_r / [\alpha \times (1 + \phi)] = -3.51E-04 / [1.00E-05 \times (1 + 2.13)] = -11.2^\circ\text{C}$$

I fenomeni di ritiro vengono considerati agenti solo sulla soletta di copertura.

8.1.7 Azioni variabili da traffico

8.1.7.1 Coefficiente di incremento dinamico

Per il calcolo del coefficiente dinamico Φ si è fatto riferimento al paragrafo 2.5.1.4.2.5 del MdP RFI DTC SI PS MA IFS 001 C, tenendo conto di quanto riportato nella Tabella 2.5.1.4.2.5.3-1. In particolare, poiché la struttura ha altezza libera $< 5.0\text{m}$ e luce libera $< 8.0\text{m}$, considerando la linea con normale standard manutentivo, vale quanto segue:

Lunghezza del trasverso	$L_{\text{soletta}} =$	4.90m
Altezza dei piedritti	$H_{\text{int}} =$	3.51m
Ricoprimento	$h_r =$	1.00m
Lunghezza media	$L_m =$	3.97m
Lunghezza caratteristica	$L_\Phi =$	5.17
Coeff. incremento dinamico	$\Phi_3 =$	1.35

In accordo alla normativa tale coefficiente dinamico non verrà ridotto in quanto il ricoprimento è inferiore ad un metro.

8.1.7.2 Larghezza di diffusione

Il sovraccarico ferroviario è stato distribuito dalla rotaia alla quota del piano medio della soletta di copertura assumendo che detta diffusione avvenga con rapporto 4/1 lungo il ballast ed 1/1 nel massetto delle pendenze e nelle strutture in c.a., con un aumento dell'impronta di carico pari a:

$$\Delta_d = 0.54 \quad \text{m}$$

La diffusione del carico in senso trasversale all'asse binario risulta dunque pari a:

$$L_d = 2.40 + 2 \Delta_d = 3.47 \quad \text{m}$$

8.1.7.3 Treno LM71 (ACCM_LM71)

Carichi verticali sulla soletta superiore

Il treno LM71 viene schematizzato da 4 assi da 250 kN disposti ad interasse di 1,60 m e da un carico distribuito di 80 kN/m in entrambe le direzioni per una larghezza illimitata.

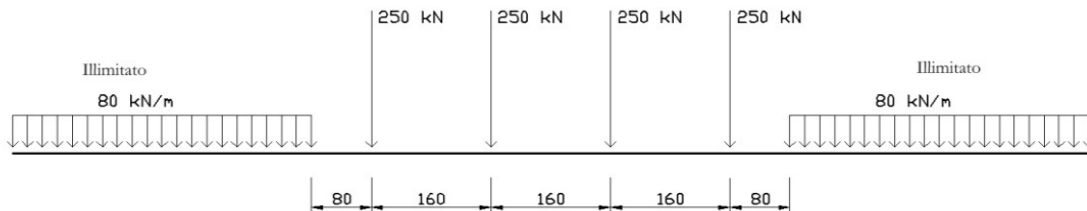


Figura 3 Treno LM71

La larghezza di diffusione in direzione longitudinale, considerando una larghezza della traversina pari a 0.30 m, risulta pari a:

$$L_l = 0.30 + 2 \times \Delta_d = 1.37 \quad \text{m}$$

Poiché la larghezza è minore dell'interasse degli assi (1.6m), le larghezze di diffusione dei singoli assi non si sovrappongono..

Si assume una lunghezza totale di diffusione dei quattro carichi concentrati:

$$L_l = 5.87 \quad \text{m.}$$

Pertanto il carico ripartito dovuto al treno LM71 (considerando il coefficiente di adattamento $\alpha=1.1$ ed il coefficiente dinamico Φ) risulta:

Carico ripartito prodotto dalle forze concentrate $P_{V,Q1.cop} = 72.91 \quad \text{kN/m}$

Carico ripartito prodotto dal carico distribuito $P_{V,Q2.cop} = 34.24 \quad \text{kN/m}$

Considerando che lo scatolare ha una larghezza inferiore a 6.40 m, il carico dovuto al treno LM71 viene distribuito per tutta la larghezza dello scatolare.

8.1.7.4 Treno SW/2 (ACCM_SW2)

Carichi verticali sulla soletta superiore

Tale carico schematizza gli effetti statici prodotti dal traffico ferroviario pesante. Viene schematizzato da un carico lineare uniformemente ripartito di valore pari a 150 kN/m (coefficiente $\alpha = 1,00$):

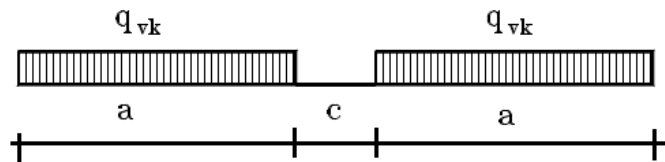


Figura 4 Treno di carico SW

Per la struttura scatolare in oggetto risulta:

$$q = q_{vk} / L_{d1} \times \phi = 58.36 \quad \text{kN/m}$$

Si considera il treno di carico SW/2 applicato su tutta la soletta superiore.

8.1.7.5 Frenatura e avviamento (AVV e FREN)

Le forze di frenatura e di avviamento agiscono sulla sommità del binario nella direzione longitudinale.

Treno LM71

Avviamento $A_v = 33 \text{ kN/m}$

Carico distribuito su L_d :

$$q_{Av} = A_v \alpha / L_d = 10.46 \text{ kN/m}$$

Treno SW/2

Frenatura $A_v = 35 \text{ kN/m}$

Carico distribuito su L_d :

$$q_{Av} = A_v \alpha / L_d = 10.09 \text{ kN/m}$$

Inoltre sono state aggiunte, come carichi concentrati nei nodi della soletta di copertura, le seguenti forze:

Spinta semispessore soletta di copertura (avviamento) $Q_{aNODO} = 0.59 \text{ kN}$

Spinta semispessore soletta di copertura (frenatura) $Q_{fNODO} = 0.47 \text{ kN}$

Nel modello di calcolo si considera l'azione congruente al treno di carico verticale considerato. La spinta è applicata da sinistra verso destra per massimizzare gli effetti di sbilanciamento della struttura.

8.1.7.6 Spinta del sovraccarico sul rilevato (SPACCSX e SPACCDX)

Treno LM71

Si è considerata la sola spinta prodotta dal carico ripartito equivalente alle forze concentrate.

$$P_{H.Q.ritti} = (P_{V.Q1.cop} / \Phi) K_0 = 20.76 \text{ kN/m}$$

Anche in questo caso, sono stati aggiunti, come carichi concentrati nei nodi della copertura e della fondazione per la spinta sul piedritto sinistro e per la spinta sul piedritto destro, le seguenti forze:

Spinta semispessore soletta di copertura	$P_{H.Q.cop} =$	5.19	kN
Spinta semispessore soletta di fondazione	$P_{H.Q.fond} =$	5.19	kN

Treno SW/2

$$P_{H.Q.ritti} = (q_{sw/2} / \Phi) K_0 = 16.61 \text{ kN/m}$$

Anche in questo caso, sono stati aggiunti, come carichi concentrati nei nodi della copertura e della fondazione, le seguenti forze:

Spinta semispessore soletta di copertura	$P_{H.Q.cop} =$	4.15	kN
Spinta semispessore soletta di fondazione	$P_{H.Q.fond} =$	4.15	kN

8.1.7.7 Serpeggio (SERP)

La forza laterale indotta dal serpeggio si considera come una forza concentrata agente orizzontalmente, applicata alla sommità della rotaia più alta, perpendicolarmente all'asse del binario. Tale azione si applicherà sia in rettilineo che in curva. Il valore caratteristico di tale forza sarà assunto pari a $Q_{sk}=100$ kN e la componente trasversale allo scatolare risulta:

$$Q_{\perp}=100 \text{ kN} * \text{sen} (0.00 \text{ } ^{\circ}) = 0.00 \text{ kN}$$

Considerando la diffusione del carico, si avrà:

$$q_{\text{serp}} = Q_{\perp} / (L_d * L_{\text{tot}}) = 0.00 \text{ kN/m}^2.$$

8.1.7.8 Sovraccarichi accidentali sulla soletta di fondazione (ACC_SOLINF)

Si applica un carico uniformemente distribuito pari a 20 kPa.

8.1.7.9 Forza centrifuga

Considerando che la Forza Centrifuga è un'azione longitudinale (rispetto al sottovia) e quindi non dimensionante per il dimensionamento trasversale dello scatolare, essa è stata trascurata.

8.1.7.10 Sghembo

Trattandosi di opere scatolari non si attendono deformazioni torsionali dell'impalcato e non è necessario alcun accorgimento nei confronti dello sghembo.

8.1.8 Azioni sismiche

8.1.8.1 Forze di inerzia:

Per il calcolo dell'azione sismica si è utilizzato il metodo dell'analisi pseudo-statica in cui l'azione sismica è rappresentata da una forza statica equivalente pari al prodotto delle forze di gravità per un opportuno coefficiente sismico k .

Le forze sismiche sono pertanto le seguenti:

$$\text{Forza sismica orizzontale} \quad F_h = k_h \times W$$

$$\text{Forza sismica verticale} \quad F_v = k_v \times W$$

I valori dei coefficienti sismici orizzontale k_h e verticale k_v possono essere valutati mediante le espressioni:

$$k_h = a_{\text{max}}/g$$

$$k_v = \pm 0.5 \times k_h$$

Gli effetti dell'azione sismica sono stati valutati tenendo conto delle masse associate ai seguenti carichi gravitazionali:

$$G_1 + G_2 + \psi_{2j} Q_{kj}$$

Dove nel caso specifico si assumerà, per i carichi dovuti al transito dei convogli ferroviari, $\psi_{2j} = 0.2$.
Come massa del treno è stato considerato il carico uniformemente distribuito sulla copertura di intensità maggiore tra LM71 e SW/2.

Pertanto avremo che:

Massa associata al peso proprio copertura	$G_1 =$	12.50	kN/m
Massa associata al carico permanente	$G_2 =$	19.50	kN/m
Massa treno	$Q_k =$	72.91	kN/m
Massa associata al peso proprio piedritti	$G_3 =$	12.50	kN/m
Massa associata al peso del setto centrale	$G_4 =$	0.00	kN/m

8.1.8.2 Forze sismiche orizzontali (SISMA_H)

Forza orizzontale sulla soletta di copertura (carico orizzontale uniformemente distribuito applicato alla soletta di copertura):

$$F'_h = k_h (G_1 + G_2 + \psi_{2j} Q_{kj}) = 6.10 \quad \text{kN/m}$$

Forza orizzontale sui piedritti (carico orizzontale uniformemente distribuito applicato ai piedritti):

$$F''_h = k_h G_p = 1.64 \quad \text{kN/m}$$

8.1.8.3 Forze sismiche verticali (SISMA_V)

Per la forza sismica verticale avremo analogamente (carico verticale uniformemente distribuito applicato alla soletta di copertura):

Forza verticale sulla soletta di copertura:

$$F'_v = k_v (G_1 + G_2 + \psi_{2j} Q_{kj}) = 3.05 \quad \text{kN/m}$$

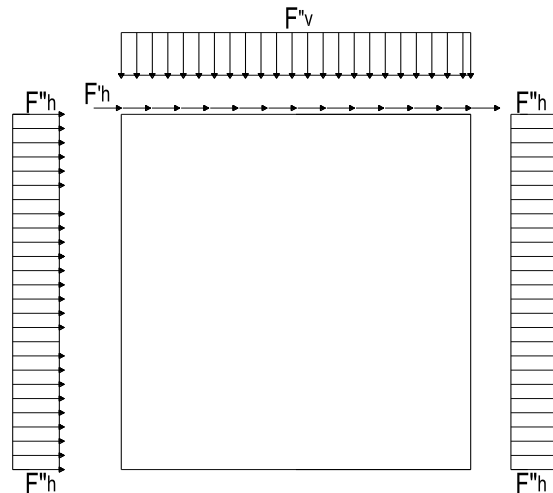


Figura 5 Forze sismiche agenti sulla struttura

8.1.8.4 Spinta delle terre in fase sismica (SPSDX e SPSSX)

Le spinte delle terre sono state determinate con la teoria di Wood, secondo la quale la risultante dell'incremento di spinta per effetto del sisma su una parete di altezza H viene determinata con la seguente espressione:

$$\Delta S_E = (a_{\max}/g) \cdot \gamma \cdot H^2 = 47.55 \quad \text{kN/m}$$

con risultante applicata ad un'altezza pari ad H/2.

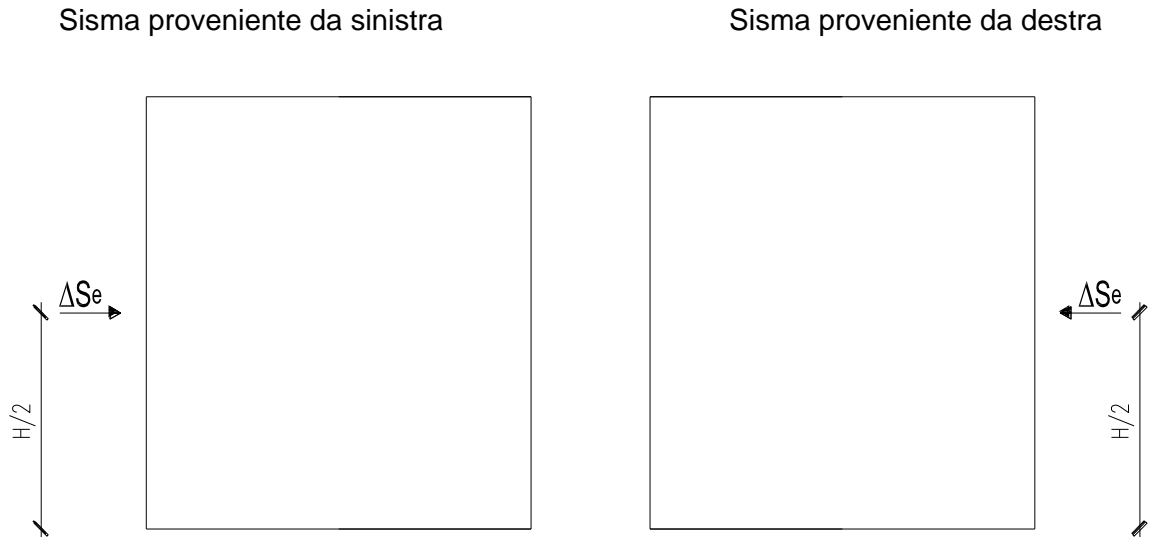


Figura 6 Spinta sismica del terreno secondo la teoria di Wood

Nel modello di calcolo si è applicato il valore della forza sismica per unità di superficie agente su un piedritto, pari a:

$$\Delta_{SE} = \Delta_{SE} / H = 11.16 \quad \text{kN/m}^2$$

8.2 COMBINAZIONI DI CARICO

Ai fini delle verifiche degli stati limite si è fatto riferimento alle seguenti combinazioni delle azioni.

- Combinazione fondamentale, generalmente impiegata per gli stati limite ultimi (SLU):

$$\gamma_{G1} \cdot G_1 + \gamma_{G2} \cdot G_2 + \gamma_P \cdot P + \gamma_{Q1} \cdot Q_{k1} + \gamma_{Q2} \cdot \psi_{02} \cdot Q_{k2} + \gamma_{Q3} \cdot \psi_{03} \cdot Q_{k3} + \dots$$

- Combinazione caratteristica (rara), generalmente impiegata per gli stati limite di esercizio (SLE) irreversibili:

$$G_1 + G_2 + P + Q_{k1} + \psi_{02} \cdot Q_{k2} + \psi_{03} \cdot Q_{k3} + \dots$$

- Combinazione frequente, generalmente impiegata per gli stati limite di esercizio (SLE) reversibili:

$$G_1 + G_2 + P + \psi_{11} \cdot Q_{k1} + \psi_{22} \cdot Q_{k2} + \psi_{23} \cdot Q_{k3} + \dots$$

- Combinazione quasi permanente, generalmente impiegata per gli stati limite di esercizio (SLE) a lungo termine:

$$G_1 + G_2 + P + \psi_{21} \cdot Q_{k1} + \psi_{22} \cdot Q_{k2} + \psi_{23} \cdot Q_{k3} + \dots$$

- Combinazione sismica, impiegata per gli stati limite ultimi e di esercizio connessi all'azione sismica E:

$$E + G_1 + G_2 + P + \psi_{21} \cdot Q_{k1} + \psi_{22} \cdot Q_{k2} + \dots$$

Dove:

$$E = \pm 1.00 \times E_Y \pm 0.30 \times E_Z \quad \text{oppure} \quad E = \pm 0.30 \times E_Y \pm 1.00 \times E_Z$$

avendo indicato con E_Y e E_Z rispettivamente le componenti orizzontale e verticale dell'azione sismica.

Gli effetti dei carichi verticali, dovuti alla presenza dei convogli, vengono sempre combinati con le altre azioni derivanti dal traffico ferroviario, adottando i coefficienti di cui alla Tabella 5.2.IV del DM 17/01/2018 di seguito riportata. In particolare, per ogni gruppo viene individuata una azione dominante che verrà considerata per intero; per le altre azioni, vengono definiti diversi coefficienti di combinazione. Ogni gruppo massimizza una particolare condizione alla quale la struttura dovrà essere verificata.

Tabella 5.2.IV – Valutazione dei carichi da traffico (da DM 17/01/2018)

TIPO DI CARICO	Azioni verticali		Azioni orizzontali			COMMENTI
	Carico Verticale (1)	Treno Scarico	Frenatura ed Avviamento	Centrifuga	Serpeggio	
Gruppo 1 (2)	1.0	-	0.5 (0.0)	1.0 (0.0)	1.0 (0.0)	massima azione verticale e laterale
Gruppo 2 (2)	-	1.0	0.0	1.0 (0.0)	1.0 (0.0)	stabilità laterale
Gruppo 3 (2)	1.0 (0.5)	-	1.0	0.5 (0.0)	0.5 (0.0)	massima azione longitudinale

Gruppo 4	0.8 (0.6; 0.4)	-	0.8 (0.6; 0.4)	0.8 (0.6; 0.4)	0.8 (0.6; 0.4)	fessurazione
----------	----------------	---	----------------	----------------	----------------	--------------

Azione dominante

(1) Includendo tutti i fattori ad essi relativi (Φ, α , ecc..)

(2) La simultaneità di due o tre valori caratteristici interi (assunzione di diversi coefficienti pari ad 1), sebbene improbabile, è stata considerata come semplificazione per i gruppi di carico 1, 2, 3 senza che ciò abbia significative conseguenze progettuali.

Nelle tabelle sopra riportate è indicato un coefficiente per gli effetti a sfavore di sicurezza e, tra parentesi, un coefficiente, minore del precedente, per gli effetti a favore di sicurezza.

I coefficienti di amplificazione dei carichi γ e i coefficienti di combinazione ψ sono riportati nelle tabelle seguenti.

In particolare nel calcolo della struttura scatolare si è fatto riferimento alla combinazione A1 STR.

Di seguito viene riportata la Tabella 5.2.III delle NTC18 dove si mostrano i carichi mobili in funzione del numero di binari presenti:

Numero di binari	Binari Carichi	Traffico normale		Traffico pesante ⁽²⁾
		caso a ⁽¹⁾	caso b ⁽¹⁾	
1	Primo	1,0 (LM 71 "+ SW/0)	-	1,0 SW/2
	Primo	1,0 (LM 71 "+ SW/0)	-	1,0 SW/2
2	secondo	1,0 (LM 71 "+ SW/0)	-	1,0 (LM 71 "+ SW/0)
	Primo	1,0 (LM 71 "+ SW/0)	0,75 (LM 71 "+ SW/0)	1,0 SW/2
≥3	secondo	1,0 (LM 71 "+ SW/0)	0,75 (LM 71 "+ SW/0)	1,0 (LM 71 "+ SW/0)
	Altri	-	0,75 (LM 71 "+ SW/0)	-

⁽¹⁾ LM71 "+ SW/0 significa considerare il più sfavorevole fra i treni LM 71, SW/0

⁽²⁾ Salvo i casi in cui sia esplicitamente escluso

Si riporta la Tabella 5.2.V delle NTC18 dei coefficienti parziali di sicurezza per le combinazioni di carico SLU:

Tabella 5.2.V – Coefficienti parziali di sicurezza per le combinazioni di carico agli SLU, eccezionali e sismica (da DM 17/01/2018)

		Coefficiente	EQU ⁽¹⁾	A1 STR	A2 GEO	Combinazione eccezionale	Combinazione Sismica
Carichi permanenti	favorevoli	γ_{G1}	0,90	1,00	1,00	1,00	1,00
	sfavorevoli		1,10	1,35	1,00	1,00	1,00
Carichi permanenti non strutturali ⁽²⁾	favorevoli	γ_{G2}	0,00	0,00	0,00	1,00	1,00
	sfavorevoli		1,50	1,50	1,30	1,00	1,00
Ballast ⁽³⁾	favorevoli	γ_B	0,90	1,00	1,00	1,00	1,00
	sfavorevoli		1,50	1,50	1,30	1,00	1,00
Carichi variabili da traffico ⁽⁴⁾	favorevoli	γ_Q	0,00	0,00	0,00	0,00	0,00
	sfavorevoli		1,45	1,45	1,25	0,20 ⁽⁵⁾	0,20 ⁽⁵⁾
Carichi variabili	favorevoli	γ_{Qi}	0,00	0,00	0,00	0,00	0,00
	sfavorevoli		1,50	1,50	1,30	1,00	0,00
Precompressione	favorevole	γ_P	0,90	1,00	1,00	1,00	1,00
	sfavorevole		1,00 ⁽⁶⁾	1,00 ⁽⁷⁾	1,00	1,00	1,00

(1) Equilibrio che non coinvolga i parametri di deformabilità e resistenza del terreno; altrimenti si applicano i valori di GEO.

(2) Nel caso in cui i carichi permanenti non strutturali (ad es. carichi permanenti portati) siano compiutamente definiti si potranno adottare gli stessi coefficienti validi per le azioni permanenti.

(3) Quando si prevedano variazioni significative del carico dovuto al ballast, se ne dovrà tener conto esplicitamente nelle verifiche.

(4) Le componenti delle azioni da traffico sono introdotte in combinazione considerando uno dei gruppi di carico gr della Tab. 5.2.IV.

(5) Aliquota di carico da traffico da considerare.

(6) 1,30 per instabilità in strutture con precompressione esterna

(7) 1,20 per effetti locali

Si riporta la Tabella 5.2.VI delle NTC18 in cui sono espressi i coefficienti di combinazione delle azioni:

Tabella 5.2.VI - Coefficienti di combinazione ψ delle azioni (da DM 17/01/2018)

Tab. 5.2.VI - Coefficienti di combinazione Ψ delle azioni

Azioni		ψ_0	ψ_1	ψ_2
Azioni singole	Carico sul rilevato a tergo delle spalle	0,80	0,50	0,0
da traffico	Azioni aerodinamiche generate dal transito dei convogli	0,80	0,50	0,0
	gr_1	0,80 ⁽¹⁾	0,80 ⁽¹⁾	0,0
Gruppi di	gr_2	0,80 ⁽²⁾	0,80 ⁽¹⁾	-
carico	gr_3	0,80 ⁽²⁾	0,80 ⁽¹⁾	0,0
	gr_4	1,00	1,00 ⁽¹⁾	0,0
Azioni del vento	F_{wk}	0,60	0,50	0,0
Azioni da	in fase di esecuzione	0,80	0,0	0,0
neve	SLU e SLE	0,0	0,0	0,0
Azioni termiche	T_k	0,60	0,60	0,50

⁽¹⁾ 0,80 se è carico solo un binario, 0,60 se sono carichi due binari e 0,40 se sono carichi tre o più binari.

⁽²⁾ Quando come azione di base venga assunta quella del vento, i coefficienti ψ_0 relativi ai gruppi di carico delle azioni da traffico vanno assunti pari a 0,0.

Nella combinazione sismica le azioni indotte dal traffico ferroviario sono combinate con un coefficiente $\psi_2 = 0.2$ (paragrafo 5.1.3.12 del DM 17/01/2018) coerentemente con l'aliquota di massa afferente ai carichi da traffico.

Si riportano di seguito le combinazioni delle azioni maggiormente significative per la determinazione delle sollecitazioni più gravose.

Tabella 5 Combinazioni di carico SLV (01-08)

	SLV01	SLV02	SLV03	SLV04	SLV05	SLV06	SLV07	SLV08
PP	1	1	1	1	1	1	1	1
PERM	1	1	1	1	1	1	1	1
SPTSX	1	1	1	1	1	1	1	1
SPTDX	1	1	1	1	1	1	1	1
SPTW	1	1	1	1	1	1	1	1
ACC_LM71	0.2	0.2	0.2	0.2	0.2	0.2	0.2	0.2
ACC_SW2	0	0	0	0	0	0	0	0
SPACCSX_LM71	0.2	0.2	0.2	0.2	0.2	0.2	0.2	0.2
SPACCDX_LM71	0	0	0	0	0	0	0	0
SPACCSX_SW2	0	0	0	0	0	0	0	0
SPACCDX_SW2	0	0	0	0	0	0	0	0
AVV_LM71	0.2	0.2	0.2	0.2	0.2	0.2	0.2	0.2
FREN_SW2	0	0	0	0	0	0	0	0
SERP	0	0	0	0	0	0	0	0
TERM	-0.5	-0.5	-0.5	-0.5	-0.5	-0.5	-0.5	-0.5
RITIRO	1	1	1	1	1	1	1	1
ACC_SOLINF	0	0	0	0	0	0	0	0
SISMA_H	1	1	-1	-1	0.3	0.3	-0.3	-0.3
SISMA_V	0.3	-0.3	0.3	-0.3	1	-1	1	-1
SPSSX	1	1	0	0	0.3	0.3	0	0
SPSDX	0	0	1	1	0	0	0.3	0.3

9. CRITERI DI VERIFICA

Le verifiche strutturali condotte sono le seguenti:

- Verifiche di stato limite di esercizio:
 - Verifiche di deformabilità
 - Verifiche a fessurazione
 - Verifica delle tensioni
- Verifiche di stato limite di ultimo
 - Verifica a flessione
 - Verifica a taglio

9.1 Verifiche allo stato limite ultimo

9.1.1 Sollecitazioni flettenti

La verifica agli SLU è stata realizzata attraverso il calcolo dei domini di interazione N-M, ovvero il luogo dei punti rappresentativi di sollecitazioni che portano in crisi la sezione di verifica secondo i criteri di resistenza da normativa.

Nel calcolo dei domini sono state mantenute le consuete ipotesi, tra cui:

- conservazione delle sezioni piane;
- legame costitutivo del calcestruzzo parabola-rettangolo non reagente a trazione, con plateau ad una deformazione pari a 0.002 e a rottura pari a 0.0035 ($\sigma_{\max} = 0.85 \times 0.83 \times R_{ck} / 1.5$);
- legame costitutivo dell'armatura d'acciaio elastico–perfettamente plastico con deformazione limite di rottura a 0.01 ($\sigma_{\max} = f_{yk} / 1.15$)

9.1.2 Sollecitazioni taglianti

La resistenza a taglio V_{Rd} di elementi sprovvisti di specifica armatura è stata calcolata sulla base della resistenza a trazione del calcestruzzo.

Con riferimento all'elemento fessurato da momento flettente, la resistenza al taglio si valuta con la seguente espressione:

$$V_{Rd} = \left\{ 0,18 \cdot k \cdot (100 \cdot \rho_1 \cdot f_{ck})^{1/3} / \gamma_c + 0,15 \cdot \sigma_{cp} \right\} \cdot b_w \cdot d \geq (v_{\min} + 0,15 \cdot \sigma_{cp}) \cdot b_w \cdot d$$

$$k = 1 + (200/d)^{1/2} \leq 2$$

$$v_{\min} = 0,035k^{3/2} f_{ck}^{1/2}$$

dove:

d è l'altezza utile della sezione (in mm);

$\rho_1 = A_{sl} / (b_w \cdot x_d)$ è il rapporto geometrico di armatura longitudinale ($\leq 0,02$);

$\sigma_{cp} = N_{Ed} / A_c$ è la tensione media di compressione nella sezione ($\leq 0,2 f_{cd}$);

b_w è la larghezza minima della sezione (in mm).

La resistenza a taglio V_{Rd} di elementi strutturali dotati di specifica armatura a taglio deve essere valutata sulla base di una adeguata schematizzazione a traliccio. Gli elementi resistenti dell'ideale traliccio sono: le armature trasversali, le armature longitudinali, il corrente compresso di calcestruzzo e i puntoni d'anima inclinati. L'inclinazione θ dei puntoni di calcestruzzo rispetto all'asse della trave deve rispettare i limiti seguenti:

$$1 \leq \text{ctg} \theta \leq 2.5$$

La verifica di resistenza (SLU) è soddisfatta se è verificata la seguente relazione:

$$V_{Rd} \geq V_{Ed}$$

dove V_{Ed} è il valore di calcolo dello sforzo di taglio agente.

La resistenza di calcolo a "taglio trazione" dell'armatura trasversale è stata calcolata con la seguente relazione:

$$V_{Rsd} = 0,9 \cdot d \cdot \frac{A_{sw}}{s} \cdot f_{yd} \cdot (\text{ctg} \alpha + \text{ctg} \theta) \cdot \sin \alpha$$

La resistenza di calcolo a “taglio compressione” del calcestruzzo d’anima è stata calcolata con la seguente relazione:

$$V_{Rcd} = 0,9 \cdot d \cdot b_w \cdot \alpha_c \cdot f'_{cd} \cdot (\text{ctg}\alpha + \text{ctg}\theta) / (1 + \text{ctg}^2\theta)$$

La resistenza al taglio della trave è la minore delle due relazioni sopra definite:

$$V_{Rd} = \min (V_{Rsd}, V_{Rcd})$$

In cui:

- d è l'altezza utile della sezione;
- b_w è la larghezza minima della sezione;
- σ_{cp} è la tensione media di compressione della sezione;
- A_{sw} è l'area dell'armatura trasversale;
- S è interasse tra due armature trasversali consecutive;
- α è l'angolo di inclinazione dell'armatura trasversale rispetto all'asse della trave;
- f'_{cd} è la resistenza a compressione ridotta del calcestruzzo d’anima ($f'_{cd}=0.5f_{cd}$);
- α è un coefficiente maggiorativo par ad 1 per membrature non compresse.

9.2 Verifiche allo stato limite di esercizio

Le condizioni ambientali, ai fini della protezione contro la corrosione delle armature, sono suddivise in ordinarie, aggressive e molto aggressive in relazione a quanto indicato dalla Tab. 4.1.III delle NTC2018:

Tabella 8 Descrizione delle condizioni ambientali (Tab. 4.1.III delle NTC18)

Condizioni ambientali	Classe di esposizione
Ordinarie	X0, XC1, XC2, XC3, XF1
Aggressive	XC4, XD1, XS1, XA1, XA2, XF2, XF3
Molto aggressive	XD2, XD3, XS2, XS3, XA3, XF4

Nel caso in esame, le condizioni ambientali sono sempre “*ordinarie*”.

9.2.1 Verifica a fessurazione

In relazione all'aggressività ambientale e alla sensibilità dell'acciaio, l'apertura limite delle fessure è pari a $w_1=0.2\text{mm}$ per la combinazione rara.

9.2.2 Verifica delle tensioni

I limiti tensionali considerati per i materiali sono relativi alla combinazione di carico quasi permanente e caratteristica.

Calcestruzzo:

Combinazione di azioni	Limite tensionale
Caratteristica (rara)	$\sigma_c \leq 0.55 f_{ck}$
Quasi permanente	$\sigma_c \leq 0.40 f_{ck}$

Acciaio:

Combinazione di azioni	Limite tensionale
Caratteristica (rara)	$\sigma_a \leq 0.75 f_{yk}$

10. MODELLAZIONE STRUTTURALE

10.1 Codice di calcolo

L'analisi della struttura scatolare è stata condotta con un programma agli elementi finiti (STRAUS7) facendo riferimento agli assi baricentrici degli elementi schematizzati con elementi "beam".

10.2 Modello di calcolo

Le analisi sono state condotte per una striscia di struttura di lunghezza unitaria, implementando un modello di calcolo bidimensionale in condizioni di deformazione piana. La struttura è definita sulla base degli assi baricentrici degli elementi. La fondazione è schematizzata come una trave su suolo elastico alla Winkler non reagente a trazione, il calcolo della costante di sottofondo è riportata nel paragrafo 10.2.1.

Lo schema statico della struttura e la relativa numerazione dei nodi e delle aste sono riportati nelle seguenti figure.

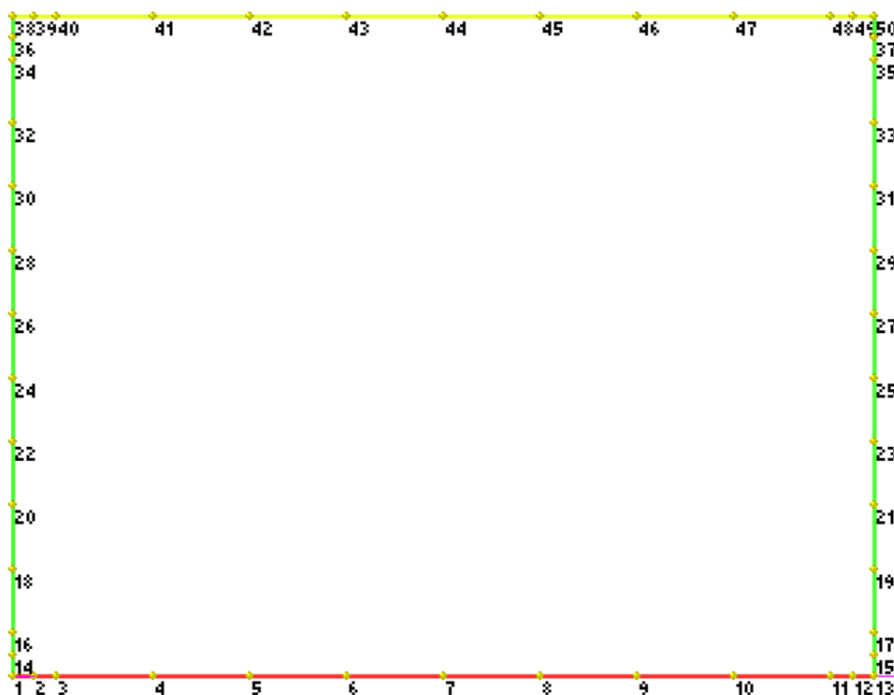


Figura 7 Modello F.E.M struttura - numerazione nodi

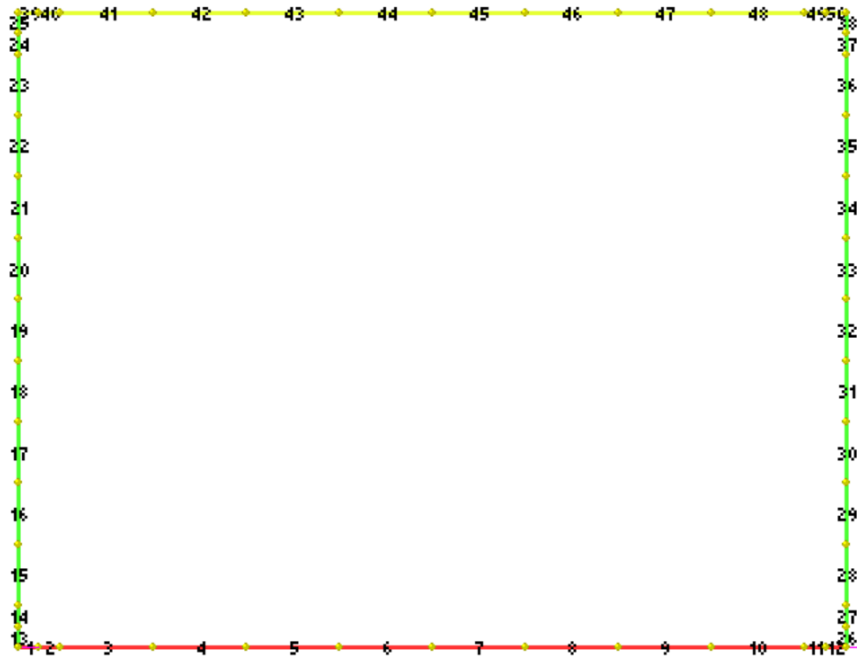


Figura 8 Modello F.E.M. struttura – numerazione aste

10.2.1 Interazione terreno-struttura

Nelle analisi strutturali, per la determinazione del coefficiente di sottofondo alla Winkler si è fatto riferimento alla seguente relazione (Vesic, 1965):

$$K = \frac{0.65E}{1-\nu^2} \sqrt[12]{\frac{Eb^4}{(EJ)_{fond}}}$$

dove:

E = modulo elastico del terreno;

ν = coefficiente di Poisson;

b = dimensione trasversale;

h = altezza;

J = inerzia;

E_c = modulo elastico del calcestruzzo della fondazione.

Relazione di calcolo nuovo sottopasso

COMMESSA	LOTTO	CODIFICA	DOCUMENTO	REV.	FOGLIO
NM25	03 D 26	CL	FV 14 B0 001	A	43 di 103

Nel caso in esame K risulta pari a 25770 kN/mc. Tale rigidezza è stata applicata come beam support lungo l'elemento, in particolare considerando la striscia di calcolo pari ad 1m risulta 25770 kPa/m*1m = 25770 kN/m/m.

11. ANALISI DELLE SOLLECITAZIONI

Nelle seguenti tabelle sono riportati i valori massimi delle caratteristiche delle sollecitazioni ricavati per le sezioni oggetto di verifica, indicate in figura.

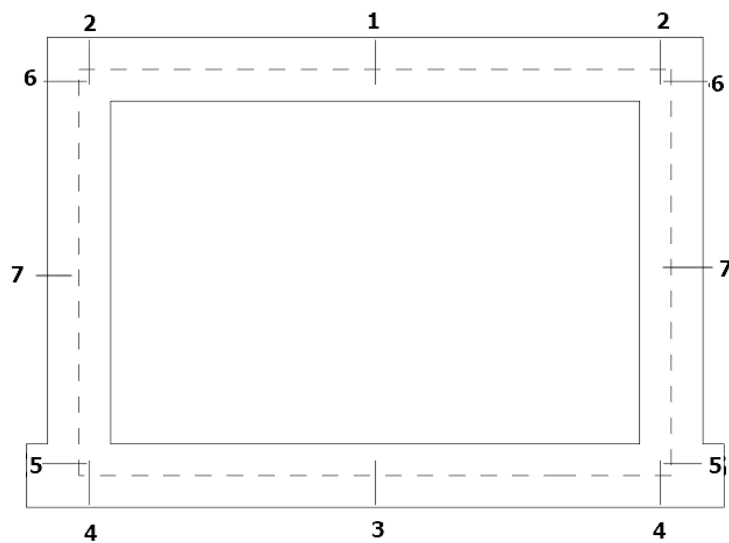


Figura 9 Sezioni di verifica

Di seguito è riportato l'involuppo delle sollecitazioni flettenti e taglianti dello stato limite ultimo. Le unità di misura adottate nei diagrammi seguenti sono kN–m.

Relazione di calcolo nuovo sottopasso

COMMESSA	LOTTO	CODIFICA	DOCUMENTO	REV.	FOGLIO
NM25	03 D 26	CL	FV 14 B0 001	A	45 di 103

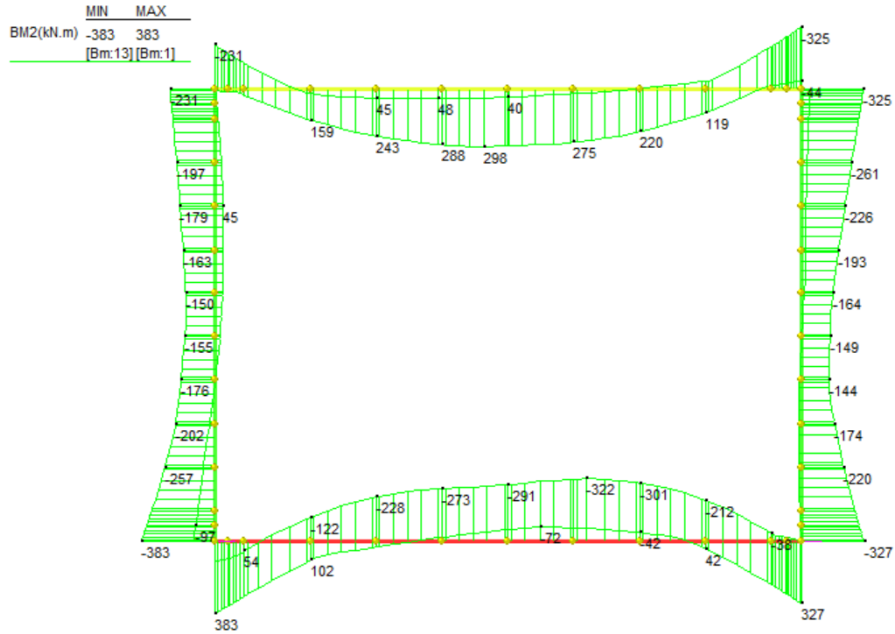


Figura 10 Involuppo SLU/Sisma: Momenti flettenti

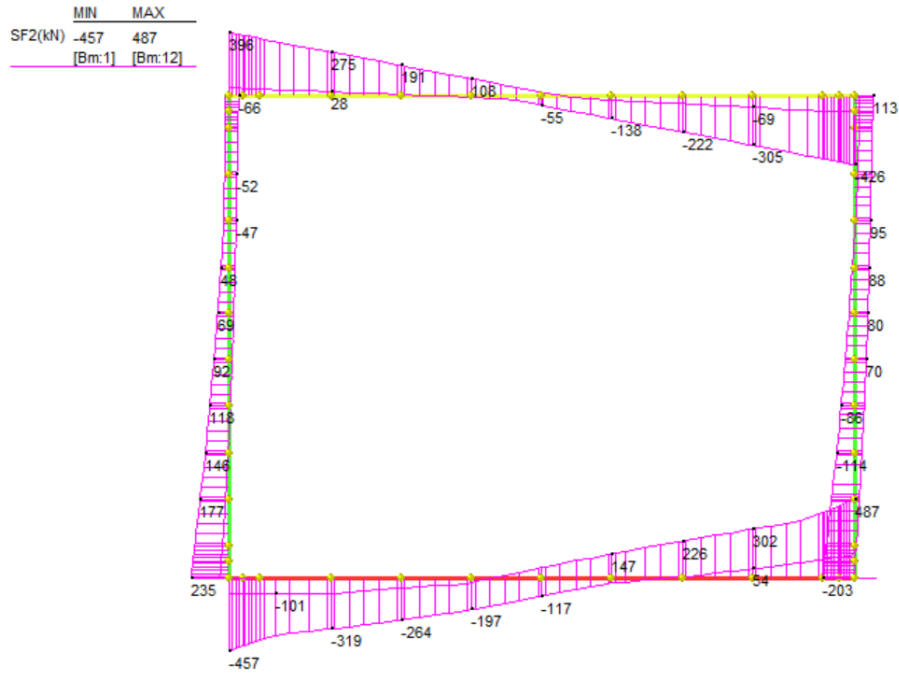


Figura 11 Involuppo SLU/Sisma: sollecitazioni taglianti

	MIN	MAX
Force(kN)	-496	16
	[Bm:26]	[Bm:39]

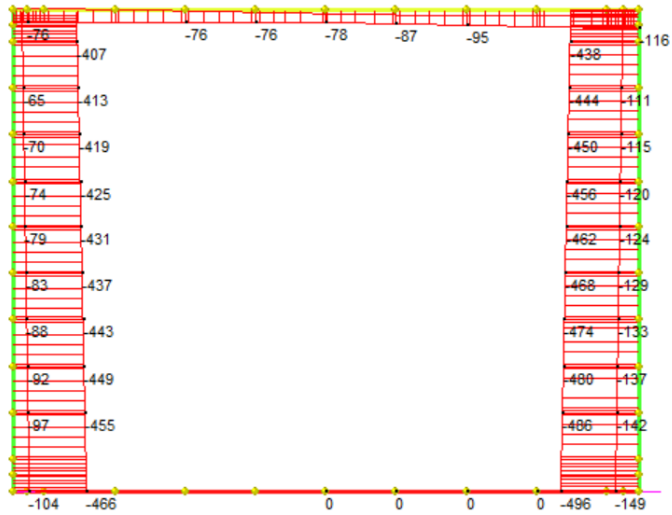


Figura 12 Involuppo SLU/Sisma: sforzo normale

	MIN	MAX
BM2(kN.m)	-241	241
	[Bm:13]	[Bm:1]

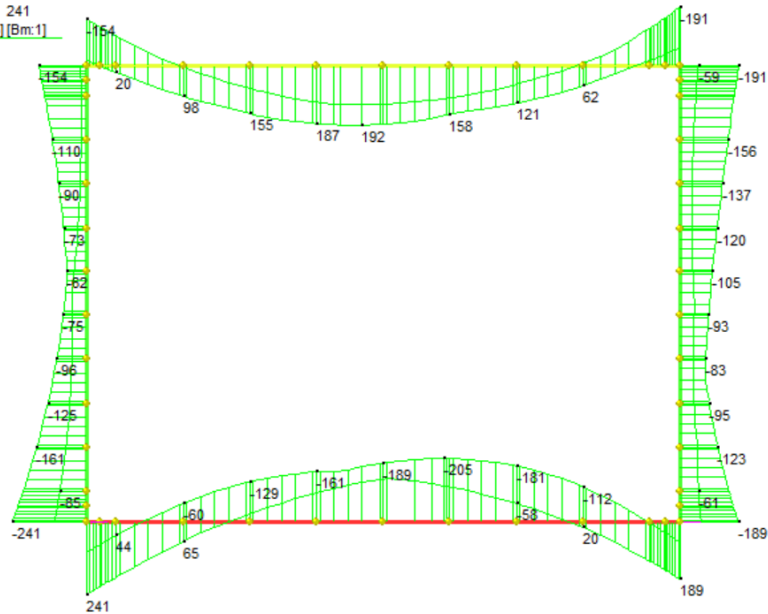


Figura 13 Involuppo SLE Momenti flettenti

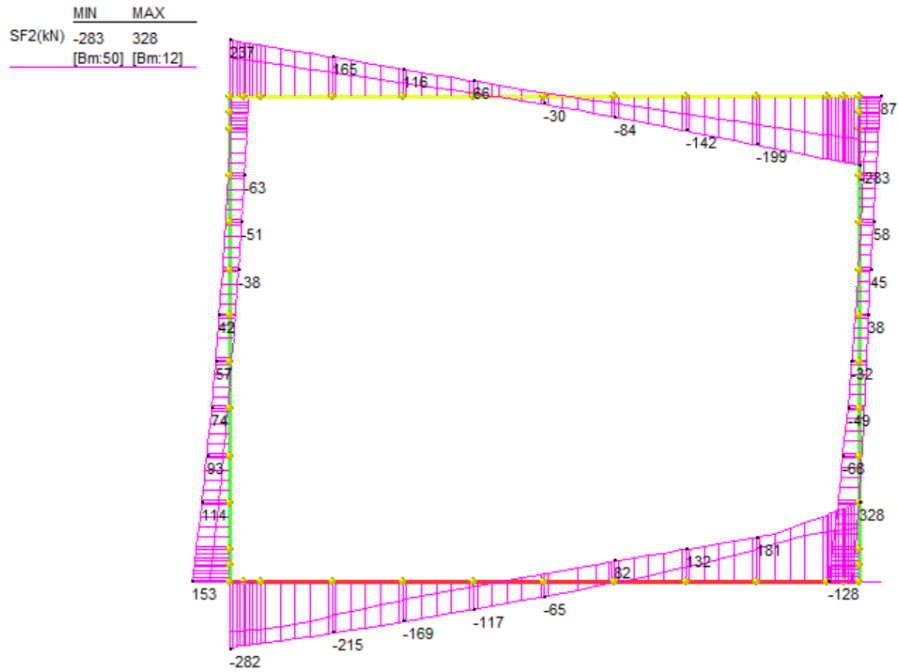


Figura 14 Involuppo SLE: sollecitazioni taglianti

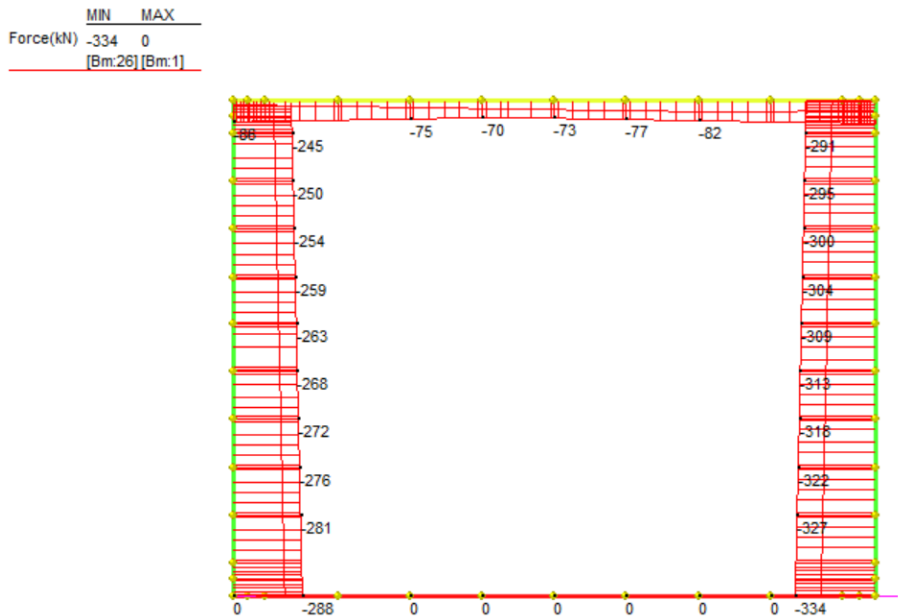


Figura 15 Involuppo SLE: sforzo normale

Di seguito si riportano i valori delle sollecitazioni per tutte le combinazioni di carico relative a tutte le sezioni di verifica.

Relazione di calcolo nuovo sottopasso

COMMESSA	LOTTO	CODIFICA	DOCUMENTO	REV.	FOGLIO
NM25	03 D 26	CL	FV 14 B0 001	A	48 di 103

COP_MEZZ	N	Mx	Vy
	(KN)	(KNm)	(KNm)
SLU/SLV	29	298	138
SLE RARA	41	192	84
SLE FREQUENTE	44	164	72
SLE QUASI PERM.	33	51	17

COP_INC	N	Mx	Vy
	(KN)	(KNm)	(KNm)
SLU/SLV	31	275	408
SLE RARA	41	158	271
SLE FREQUENTE	51	135	232
SLE QUASI PERM.	33	36	74

FOND_MEZZ	N	Mx	Vy
	(KN)	(KNm)	(KNm)
SLU/SLV	0	321	197
SLE RARA	0	205	117
SLE FREQUENTE	0	178	101
SLE QUASI PERM.	0	71	25

FOND_INC	N	Mx	Vy
	(KN)	(KNm)	(KNm)
SLU/SLV	0	338	446
SLE RARA	0	210	302
SLE FREQUENTE	0	181	265
SLE QUASI PERM.	0	59	116

PIEDR_PIEDE	N	Mx	Vy
	(KN)	(KNm)	(KNm)
SLU/SLV	148	354	222
SLE RARA	226	223	145
SLE FREQUENTE	261	193	130

Relazione di calcolo nuovo sottopasso

COMMESSA	LOTTO	CODIFICA	DOCUMENTO	REV.	FOGLIO
NM25	03 D 26	CL	FV 14 B0 001	A	49 di 103

SLE QUASI PERM.	127	65	67
--------------------	-----	----	----

PIEDR_TESTA	N	Mx	Vy
	<i>(KN)</i>	<i>(KNm)</i>	<i>(KNm)</i>
SLU/SLV	106	298	111
SLE RARA	184	184	84
SLE FREQUENTE	220	157	53
SLE QUASI PERM.	86	37	30

PIEDR_MEZZ	N	Mx	Vy
	<i>(KN)</i>	<i>(KNm)</i>	<i>(KNm)</i>
SLU/SLV	129	193	92
SLE RARA	206	120	57
SLE FREQUENTE	242	100	42
SLE QUASI PERM.	108	15	11

12. VERIFICHE DI DEFORMAZIONE E VIBRAZIONE

12.1 Inflessione nel piano verticale dell'impalcato

In base a quanto indicato nel paragrafo 1.7.4.3.4. del MpD 2019 FS, nonché nel D.M. 17.01.18 (paragrafo 5.2.3.2.2), considerando la presenza del treno di carico LM71, incrementato con il corrispondente coefficiente e con il coefficiente α e gli effetti della variazione di temperatura lineare, l'inflessione nel piano orizzontale dell'impalcato non deve produrre all'estremità dell'impalcato una variazione angolare maggiore di $\theta_{amm} = 0.002000$ rad.

Per quanto riguarda le rotazioni attribuibili alla presenza del treno di carico LM71, esse sono valutate sui nodi estremi della soletta superiore e in corrispondenza del piedritto interno, se presente, depurate della rototraslazione rigida della struttura.

Nel caso in esame risulta:

$$\theta_{tot} = 0.000908 \text{ rad} \ll \theta_{amm} = 0.002000 \text{ rad}$$

12.2 Stato limite di comfort dei passeggeri

L'inflessione verticale deve calcolarsi in asse al binario, considerando il modello di carico LM71 con il relativo incremento dinamico e con il coefficiente α .

Freccia limite ammissibile (velocità del treno $120\text{km/h} < V < 250\text{km/h}$):

$$\delta_{lim} = 1/1000 \times L = 4.40 \text{ mm}$$

Freccia massima dell'impalcato prodotta dal treno LM71:

$$\delta_{max} = 2.00 \text{ mm} < \delta_{lim}$$

13. VERIFICHE DI RESISTENZA ULTIMA E DI ESERCIZIO

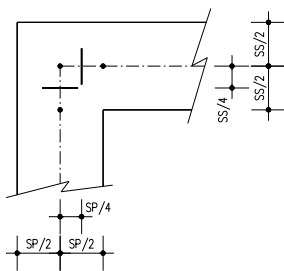
Si riassumono di seguito i risultati delle verifiche allo stato limite ultimo per le sollecitazioni di taglio e flessione, relative all'involuppo delle combinazioni di carico. In particolare si riportano le sollecitazioni massime per tutte le sezioni di verifica e le combinazioni di carico più gravose (minimo coefficiente di sicurezza), sia per la verifica a flessione sia per la verifica a taglio.

Nelle verifiche della soletta di fondazione, cautelativamente, non si è tenuto in conto del contributo dello sforzo normale.

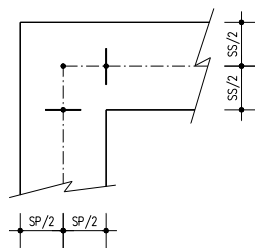
Le verifiche a flessione in corrispondenza dei nodi tra setti adiacenti sono effettuate rispettivamente:

- nella sezione ubicata a metà fra asse piedritto e sezione d'attacco piedritto-soletta nel caso delle verifiche della soletta;
- nella sezione ubicata a metà fra asse soletta e sezione d'attacco del piedritto nel caso delle verifiche del piedritto.

Le verifiche a fessurazione e a taglio sono eseguite nelle sezioni di attacco soletta-piedritto.



VERIFICHE A FLESSIONE



VERIFICHE A FESSURAZIONE E TAGLIO

I calcoli di verifica sono effettuati con il metodo degli Stati Limite, applicando il combinato D.M.17.01.2018 con l'UNI EN 1992 (Eurocodice 2).

Si riporta di seguito l'armatura degli elementi strutturali nelle sezioni di mezzeria e di incastro.

Elemento	Sezione	Dimensioni [cm]		Flessione		Armatura a taglio	
		B	H	Lato terra	Lato interno		
SOLETTA SUP.	INCASTRO	100	x	50	10Ø20	5Ø20	Φ12/20x40
	MEZZERIA				5Ø20	10Ø20	-
PIEDRITTI	TESTA	100	x	50	10Ø20	5Ø20	Φ10/20x40
	MEZZERIA				10Ø20	5Ø20	Φ10/20x40
	PIEDE				10Ø20	5Ø20	Φ10/20x40
SOLETTA INF.	INCASTRO	100	x	50	10Ø22	10Ø20	Φ12/20x40
	MEZZERIA				10Ø20	10Ø22	-

Nelle verifiche riportate di seguito sono stati rispettati i minimi di armatura previsti dalle NTC18 riportate al paragrafo 4.1.6.

Facendo riferimento al paragrafo 7.4.6.2.4 delle NTC18, si è rispettato il limite per le pareti di almeno 9 legature ogni metro quadrato.

L'armatura trasversale di ripartizione si pone pari al 25% dell'armatura longitudinale.

13.1 Soletta superiore – sezione di mezzeria

DATI GENERALI SEZIONE GENERICA IN C.A.

NOME SEZIONE: COP_MEZZ

CARATTERISTICHE DI RESISTENZA DEI MATERIALI IMPIEGATI

CALCESTRUZZO -	Classe:	C30/37	
	Resis. compr. di progetto fcd:	17.000	MPa
	Def.unit. max resistenza ec2:	0.0020	
	Def.unit. ultima ecu:	0.0035	
	Diagramma tensione-deformaz.:	Parabola-Rettangolo	
	Modulo Elastico Normale Ec:	32836.0	MPa
	Resis. media a trazione fctm:	2.900	MPa
	Coeff. Omogen. S.L.E.:	15.00	
	Coeff. Omogen. S.L.E.:	15.00	
	Sc limite S.L.E. comb. Frequenti:	165.00	daN/cm ²
	Ap.Fessure limite S.L.E. comb. Frequenti:	0.200	mm
ACCIAIO -	Tipo:	B450C	
	Resist. caratt. snervam. fyk:	450.00	MPa
	Resist. caratt. rottura ftk:	450.00	MPa
	Resist. snerv. di progetto fyd:	391.30	MPa
	Resist. ultima di progetto ftd:	391.30	MPa
	Deform. ultima di progetto Epu:	0.068	
	Modulo Elastico Ef	2000000	daN/cm ²
	Diagramma tensione-deformaz.:	Bilineare finito	
	Coeff. Aderenza istantaneo $\beta_1 \cdot \beta_2$:	1.00	
	Coeff. Aderenza differito $\beta_1 \cdot \beta_2$:	0.50	
	Sf limite S.L.E. Comb. Rare:	337.50	MPa

CARATTERISTICHE DOMINIO CONGLOMERATO

Forma del Dominio:	Poligonale
Classe Conglomerato:	C30/37

N°vertice:	X [cm]	Y [cm]
1	-50.0	0.0
2	-50.0	50.0
3	50.0	50.0
4	50.0	0.0

DATI BARRE ISOLATE

N°Barra	X [cm]	Y [cm]	DiamØ[mm]
1	-41.8	8.2	20
2	-41.8	41.8	20
3	41.8	41.8	20
4	41.8	8.2	20

DATI GENERAZIONI LINEARI DI BARRE

Relazione di calcolo nuovo sottopasso

COMMESSA	LOTTO	CODIFICA	DOCUMENTO	REV.	FOGLIO
NM25	03 D 26	CL	FV 14 B0 001	A	54 di 103

N°Gen. Numero assegnato alla singola generazione lineare di barre
 N°Barra Ini. Numero della barra iniziale cui si riferisce la generazione
 N°Barra Fin. Numero della barra finale cui si riferisce la generazione
 N°Barre Numero di barre generate equidistanti cui si riferisce la generazione
 Ø Diametro in mm delle barre della generazione

N°Gen.	N°Barra Ini.	N°Barra Fin.	N°Barre	Ø
1	1	4	8	20
2	2	3	3	20

CALCOLO DI RESISTENZA - SFORZI PER OGNI COMBINAZIONE ASSEGNATA

N Sforzo normale [kN] applicato nel Baric. (+ se di compressione)
 Mx Momento flettente [kNm] intorno all'asse x princ. d'inerzia con verso positivo se tale da comprimere il lembo sup. della sez.
 My Momento flettente [kNm] intorno all'asse y princ. d'inerzia con verso positivo se tale da comprimere il lembo destro della sez.
 Vy Componente del Taglio [kN] parallela all'asse princ.d'inerzia y
 Vx Componente del Taglio [kN] parallela all'asse princ.d'inerzia x

N°Comb.	N	Mx	My	Vy	Vx
1	29.00	298.00	0.00	0.00	0.00

COMB. RARE (S.L.E.) - SFORZI PER OGNI COMBINAZIONE ASSEGNATA

N Sforzo normale [kN] applicato nel Baricentro (+ se di compressione)
 Mx Momento flettente [kNm] intorno all'asse x princ. d'inerzia (tra parentesi Mom.Fessurazione) con verso positivo se tale da comprimere il lembo superiore della sezione
 My Momento flettente [kNm] intorno all'asse y princ. d'inerzia (tra parentesi Mom.Fessurazione) con verso positivo se tale da comprimere il lembo destro della sezione

N°Comb.	N	Mx	My
1	41.00	192.00	0.00

COMB. FREQUENTI (S.L.E.) - SFORZI PER OGNI COMBINAZIONE ASSEGNATA

N Sforzo normale [kN] applicato nel Baricentro (+ se di compressione)
 Mx Momento flettente [kNm] intorno all'asse x princ. d'inerzia (tra parentesi Mom.Fessurazione) con verso positivo se tale da comprimere il lembo superiore della sezione
 My Momento flettente [kNm] intorno all'asse y princ. d'inerzia (tra parentesi Mom.Fessurazione) con verso positivo se tale da comprimere il lembo destro della sezione

N°Comb.	N	Mx	My
1	44.00	164.00 (151.09)	0.00 (0.00)

COMB. QUASI PERMANENTI (S.L.E.) - SFORZI PER OGNI COMBINAZIONE ASSEGNATA

N Sforzo normale [kN] applicato nel Baricentro (+ se di compressione)
 Mx Momento flettente [kNm] intorno all'asse x princ. d'inerzia (tra parentesi Mom.Fessurazione) con verso positivo se tale da comprimere il lembo superiore della sezione
 My Momento flettente [kNm] intorno all'asse y princ. d'inerzia (tra parentesi Mom.Fessurazione)

Relazione di calcolo nuovo sottopasso

COMMESSA	LOTTO	CODIFICA	DOCUMENTO	REV.	FOGLIO
NM25	03 D 26	CL	FV 14 B0 001	A	55 di 103

con verso positivo se tale da comprimere il lembo destro della sezione

N°Comb.	N	Mx	My
1	33.00	51.00 (156.07)	0.00 (0.00)

RISULTATI DEL CALCOLO

Sezione verificata per tutte le combinazioni assegnate

Copriferro netto minimo barre longitudinali:	7.2 cm
Interferro netto minimo barre longitudinali:	7.3 cm

VERIFICHE DI RESISTENZA IN PRESSO-TENSO FLESSIONE ALLO STATO LIMITE ULTIMO

Ver	S = combinazione verificata / N = combin. non verificata
N	Sforzo normale assegnato [kN] nel baricentro B sezione cls.(positivo se di compressione)
Mx	Componente del momento assegnato [kNm] riferito all'asse x princ. d'inerzia
My	Componente del momento assegnato [kNm] riferito all'asse y princ. d'inerzia
N Res	Sforzo normale resistente [kN] nel baricentro B sezione cls.(positivo se di compress.)
Mx Res	Momento flettente resistente [kNm] riferito all'asse x princ. d'inerzia
My Res	Momento flettente resistente [kNm] riferito all'asse y princ. d'inerzia
Mis.Sic.	Misura sicurezza = rapporto vettoriale tra (N r,Mx Res,My Res) e (N,Mx,My) Verifica positiva se tale rapporto risulta >=1.000
As Tesa	Area armature trave [cm²] in zona tesa. [Tra parentesi l'area minima ex (4.1.15)NTC]

N°Comb	Ver	N	Mx	My	N Res	Mx Res	My Res	Mis.Sic.	As Tesa
1	S	29.00	298.00	0.00	28.97	472.74	0.00	1.59	31.4(8.4)

METODO AGLI STATI LIMITE ULTIMI - DEFORMAZIONI UNITARIE ALLO STATO ULTIMO

ec max	Deform. unit. massima del conglomerato a compressione
x/d	Rapporto di duttilità [§ 4.1.2.1.2.1 NTC] deve essere < 0.45
Xc max	Ascissa in cm della fibra corrisp. a ec max (sistema rif. X,Y,O sez.)
Yc max	Ordinata in cm della fibra corrisp. a ec max (sistema rif. X,Y,O sez.)
es min	Deform. unit. minima nell'acciaio (negativa se di trazione)
Xs min	Ascissa in cm della barra corrisp. a es min (sistema rif. X,Y,O sez.)
Ys min	Ordinata in cm della barra corrisp. a es min (sistema rif. X,Y,O sez.)
es max	Deform. unit. massima nell'acciaio (positiva se di compress.)
Xs max	Ascissa in cm della barra corrisp. a es max (sistema rif. X,Y,O sez.)
Ys max	Ordinata in cm della barra corrisp. a es max (sistema rif. X,Y,O sez.)

N°Comb	ec max	x/d	Xc max	Yc max	es min	Xs min	Ys min	es max	Xs max	Ys max
1	0.00350	0.208	50.0	50.0	0.00020	41.8	41.8	-0.01333	-41.8	8.2

POSIZIONE ASSE NEUTRO PER OGNI COMB. DI RESISTENZA

a, b, c	Coeff. a, b, c nell'eq. dell'asse neutro $aX+bY+c=0$ nel rif. X,Y,O gen.
x/d	Rapp. di duttilità (travi e solette)[§ 4.1.2.1.2.1 NTC]: deve essere < 0.45
C.Rid.	Coeff. di riduz. momenti per sola flessione in travi continue

N°Comb	a	b	c	x/d	C.Rid.
1	0.000000000	0.000402591	-0.016629569	0.208	0.700

Relazione di calcolo nuovo sottopasso

COMMESSA	LOTTO	CODIFICA	DOCUMENTO	REV.	FOGLIO
NM25	03 D 26	CL	FV 14 B0 001	A	56 di 103

COMBINAZIONI RARE IN ESERCIZIO - MASSIME TENSIONI NORMALI ED APERTURA FESSURE (NTC/EC2)

Ver S = comb. verificata/ N = comb. non verificata
 Sc max Massima tensione (positiva se di compressione) nel conglomerato [Mpa]
 Xc max, Yc max Ascissa, Ordinata [cm] del punto corrisp. a Sc max (sistema rif. X,Y,O)
 Sf min Minima tensione (negativa se di trazione) nell'acciaio [Mpa]
 Xs min, Ys min Ascissa, Ordinata [cm] della barra corrisp. a Sf min (sistema rif. X,Y,O)
 Ac eff. Area di calcestruzzo [cm²] in zona tesa considerata aderente alle barre
 As eff. Area barre [cm²] in zona tesa considerate efficaci per l'apertura delle fessure

N°Comb	Ver	Sc max	Xc max	Yc max	Sf min	Xs min	Ys min	Ac eff.	As eff.
1	S	6.25	-50.0	50.0	-161.4	-23.2	8.2	1150	31.4

COMBINAZIONI RARE IN ESERCIZIO - APERTURA FESSURE [§ 7.3.4 EC2]

La sezione viene assunta sempre fessurata anche nel caso in cui la trazione minima del calcestruzzo sia inferiore a f_{ctm}

Ver. Esito della verifica
 e1 Massima deformazione unitaria di trazione nel calcestruzzo (trazione -) valutata in sezione fessurata
 e2 Minima deformazione unitaria di trazione nel calcestruzzo (trazione -) valutata in sezione fessurata
 k1 = 0.8 per barre ad aderenza migliorata [eq.(7.11)EC2]
 kt = 0.4 per comb. quasi permanenti / = 0.6 per comb. frequenti [cfr. eq.(7.9)EC2]
 k2 = 0.5 per flessione; $=(e1 + e2)/(2*e1)$ per trazione eccentrica [eq.(7.13)EC2]
 k3 = 3.400 Coeff. in eq.(7.11) come da annessi nazionali
 k4 = 0.425 Coeff. in eq.(7.11) come da annessi nazionali
 Ø Diametro [mm] equivalente delle barre tese comprese nell'area efficace Ac eff [eq.(7.11)EC2]
 Cf Copriferro [mm] netto calcolato con riferimento alla barra più tesa
 e sm - e cm Differenza tra le deformazioni medie di acciaio e calcestruzzo [(7.8)EC2 e (C4.1.7)NTC]
 Tra parentesi: valore minimo = $0.6 S_{max} / E_s$ [(7.9)EC2 e (C4.1.8)NTC]
 sr max Massima distanza tra le fessure [mm]
 wk Apertura fessure in mm calcolata = $sr \max*(e_{sm} - e_{cm})$ [(7.8)EC2 e (C4.1.7)NTC]. Valore limite tra parentesi
 Mx fess. Componente momento di prima fessurazione intorno all'asse X [kNm]
 My fess. Componente momento di prima fessurazione intorno all'asse Y [kNm]

Comb.	Ver	e1	e2	k2	Ø	Cf	e sm - e cm	sr max	wk	Mx fess	My fess
1	S	-0.00106	0	0.500	20.0	72	0.00048 (0.00048)	369	0.179 (0.20)	150.40	0.00

COMBINAZIONI FREQUENTI IN ESERCIZIO - MASSIME TENSIONI NORMALI ED APERTURA FESSURE (NTC/EC2)

N°Comb	Ver	Sc max	Xc max	Yc max	Sf min	Xs min	Ys min	Ac eff.	As eff.
1	S	5.34	-50.0	50.0	-136.4	-23.2	8.2	1150	31.4

COMBINAZIONI FREQUENTI IN ESERCIZIO - APERTURA FESSURE [§ 7.3.4 EC2]

Comb.	Ver	e1	e2	k2	Ø	Cf	e sm - e cm	sr max	wk	Mx fess	My fess
1	S	-0.00089	0	0.500	20.0	72	0.00041 (0.00041)	369	0.151 (0.20)	151.09	0.00

COMBINAZIONI QUASI PERMANENTI IN ESERCIZIO - MASSIME TENSIONI NORMALI ED APERTURA FESSURE (NTC/EC2)

N°Comb	Ver	Sc max	Xc max	Yc max	Sf min	Xs min	Ys min	Ac eff.	As eff.
1	S	1.68	-50.0	50.0	-39.5	-23.2	8.2	1100	31.4

COMBINAZIONI QUASI PERMANENTI IN ESERCIZIO - APERTURA FESSURE [§ 7.3.4 EC2]

Comb.	Ver	e1	e2	k2	Ø	Cf	e sm - e cm	sr max	wk	Mx fess	My fess
-------	-----	----	----	----	---	----	-------------	--------	----	---------	---------

Relazione di calcolo nuovo sottopasso

COMMESSA	LOTTO	CODIFICA	DOCUMENTO	REV.	FOGLIO
NM25	03 D 26	CL	FV 14 B0 001	A	57 di 103

1 S -0.00026 0 0.500 20.0 72 0.00012 (0.00012) 364 0.043 (0.20) 156.07 0.00

METODO AGLI STATI LIMITE ULTIMI - VERIFICHE A TAGLIO

SEZIONE					
b _w	=	100	cm		
h	=	50	cm		
c	=	8.2	cm		
d	=	h-c	=	41.8	cm
MATERIALI					
f _{ywd}	=	391.30	MPa		
R _{ck}	=	37	MPa		
γ _c	=	1.5			
f _{ck}	=	0.83xR _{ck}	=	30.71	MPa
f _{cd}	=	0.85xf _{ck} /γ _c	=	17.40	MPa
ARMATURE LONGITUDINALI					
ø _l	=	20			
Numero	=	10			
A _{sl}	=	31.416	cm ²		
TAGLIO AGENTE		V _{Ed} =	138	(KN)	
SFORZO NORMALE		N _{Ed} =	0	(KN)	
		α _c =	1.0000		

ELEMENTI SENZA ARMATURA A TAGLIO					
k	=	1.69	$1 + (200/d)^{1/2} \leq 2$		
v _{min}	=	0.427	$0.035 \cdot k^{3/2} \cdot f_{ck}^{1/2}$		
ρ _l	=	0.0075			
α _{cp=Ned/Ac}	=	0.0000	(Mpa)		
V _{Rd1}	=	241.60	(KN)		
V _{Rd2}	=	178.39	(KN)		
		V _{Rd} =	241.60	(KN)	

Relazione di calcolo nuovo sottopasso

COMMESSA	LOTTO	CODIFICA	DOCUMENTO	REV.	FOGLIO
NM25	03 D 26	CL	FV 14 B0 001	A	58 di 103

13.2 Soletta superiore – sezione di incastro

DATI GENERALI SEZIONE GENERICA IN C.A.

NOME SEZIONE: COP_INC

CALCESTRUZZO -	Classe:	C30/37	
	Resis. compr. di progetto fcd:	17.000	MPa
	Def.unit. max resistenza ec2:	0.0020	
	Def.unit. ultima ecu:	0.0035	
	Diagramma tensione-deformaz.:	Parabola-Rettangolo	
	Modulo Elastico Normale Ec:	32836.0	MPa
	Resis. media a trazione fctm:	2.900	MPa
	Coeff. Omogen. S.L.E.:	15.00	
	Coeff. Omogen. S.L.E.:	15.00	
	Sc limite S.L.E. comb. Frequenti:	165.00	daN/cm ²
	Ap.Fessure limite S.L.E. comb. Frequenti:	0.200	mm
	Sc limite S.L.E. comb. Q.Permanenti:	0.00	Mpa
	Ap.Fess.limite S.L.E. comb. Q.Perm.:	0.200	mm

ACCIAIO -	Tipo:	B450C	
	Resist. caratt. snervam. fyk:	450.00	MPa
	Resist. caratt. rottura ftk:	450.00	MPa
	Resist. snerv. di progetto fyd:	391.30	MPa
	Resist. ultima di progetto ftd:	391.30	MPa
	Deform. ultima di progetto Epu:	0.068	
	Modulo Elastico Ef	2000000	daN/cm ²
	Diagramma tensione-deformaz.:	Bilineare finito	
	Coeff. Aderenza istantaneo $\beta_1 \cdot \beta_2$:	1.00	
	Coeff. Aderenza differito $\beta_1 \cdot \beta_2$:	0.50	
	Sf limite S.L.E. Comb. Rare:	337.50	MPa

CARATTERISTICHE DOMINIO CONGLOMERATO

Forma del Dominio: Poligonale
Classe Conglomerato: C30/37

N°vertice:	X [cm]	Y [cm]
1	-50.0	0.0
2	-50.0	50.0
3	50.0	50.0
4	50.0	0.0

DATI BARRE ISOLATE

N°Barra	X [cm]	Y [cm]	DiamØ[mm]
1	-41.8	8.2	20
2	-41.8	41.8	20
3	41.8	41.8	20
4	41.8	8.2	20

DATI GENERAZIONI LINEARI DI BARRE

N°Gen. Numero assegnato alla singola generazione lineare di barre
N°Barra Ini. Numero della barra iniziale cui si riferisce la generazione

Relazione di calcolo nuovo sottopasso

COMMESSA	LOTTO	CODIFICA	DOCUMENTO	REV.	FOGLIO
NM25	03 D 26	CL	FV 14 B0 001	A	59 di 103

N°Barra Fin. Numero della barra finale cui si riferisce la generazione
 N°Barre Numero di barre generate equidistanti cui si riferisce la generazione
 Ø Diametro in mm delle barre della generazione

N°Gen.	N°Barra Ini.	N°Barra Fin.	N°Barre	Ø
1	1	4	8	20
2	2	3	3	20

CALCOLO DI RESISTENZA - SFORZI PER OGNI COMBINAZIONE ASSEGNATA

N Sforzo normale [kN] applicato nel Baric. (+ se di compressione)
 Mx Momento flettente [kNm] intorno all'asse x princ. d'inerzia con verso positivo se tale da comprimere il lembo sup. della sez.
 My Momento flettente [kNm] intorno all'asse y princ. d'inerzia con verso positivo se tale da comprimere il lembo destro della sez.
 Vy Componente del Taglio [kN] parallela all'asse princ.d'inerzia y
 Vx Componente del Taglio [kN] parallela all'asse princ.d'inerzia x

N°Comb.	N	Mx	My	Vy	Vx
1	31.00	275.00	0.00	0.00	0.00

COMB. RARE (S.L.E.) - SFORZI PER OGNI COMBINAZIONE ASSEGNATA

N Sforzo normale [kN] applicato nel Baricentro (+ se di compressione)
 Mx Momento flettente [kNm] intorno all'asse x princ. d'inerzia (tra parentesi Mom.Fessurazione) con verso positivo se tale da comprimere il lembo superiore della sezione
 My Momento flettente [kNm] intorno all'asse y princ. d'inerzia (tra parentesi Mom.Fessurazione) con verso positivo se tale da comprimere il lembo destro della sezione

N°Comb.	N	Mx	My
1	41.00	158.00	0.00

COMB. FREQUENTI (S.L.E.) - SFORZI PER OGNI COMBINAZIONE ASSEGNATA

N Sforzo normale [kN] applicato nel Baricentro (+ se di compressione)
 Mx Momento flettente [kNm] intorno all'asse x princ. d'inerzia (tra parentesi Mom.Fessurazione) con verso positivo se tale da comprimere il lembo superiore della sezione
 My Momento flettente [kNm] intorno all'asse y princ. d'inerzia (tra parentesi Mom.Fessurazione) con verso positivo se tale da comprimere il lembo destro della sezione

N°Comb.	N	Mx	My
1	51.00	135.00 (152.50)	0.00 (0.00)

COMB. QUASI PERMANENTI (S.L.E.) - SFORZI PER OGNI COMBINAZIONE ASSEGNATA

N Sforzo normale [kN] applicato nel Baricentro (+ se di compressione)
 Mx Momento flettente [kNm] intorno all'asse x princ. d'inerzia (tra parentesi Mom.Fessurazione) con verso positivo se tale da comprimere il lembo superiore della sezione
 My Momento flettente [kNm] intorno all'asse y princ. d'inerzia (tra parentesi Mom.Fessurazione) con verso positivo se tale da comprimere il lembo destro della sezione

Relazione di calcolo nuovo sottopasso

COMMESSA	LOTTO	CODIFICA	DOCUMENTO	REV.	FOGLIO
NM25	03 D 26	CL	FV 14 B0 001	A	60 di 103

N°Comb.	N	Mx	My
1	33.00	36.00 (159.82)	0.00 (0.00)

RISULTATI DEL CALCOLO

Sezione verificata per tutte le combinazioni assegnate

Copriferro netto minimo barre longitudinali:	7.2 cm
Interferro netto minimo barre longitudinali:	7.3 cm

VERIFICHE DI RESISTENZA IN PRESSO-TENSO FLESSIONE ALLO STATO LIMITE ULTIMO

Ver	S = combinazione verificata / N = combin. non verificata
N	Sforzo normale assegnato [kN] nel baricentro B sezione cls.(positivo se di compressione)
Mx	Componente del momento assegnato [kNm] riferito all'asse x princ. d'inerzia
My	Componente del momento assegnato [kNm] riferito all'asse y princ. d'inerzia
N Res	Sforzo normale resistente [kN] nel baricentro B sezione cls.(positivo se di compress.)
Mx Res	Momento flettente resistente [kNm] riferito all'asse x princ. d'inerzia
My Res	Momento flettente resistente [kNm] riferito all'asse y princ. d'inerzia
Mis.Sic.	Misura sicurezza = rapporto vettoriale tra (N r,Mx Res,My Res) e (N,Mx,My) Verifica positiva se tale rapporto risulta >=1.000
As Tesa	Area armature trave [cm²] in zona tesa. [Tra parentesi l'area minima ex (4.1.15)NTC]

N°Comb	Ver	N	Mx	My	N Res	Mx Res	My Res	Mis.Sic.	As Tesa
1	S	31.00	275.00	0.00	31.07	473.10	0.00	1.72	31.4(8.4)

METODO AGLI STATI LIMITE ULTIMI - DEFORMAZIONI UNITARIE ALLO STATO ULTIMO

ec max	Deform. unit. massima del conglomerato a compressione
x/d	Rapporto di duttilità [§ 4.1.2.1.2.1 NTC] deve essere < 0.45
Xc max	Ascissa in cm della fibra corrisp. a ec max (sistema rif. X,Y,O sez.)
Yc max	Ordinata in cm della fibra corrisp. a ec max (sistema rif. X,Y,O sez.)
es min	Deform. unit. minima nell'acciaio (negativa se di trazione)
Xs min	Ascissa in cm della barra corrisp. a es min (sistema rif. X,Y,O sez.)
Ys min	Ordinata in cm della barra corrisp. a es min (sistema rif. X,Y,O sez.)
es max	Deform. unit. massima nell'acciaio (positiva se di compress.)
Xs max	Ascissa in cm della barra corrisp. a es max (sistema rif. X,Y,O sez.)
Ys max	Ordinata in cm della barra corrisp. a es max (sistema rif. X,Y,O sez.)

N°Comb	ec max	x/d	Xc max	Yc max	es min	Xs min	Ys min	es max	Xs max	Ys max
1	0.00350	0.208	50.0	50.0	0.00020	41.8	41.8	-0.01331	-41.8	8.2

POSIZIONE ASSE NEUTRO PER OGNI COMB. DI RESISTENZA

a, b, c	Coeff. a, b, c nell'eq. dell'asse neutro aX+bY+c=0 nel rif. X,Y,O gen.
x/d	Rapp. di duttilità (travi e solette)[§ 4.1.2.1.2.1 NTC]: deve essere < 0.45
C.Rid.	Coeff. di riduz. momenti per sola flessione in travi continue

N°Comb	a	b	c	x/d	C.Rid.
1	0.000000000	0.000402194	-0.016609689	0.208	0.700

COMBINAZIONI RARE IN ESERCIZIO - MASSIME TENSIONI NORMALI ED APERTURA FESSURE (NTC/EC2)

Ver	S = comb. verificata/ N = comb. non verificata
-----	--

Relazione di calcolo nuovo sottopasso

COMMESSA	LOTTO	CODIFICA	DOCUMENTO	REV.	FOGLIO
NM25	03 D 26	CL	FV 14 B0 001	A	61 di 103

Sc max Massima tensione (positiva se di compressione) nel conglomerato [Mpa]
 Xc max, Yc max Ascissa, Ordinata [cm] del punto corrisp. a Sc max (sistema rif. X,Y,O)
 Sf min Minima tensione (negativa se di trazione) nell'acciaio [Mpa]
 Xs min, Ys min Ascissa, Ordinata [cm] della barra corrisp. a Sf min (sistema rif. X,Y,O)
 Ac eff. Area di calcestruzzo [cm²] in zona tesa considerata aderente alle barre
 As eff. Area barre [cm²] in zona tesa considerate efficaci per l'apertura delle fessure

N°Comb	Ver	Sc max	Xc max	Yc max	Sf min	Xs min	Ys min	Ac eff.	As eff.
1	S	5.15	-50.0	50.0	-131.7	-32.5	8.2	1150	31.4

COMBINAZIONI RARE IN ESERCIZIO - APERTURA FESSURE [§ 7.3.4 EC2]

Ver. La sezione viene assunta sempre fessurata anche nel caso in cui la trazione minima del calcestruzzo sia inferiore a f_{ctm}
 e1 Esito della verifica
 e2 Massima deformazione unitaria di trazione nel calcestruzzo (trazione -) valutata in sezione fessurata
 k1 Minima deformazione unitaria di trazione nel calcestruzzo (trazione -) valutata in sezione fessurata
 kt = 0.8 per barre ad aderenza migliorata [eq.(7.11)EC2]
 k2 = 0.4 per comb. quasi permanenti / = 0.6 per comb. frequenti [cfr. eq.(7.9)EC2]
 k3 = 0.5 per flessione; $=(e1 + e2)/(2*e1)$ per trazione eccentrica [eq.(7.13)EC2]
 k4 = 3.400 Coeff. in eq.(7.11) come da annessi nazionali
 Ø = 0.425 Coeff. in eq.(7.11) come da annessi nazionali
 Cf Diametro [mm] equivalente delle barre tese comprese nell'area efficace Ac eff [eq.(7.11)EC2]
 e sm - e cm Coprifero [mm] netto calcolato con riferimento alla barra più tesa
 sr max Differenza tra le deformazioni medie di acciaio e calcestruzzo [(7.8)EC2 e (C4.1.7)NTC]
 wk Tra parentesi: valore minimo = $0.6 S_{max} / E_s$ [(7.9)EC2 e (C4.1.8)NTC]
 Mx fess. Massima distanza tra le fessure [mm]
 My fess. Apertura fessure in mm calcolata = $sr \max * (e_{sm} - e_{cm})$ [(7.8)EC2 e (C4.1.7)NTC]. Valore limite tra parentesi
 Componente momento di prima fessurazione intorno all'asse X [kNm]
 Componente momento di prima fessurazione intorno all'asse Y [kNm]

Comb.	Ver	e1	e2	k2	Ø	Cf	e sm - e cm	sr max	wk	Mx fess	My fess
1	S	-0.00086	0	0.500	20.0	72	0.00040 (0.00040)	369	0.146 (0.20)	150.98	0.00

COMBINAZIONI FREQUENTI IN ESERCIZIO - MASSIME TENSIONI NORMALI ED APERTURA FESSURE (NTC/EC2)

N°Comb	Ver	Sc max	Xc max	Yc max	Sf min	Xs min	Ys min	Ac eff.	As eff.
1	S	4.42	-50.0	50.0	-110.0	-41.8	8.2	1150	31.4

COMBINAZIONI FREQUENTI IN ESERCIZIO - APERTURA FESSURE [§ 7.3.4 EC2]

Comb.	Ver	e1	e2	k2	Ø	Cf	e sm - e cm	sr max	wk	Mx fess	My fess
1	S	-0.00072	0	0.500	20.0	72	0.00033 (0.00033)	369	0.122 (0.20)	152.50	0.00

COMBINAZIONI QUASI PERMANENTI IN ESERCIZIO - MASSIME TENSIONI NORMALI ED APERTURA FESSURE (NTC/EC2)

N°Comb	Ver	Sc max	Xc max	Yc max	Sf min	Xs min	Ys min	Ac eff.	As eff.
1	S	1.20	-50.0	50.0	-26.4	-23.2	8.2	1100	31.4

COMBINAZIONI QUASI PERMANENTI IN ESERCIZIO - APERTURA FESSURE [§ 7.3.4 EC2]

Comb.	Ver	e1	e2	k2	Ø	Cf	e sm - e cm	sr max	wk	Mx fess	My fess
1	S	-0.00018	0	0.500	20.0	72	0.00008 (0.00008)	364	0.029 (0.20)	159.82	0.00

Relazione di calcolo nuovo sottopasso

COMMESSA	LOTTO	CODIFICA	DOCUMENTO	REV.	FOGLIO
NM25	03 D 26	CL	FV 14 B0 001	A	62 di 103

METODO AGLI STATI LIMITE ULTIMI - VERIFICHE A TAGLIO

SEZIONE					
b_w	=	100	cm		
h	=	50	cm		
c	=	8.2	cm		
d	=	$h-c$	=	41.8	cm
MATERIALI					
f_{ywd}	=	391.30	MPa		
R_{ck}	=	37	MPa		
γ_c	=	1.5			
f_{ck}	=	$0.83 \times R_{ck}$	=	30.71	MPa
f_{cd}	=	$0.85 \times f_{ck} / \gamma_c$	=	17.40	MPa
ARMATURE A TAGLIO					
\varnothing_{st}	=	12			
braccia	=	5			
\varnothing_{st2}	=	0			
braccia	=	0			
passo	=	40	cm		
(A_{sw} / s)	=	14.137	cm^2 / m		
α	=	90	°	(90° staffe verticali)	
TAGLIO AGENTE		$V_{Ed} =$	408	(KN)	
SFORZO NORMALE		$N_{Ed} =$	0	(KN)	
		$\alpha_c =$	1.0000		

Relazione di calcolo nuovo sottopasso

COMMESSA	LOTTO	CODIFICA	DOCUMENTO	REV.	FOGLIO
NM25	03 D 26	CL	FV 14 B0 001	A	63 di 103

ELEMENTI CON ARMATURA A TAGLIO

Calcolo di $\cot \theta$

$$\cot(\theta) = 3.84$$

$$\theta = 14.60^\circ$$

IPOTESI 1 $1 \leq \cot \theta \leq 2.5$ Rottura bilanciata $V_{Rsd} = V_{Rcd}$

$$V_{Rsd} = 798.70 \text{ (KN)} \quad 0,9 \cdot d \cdot \frac{A_{sw}}{s} \cdot f_{yd} \cdot (\ctg \alpha + \ctg \theta) \cdot \sin \alpha$$

$$V_{Rcd} = 798.70 \text{ (KN)} \quad 0,9 \cdot d \cdot b_w \cdot \alpha_c \cdot f'_{cd} \cdot (\ctg \alpha + \ctg \theta) / (1 + \ctg^2 \theta)$$

$$V_{Rd} = 799 \text{ (KN)} \quad \min(V_{Rsd}, V_{Rcd})$$

IPOTESI 2 $\cot \vartheta > 2,5$ Si assume $\vartheta = 21,8^\circ$

Armatura trasversale

$$V_{Rsd} = 520.28 \text{ (KN)} \quad 0,9 \cdot d \cdot \frac{A_{sw}}{s} \cdot f_{yd} \cdot (\ctg \alpha + \ctg \theta) \cdot \sin \alpha$$

$$V_{Rcd} = 1128.75 \text{ (KN)} \quad 0,9 \cdot d \cdot b_w \cdot \alpha_c \cdot f'_{cd} \cdot (\ctg \alpha + \ctg \theta) / (1 + \ctg^2 \theta)$$

$$V_{Rd} = 520 \text{ (KN)} \quad \min(V_{Rsd}, V_{Rcd})$$

IPOTESI 3 $\cot \vartheta = 1$ $\vartheta = 45^\circ$

Armatura trasversale

$$V_{Rsd} = 208.11 \text{ (KN)} \quad 0,9 \cdot d \cdot \frac{A_{sw}}{s} \cdot f_{yd} \cdot (\ctg \alpha + \ctg \theta) \cdot \sin \alpha$$

$$V_{Rcd} = 1636.69 \text{ (KN)} \quad 0,9 \cdot d \cdot b_w \cdot \alpha_c \cdot f'_{cd} \cdot (\ctg \alpha + \ctg \theta) / (1 + \ctg^2 \theta)$$

$$V_{Rd} = 208.11 \text{ (KN)} \quad \min(V_{Rsd}, V_{Rcd})$$

Relazione di calcolo nuovo sottopasso

COMMESSA	LOTTO	CODIFICA	DOCUMENTO	REV.	FOGLIO
NM25	03 D 26	CL	FV 14 B0 001	A	64 di 103

13.3 Soletta inferiore – sezione di mezzeria

DATI GENERALI SEZIONE GENERICA IN C.A.

NOME SEZIONE: FOND_MEZZ

CARATTERISTICHE DI RESISTENZA DEI MATERIALI IMPIEGATI

CALCESTRUZZO -	Classe:	C25/30	
	Resis. compr. di progetto fcd:	14.160	MPa
	Def.unit. max resistenza ec2:	0.0020	
	Def.unit. ultima ecu:	0.0035	
	Diagramma tensione-deformaz.:	Parabola-Rettangolo	
	Modulo Elastico Normale Ec:	31475.0	MPa
	Resis. media a trazione fctm:	2.560	MPa
	Coeff. Omogen. S.L.E.:	15.00	
	Coeff. Omogen. S.L.E.:	15.00	
	Sc limite S.L.E. comb. Frequenti:	137.50	daN/cm ²
	Ap.Fessure limite S.L.E. comb. Frequenti:	0.200	mm
	Sc limite S.L.E. comb. Q.Permanenti:	0.00	Mpa
	Ap.Fess.limite S.L.E. comb. Q.Perm.:	0.200	mm
ACCIAIO -	Tipo:	B450C	
	Resist. caratt. snervam. fyk:	450.00	MPa
	Resist. caratt. rottura ftk:	450.00	MPa
	Resist. snerv. di progetto fyd:	391.30	MPa
	Resist. ultima di progetto ftd:	391.30	MPa
	Deform. ultima di progetto Epu:	0.068	
	Modulo Elastico Ef	2000000	daN/cm ²
	Diagramma tensione-deformaz.:	Bilineare finito	
	Coeff. Aderenza istantaneo $\beta_1 \cdot \beta_2$:	1.00	
	Coeff. Aderenza differito $\beta_1 \cdot \beta_2$:	0.50	
Sf limite S.L.E. Comb. Rare:	337.50	MPa	

CARATTERISTICHE DOMINIO CONGLOMERATO

Forma del Dominio: Poligonale
Classe Conglomerato: C25/30

N°vertice:	X [cm]	Y [cm]
1	-50.0	0.0
2	-50.0	50.0
3	50.0	50.0
4	50.0	0.0

DATI BARRE ISOLATE

N°Barra	X [cm]	Y [cm]	DiamØ[mm]
1	-41.7	8.3	22
2	-41.7	41.7	20
3	41.7	41.7	20
4	41.7	8.3	22

DATI GENERAZIONI LINEARI DI BARRE

Relazione di calcolo nuovo sottopasso

COMMESSA	LOTTO	CODIFICA	DOCUMENTO	REV.	FOGLIO
NM25	03 D 26	CL	FV 14 B0 001	A	65 di 103

N°Gen. Numero assegnato alla singola generazione lineare di barre
 N°Barra Ini. Numero della barra iniziale cui si riferisce la generazione
 N°Barra Fin. Numero della barra finale cui si riferisce la generazione
 N°Barre Numero di barre generate equidistanti cui si riferisce la generazione
 Ø Diametro in mm delle barre della generazione

N°Gen.	N°Barra Ini.	N°Barra Fin.	N°Barre	Ø
1	1	4	8	22
2	2	3	8	20

CALCOLO DI RESISTENZA - SFORZI PER OGNI COMBINAZIONE ASSEGNATA

N Sforzo normale [kN] applicato nel Baric. (+ se di compressione)
 Mx Momento flettente [kNm] intorno all'asse x princ. d'inerzia
 con verso positivo se tale da comprimere il lembo sup. della sez.
 My Momento flettente [kNm] intorno all'asse y princ. d'inerzia
 con verso positivo se tale da comprimere il lembo destro della sez.
 Vy Componente del Taglio [kN] parallela all'asse princ.d'inerzia y
 Vx Componente del Taglio [kN] parallela all'asse princ.d'inerzia x

N°Comb.	N	Mx	My	Vy	Vx
1	0.00	321.00	0.00	0.00	0.00

COMB. RARE (S.L.E.) - SFORZI PER OGNI COMBINAZIONE ASSEGNATA

N Sforzo normale [kN] applicato nel Baricentro (+ se di compressione)
 Mx Momento flettente [kNm] intorno all'asse x princ. d'inerzia (tra parentesi Mom.Fessurazione)
 con verso positivo se tale da comprimere il lembo superiore della sezione
 My Momento flettente [kNm] intorno all'asse y princ. d'inerzia (tra parentesi Mom.Fessurazione)
 con verso positivo se tale da comprimere il lembo destro della sezione

N°Comb.	N	Mx	My
1	0.00	205.00	0.00

COMB. FREQUENTI (S.L.E.) - SFORZI PER OGNI COMBINAZIONE ASSEGNATA

N Sforzo normale [kN] applicato nel Baricentro (+ se di compressione)
 Mx Momento flettente [kNm] intorno all'asse x princ. d'inerzia (tra parentesi Mom.Fessurazione)
 con verso positivo se tale da comprimere il lembo superiore della sezione
 My Momento flettente [kNm] intorno all'asse y princ. d'inerzia (tra parentesi Mom.Fessurazione)
 con verso positivo se tale da comprimere il lembo destro della sezione

N°Comb.	N	Mx	My
1	0.00	178.00 (137.87)	0.00 (0.00)

COMB. QUASI PERMANENTI (S.L.E.) - SFORZI PER OGNI COMBINAZIONE ASSEGNATA

N Sforzo normale [kN] applicato nel Baricentro (+ se di compressione)
 Mx Momento flettente [kNm] intorno all'asse x princ. d'inerzia (tra parentesi Mom.Fessurazione)
 con verso positivo se tale da comprimere il lembo superiore della sezione

Relazione di calcolo nuovo sottopasso

COMMESSA	LOTTO	CODIFICA	DOCUMENTO	REV.	FOGLIO
NM25	03 D 26	CL	FV 14 B0 001	A	66 di 103

My Momento flettente [kNm] intorno all'asse y princ. d'inerzia (tra parentesi Mom.Fessurazione)
con verso positivo se tale da comprimere il lembo destro della sezione

N°Comb.	N	Mx	My
1	0.00	71.00 (137.87)	0.00 (0.00)

RISULTATI DEL CALCOLO

Sezione verificata per tutte le combinazioni assegnate

Copriferro netto minimo barre longitudinali: 7.2 cm
Interferro netto minimo barre longitudinali: 7.1 cm

VERIFICHE DI RESISTENZA IN PRESSO-TENSO FLESSIONE ALLO STATO LIMITE ULTIMO

Ver S = combinazione verificata / N = combin. non verificata
N Sforzo normale assegnato [kN] nel baricentro B sezione cls.(positivo se di compressione)
Mx Componente del momento assegnato [kNm] riferito all'asse x princ. d'inerzia
My Componente del momento assegnato [kNm] riferito all'asse y princ. d'inerzia
N Res Sforzo normale resistente [kN] nel baricentro B sezione cls.(positivo se di compress.)
Mx Res Momento flettente resistente [kNm] riferito all'asse x princ. d'inerzia
My Res Momento flettente resistente [kNm] riferito all'asse y princ. d'inerzia
Mis.Sic. Misura sicurezza = rapporto vettoriale tra (N r,Mx Res,My Res) e (N,Mx,My)
Verifica positiva se tale rapporto risulta >=1.000
As Tesa Area armature trave [cm²] in zona tesa. [Tra parentesi l'area minima ex (4.1.15)NTC]

N°Comb	Ver	N	Mx	My	N Res	Mx Res	My Res	Mis.Sic.	As Tesa
1	S	0.00	321.00	0.00	0.00	544.24	0.00	1.70	38.0(6.2)

METODO AGLI STATI LIMITE ULTIMI - DEFORMAZIONI UNITARIE ALLO STATO ULTIMO

ec max Deform. unit. massima del conglomerato a compressione
x/d Rapporto di duttilità [§ 4.1.2.1.2.1 NTC] deve essere < 0.45
Xc max Ascissa in cm della fibra corrisp. a ec max (sistema rif. X,Y,O sez.)
Yc max Ordinata in cm della fibra corrisp. a ec max (sistema rif. X,Y,O sez.)
es min Deform. unit. minima nell'acciaio (negativa se di trazione)
Xs min Ascissa in cm della barra corrisp. a es min (sistema rif. X,Y,O sez.)
Ys min Ordinata in cm della barra corrisp. a es min (sistema rif. X,Y,O sez.)
es max Deform. unit. massima nell'acciaio (positiva se di compress.)
Xs max Ascissa in cm della barra corrisp. a es max (sistema rif. X,Y,O sez.)
Ys max Ordinata in cm della barra corrisp. a es max (sistema rif. X,Y,O sez.)

N°Comb	ec max	x/d	Xc max	Yc max	es min	Xs min	Ys min	es max	Xs max	Ys max
1	0.00350	0.237	-50.0	50.0	0.00056	41.7	41.7	-0.01126	-41.7	8.3

POSIZIONE ASSE NEUTRO PER OGNI COMB. DI RESISTENZA

a, b, c Coeff. a, b, c nell'eq. dell'asse neutro $aX+bY+c=0$ nel rif. X,Y,O gen.
x/d Rapp. di duttilità (travi e solette)[§ 4.1.2.1.2.1 NTC]: deve essere < 0.45
C.Rid. Coeff. di riduz. momenti per sola flessione in travi continue

N°Comb	a	b	c	x/d	C.Rid.
1	0.000000000	0.000353898	-0.014194902	0.237	0.736

Relazione di calcolo nuovo sottopasso

COMMESSA	LOTTO	CODIFICA	DOCUMENTO	REV.	FOGLIO
NM25	03 D 26	CL	FV 14 B0 001	A	67 di 103

COMBINAZIONI RARE IN ESERCIZIO - MASSIME TENSIONI NORMALI ED APERTURA FESSURE (NTC/EC2)

Ver S = comb. verificata/ N = comb. non verificata
 Sc max Massima tensione (positiva se di compressione) nel conglomerato [Mpa]
 Xc max, Yc max Ascissa, Ordinata [cm] del punto corrisp. a Sc max (sistema rif. X,Y,O)
 Sf min Minima tensione (negativa se di trazione) nell'acciaio [Mpa]
 Xs min, Ys min Ascissa, Ordinata [cm] della barra corrisp. a Sf min (sistema rif. X,Y,O)
 Ac eff. Area di calcestruzzo [cm²] in zona tesa considerata aderente alle barre
 As eff. Area barre [cm²] in zona tesa considerate efficaci per l'apertura delle fessure

N°Comb	Ver	Sc max	Xc max	Yc max	Sf min	Xs min	Ys min	Ac eff.	As eff.
1	S	5.82	-50.0	50.0	-150.3	-32.4	8.3	1150	38.0

COMBINAZIONI RARE IN ESERCIZIO - APERTURA FESSURE [§ 7.3.4 EC2]

La sezione viene assunta sempre fessurata anche nel caso in cui la trazione minima del calcestruzzo sia inferiore a fctm

Ver. Esito della verifica
 e1 Massima deformazione unitaria di trazione nel calcestruzzo (trazione -) valutata in sezione fessurata
 e2 Minima deformazione unitaria di trazione nel calcestruzzo (trazione -) valutata in sezione fessurata
 k1 = 0.8 per barre ad aderenza migliorata [eq.(7.11)EC2]
 kt = 0.4 per comb. quasi permanenti / = 0.6 per comb. frequenti [cfr. eq.(7.9)EC2]
 k2 = 0.5 per flessione; $= (e1 + e2) / (2 * e1)$ per trazione eccentrica [eq.(7.13)EC2]
 k3 = 3.400 Coeff. in eq.(7.11) come da annessi nazionali
 k4 = 0.425 Coeff. in eq.(7.11) come da annessi nazionali
 Ø Diametro [mm] equivalente delle barre tese comprese nell'area efficace Ac eff [eq.(7.11)EC2]
 Cf Copriferro [mm] netto calcolato con riferimento alla barra più tesa
 e sm - e cm Differenza tra le deformazioni medie di acciaio e calcestruzzo [(7.8)EC2 e (C4.1.7)NTC]
 Tra parentesi: valore minimo = $0.6 S_{max} / E_s$ [(7.9)EC2 e (C4.1.8)NTC]
 sr max Massima distanza tra le fessure [mm]
 wk Apertura fessure in mm calcolata = $sr \max * (e_{sm} - e_{cm})$ [(7.8)EC2 e (C4.1.7)NTC]. Valore limite tra parentesi
 Mx fess. Componente momento di prima fessurazione intorno all'asse X [kNm]
 My fess. Componente momento di prima fessurazione intorno all'asse Y [kNm]

Comb.	Ver	e1	e2	k2	Ø	Cf	e sm - e cm	sr max	wk	Mx fess	My fess
1	S	-0.00099	0	0.500	22.0	72	0.00047 (0.00045)	358	0.168 (0.20)	137.87	0.00

COMBINAZIONI FREQUENTI IN ESERCIZIO - MASSIME TENSIONI NORMALI ED APERTURA FESSURE (NTC/EC2)

N°Comb	Ver	Sc max	Xc max	Yc max	Sf min	Xs min	Ys min	Ac eff.	As eff.
1	S	5.05	-50.0	50.0	-130.5	-41.7	8.3	1150	38.0

COMBINAZIONI FREQUENTI IN ESERCIZIO - APERTURA FESSURE [§ 7.3.4 EC2]

Comb.	Ver	e1	e2	k2	Ø	Cf	e sm - e cm	sr max	wk	Mx fess	My fess
1	S	-0.00086	0	0.500	22.0	72	0.00039 (0.00039)	358	0.140 (0.20)	137.87	0.00

COMBINAZIONI QUASI PERMANENTI IN ESERCIZIO - MASSIME TENSIONI NORMALI ED APERTURA FESSURE (NTC/EC2)

N°Comb	Ver	Sc max	Xc max	Yc max	Sf min	Xs min	Ys min	Ac eff.	As eff.
1	S	2.01	-50.0	50.0	-52.0	-13.9	8.3	1150	38.0

COMBINAZIONI QUASI PERMANENTI IN ESERCIZIO - APERTURA FESSURE [§ 7.3.4 EC2]

Comb.	Ver	e1	e2	k2	Ø	Cf	e sm - e cm	sr max	wk	Mx fess	My fess
-------	-----	----	----	----	---	----	-------------	--------	----	---------	---------

Relazione di calcolo nuovo sottopasso

COMMESSA	LOTTO	CODIFICA	DOCUMENTO	REV.	FOGLIO
NM25	03 D 26	CL	FV 14 B0 001	A	68 di 103

1 S -0.00034 0 0.500 22.0 72 0.00016 (0.00016) 358 0.056 (0.20) 137.87 0.00

METODO AGLI STATI LIMITE ULTIMI - VERIFICHE A TAGLIO

SEZIONE					
b _w	=	100	cm		
h	=	50	cm		
c	=	8.3	cm		
d	=	h-c	=	41.7	cm
MATERIALI					
f _{ywd}	=	391.30	MPa		
R _{ck}	=	30	MPa		
γ _c	=	1.5			
f _{ck}	=	0.83xR _{ck}	=	24.9	MPa
f _{cd}	=	0.85xf _{ck} /γ _c	=	14.11	MPa
ARMATURE LONGITUDINALI					
∅ _l	=	22			
Numero	=	10			
A _{sl}	=	38.013	cm ²		
TAGLIO AGENTE		V _{Ed} =	197	(KN)	
SFORZO NORMALE		N _{Ed} =	0	(KN)	
		α _c =	1.0000		

ELEMENTI SENZA ARMATURA A TAGLIO					
k	=	1.69	$1 + (200/d)^{1/2} \leq 2$		
v _{min}	=	0.385	$0.035 \cdot k^{3/2} \cdot f_{ck}^{1/2}$		
ρ _l	=	0.0091			
σ _{cp=Ned/Ac}	=	0.0000	(Mpa)		
V _{Rd1}	=	239.80	(KN)		
V _{Rd2}	=	160.37	(KN)		
		V _{Rd} =	239.80	(KN)	

Relazione di calcolo nuovo sottopasso

COMMESSA	LOTTO	CODIFICA	DOCUMENTO	REV.	FOGLIO
NM25	03 D 26	CL	FV 14 B0 001	A	69 di 103

13.4 Soletta inferiore – sezione di incastro

DATI GENERALI SEZIONE GENERICA IN C.A.

NOME SEZIONE: FOND_INC

CARATTERISTICHE DI RESISTENZA DEI MATERIALI IMPIEGATI

CALCESTRUZZO -	Classe:	C25/30	
	Resis. compr. di progetto fcd:	14.160	MPa
	Def.unit. max resistenza ec2:	0.0020	
	Def.unit. ultima ecu:	0.0035	
	Diagramma tensione-deformaz.:	Parabola-Rettangolo	
	Modulo Elastico Normale Ec:	31475.0	MPa
	Resis. media a trazione fctm:	2.560	MPa
	Coeff. Omogen. S.L.E.:	15.00	
	Coeff. Omogen. S.L.E.:	15.00	
	Sc limite S.L.E. comb. Frequenti:	137.50	daN/cm ²
	Ap.Fessure limite S.L.E. comb. Frequenti:	0.200	mm
	Sc limite S.L.E. comb. Q.Permanenti:	0.00	Mpa
	Ap.Fess.limite S.L.E. comb. Q.Perm.:	0.200	mm
ACCIAIO -	Tipo:	B450C	
	Resist. caratt. snervam. fyk:	450.00	MPa
	Resist. caratt. rottura ftk:	450.00	MPa
	Resist. snerv. di progetto fyd:	391.30	MPa
	Resist. ultima di progetto ftd:	391.30	MPa
	Deform. ultima di progetto Epu:	0.068	
	Modulo Elastico Ef	2000000	daN/cm ²
	Diagramma tensione-deformaz.:	Bilineare finito	
	Coeff. Aderenza istantaneo $\beta_1 \cdot \beta_2$:	1.00	
	Coeff. Aderenza differito $\beta_1 \cdot \beta_2$:	0.50	
Sf limite S.L.E. Comb. Rare:	337.50	MPa	

CARATTERISTICHE DOMINIO CONGLOMERATO

Forma del Dominio: Poligonale
Classe Conglomerato: C25/30

N°vertice:	X [cm]	Y [cm]
1	-50.0	0.0
2	-50.0	50.0
3	50.0	50.0
4	50.0	0.0

DATI BARRE ISOLATE

N°Barra	X [cm]	Y [cm]	DiamØ[mm]
1	-41.7	8.3	22
2	-41.7	41.7	20
3	41.7	41.7	20
4	41.7	8.3	22

DATI GENERAZIONI LINEARI DI BARRE

Relazione di calcolo nuovo sottopasso

COMMESSA	LOTTO	CODIFICA	DOCUMENTO	REV.	FOGLIO
NM25	03 D 26	CL	FV 14 B0 001	A	70 di 103

N°Gen. Numero assegnato alla singola generazione lineare di barre
 N°Barra Ini. Numero della barra iniziale cui si riferisce la generazione
 N°Barra Fin. Numero della barra finale cui si riferisce la generazione
 N°Barre Numero di barre generate equidistanti cui si riferisce la generazione
 Ø Diametro in mm delle barre della generazione

N°Gen.	N°Barra Ini.	N°Barra Fin.	N°Barre	Ø
1	1	4	8	22
2	2	3	8	20

CALCOLO DI RESISTENZA - SFORZI PER OGNI COMBINAZIONE ASSEGNATA

N Sforzo normale [kN] applicato nel Baric. (+ se di compressione)
 Mx Momento flettente [kNm] intorno all'asse x princ. d'inerzia con verso positivo se tale da comprimere il lembo sup. della sez.
 My Momento flettente [kNm] intorno all'asse y princ. d'inerzia con verso positivo se tale da comprimere il lembo destro della sez.
 Vy Componente del Taglio [kN] parallela all'asse princ.d'inerzia y
 Vx Componente del Taglio [kN] parallela all'asse princ.d'inerzia x

N°Comb.	N	Mx	My	Vy	Vx
1	0.00	338.00	0.00	0.00	0.00

COMB. RARE (S.L.E.) - SFORZI PER OGNI COMBINAZIONE ASSEGNATA

N Sforzo normale [kN] applicato nel Baricentro (+ se di compressione)
 Mx Momento flettente [kNm] intorno all'asse x princ. d'inerzia (tra parentesi Mom.Fessurazione) con verso positivo se tale da comprimere il lembo superiore della sezione
 My Momento flettente [kNm] intorno all'asse y princ. d'inerzia (tra parentesi Mom.Fessurazione) con verso positivo se tale da comprimere il lembo destro della sezione

N°Comb.	N	Mx	My
1	0.00	210.00	0.00

COMB. FREQUENTI (S.L.E.) - SFORZI PER OGNI COMBINAZIONE ASSEGNATA

N Sforzo normale [kN] applicato nel Baricentro (+ se di compressione)
 Mx Momento flettente [kNm] intorno all'asse x princ. d'inerzia (tra parentesi Mom.Fessurazione) con verso positivo se tale da comprimere il lembo superiore della sezione
 My Momento flettente [kNm] intorno all'asse y princ. d'inerzia (tra parentesi Mom.Fessurazione) con verso positivo se tale da comprimere il lembo destro della sezione

N°Comb.	N	Mx	My
1	0.00	181.00 (137.87)	0.00 (0.00)

COMB. QUASI PERMANENTI (S.L.E.) - SFORZI PER OGNI COMBINAZIONE ASSEGNATA

N Sforzo normale [kN] applicato nel Baricentro (+ se di compressione)
 Mx Momento flettente [kNm] intorno all'asse x princ. d'inerzia (tra parentesi Mom.Fessurazione) con verso positivo se tale da comprimere il lembo superiore della sezione

Relazione di calcolo nuovo sottopasso

COMMESSA	LOTTO	CODIFICA	DOCUMENTO	REV.	FOGLIO
NM25	03 D 26	CL	FV 14 B0 001	A	71 di 103

My Momento flettente [kNm] intorno all'asse y princ. d'inerzia (tra parentesi Mom.Fessurazione)
con verso positivo se tale da comprimere il lembo destro della sezione

N°Comb.	N	Mx	My
1	0.00	59.00 (137.87)	0.00 (0.00)

RISULTATI DEL CALCOLO

Sezione verificata per tutte le combinazioni assegnate

Copriferro netto minimo barre longitudinali: 7.2 cm
Interferro netto minimo barre longitudinali: 7.1 cm

VERIFICHE DI RESISTENZA IN PRESSO-TENSO FLESSIONE ALLO STATO LIMITE ULTIMO

Ver S = combinazione verificata / N = combin. non verificata
N Sforzo normale assegnato [kN] nel baricentro B sezione cls.(positivo se di compressione)
Mx Componente del momento assegnato [kNm] riferito all'asse x princ. d'inerzia
My Componente del momento assegnato [kNm] riferito all'asse y princ. d'inerzia
N Res Sforzo normale resistente [kN] nel baricentro B sezione cls.(positivo se di compress.)
Mx Res Momento flettente resistente [kNm] riferito all'asse x princ. d'inerzia
My Res Momento flettente resistente [kNm] riferito all'asse y princ. d'inerzia
Mis.Sic. Misura sicurezza = rapporto vettoriale tra (N r,Mx Res,My Res) e (N,Mx,My)
Verifica positiva se tale rapporto risulta >=1.000
As Tesa Area armature trave [cm²] in zona tesa. [Tra parentesi l'area minima ex (4.1.15)NTC]

N°Comb	Ver	N	Mx	My	N Res	Mx Res	My Res	Mis.Sic.	As Tesa
1	S	0.00	338.00	0.00	0.00	544.24	0.00	1.61	38.0(6.2)

METODO AGLI STATI LIMITE ULTIMI - DEFORMAZIONI UNITARIE ALLO STATO ULTIMO

ec max Deform. unit. massima del conglomerato a compressione
x/d Rapporto di duttilità [§ 4.1.2.1.2.1 NTC] deve essere < 0.45
Xc max Ascissa in cm della fibra corrisp. a ec max (sistema rif. X,Y,O sez.)
Yc max Ordinata in cm della fibra corrisp. a ec max (sistema rif. X,Y,O sez.)
es min Deform. unit. minima nell'acciaio (negativa se di trazione)
Xs min Ascissa in cm della barra corrisp. a es min (sistema rif. X,Y,O sez.)
Ys min Ordinata in cm della barra corrisp. a es min (sistema rif. X,Y,O sez.)
es max Deform. unit. massima nell'acciaio (positiva se di compress.)
Xs max Ascissa in cm della barra corrisp. a es max (sistema rif. X,Y,O sez.)
Ys max Ordinata in cm della barra corrisp. a es max (sistema rif. X,Y,O sez.)

N°Comb	ec max	x/d	Xc max	Yc max	es min	Xs min	Ys min	es max	Xs max	Ys max
1	0.00350	0.237	-50.0	50.0	0.00056	41.7	41.7	-0.01126	-41.7	8.3

POSIZIONE ASSE NEUTRO PER OGNI COMB. DI RESISTENZA

a, b, c Coeff. a, b, c nell'eq. dell'asse neutro $aX+bY+c=0$ nel rif. X,Y,O gen.
x/d Rapp. di duttilità (travi e solette)[§ 4.1.2.1.2.1 NTC]: deve essere < 0.45
C.Rid. Coeff. di riduz. momenti per sola flessione in travi continue

N°Comb	a	b	c	x/d	C.Rid.
1	0.000000000	0.000353898	-0.014194902	0.237	0.736

Relazione di calcolo nuovo sottopasso

COMMESSA	LOTTO	CODIFICA	DOCUMENTO	REV.	FOGLIO
NM25	03 D 26	CL	FV 14 B0 001	A	72 di 103

COMBINAZIONI RARE IN ESERCIZIO - MASSIME TENSIONI NORMALI ED APERTURA FESSURE (NTC/EC2)

Ver S = comb. verificata/ N = comb. non verificata
 Sc max Massima tensione (positiva se di compressione) nel conglomerato [Mpa]
 Xc max, Yc max Ascissa, Ordinata [cm] del punto corrisp. a Sc max (sistema rif. X,Y,O)
 Sf min Minima tensione (negativa se di trazione) nell'acciaio [Mpa]
 Xs min, Ys min Ascissa, Ordinata [cm] della barra corrisp. a Sf min (sistema rif. X,Y,O)
 Ac eff. Area di calcestruzzo [cm²] in zona tesa considerata aderente alle barre
 As eff. Area barre [cm²] in zona tesa considerate efficaci per l'apertura delle fessure

N°Comb	Ver	Sc max	Xc max	Yc max	Sf min	Xs min	Ys min	Ac eff.	As eff.
1	S	5.96	-50.0	50.0	-153.9	-32.4	8.3	1150	38.0

COMBINAZIONI RARE IN ESERCIZIO - APERTURA FESSURE [§ 7.3.4 EC2]

La sezione viene assunta sempre fessurata anche nel caso in cui la trazione minima del calcestruzzo sia inferiore a f_{ctm}

Ver. Esito della verifica
 e1 Massima deformazione unitaria di trazione nel calcestruzzo (trazione -) valutata in sezione fessurata
 e2 Minima deformazione unitaria di trazione nel calcestruzzo (trazione -) valutata in sezione fessurata
 k1 = 0.8 per barre ad aderenza migliorata [eq.(7.11)EC2]
 kt = 0.4 per comb. quasi permanenti / = 0.6 per comb. frequenti [cfr. eq.(7.9)EC2]
 k2 = 0.5 per flessione; $= (e1 + e2) / (2 * e1)$ per trazione eccentrica [eq.(7.13)EC2]
 k3 = 3.400 Coeff. in eq.(7.11) come da annessi nazionali
 k4 = 0.425 Coeff. in eq.(7.11) come da annessi nazionali
 Ø Diametro [mm] equivalente delle barre tese comprese nell'area efficace Ac eff [eq.(7.11)EC2]
 Cf Copriferro [mm] netto calcolato con riferimento alla barra più tesa
 e sm - e cm Differenza tra le deformazioni medie di acciaio e calcestruzzo [(7.8)EC2 e (C4.1.7)NTC]
 Tra parentesi: valore minimo = $0.6 S_{max} / E_s$ [(7.9)EC2 e (C4.1.8)NTC]
 sr max Massima distanza tra le fessure [mm]
 wk Apertura fessure in mm calcolata = $sr \max * (e_{sm} - e_{cm})$ [(7.8)EC2 e (C4.1.7)NTC]. Valore limite tra parentesi
 Mx fess. Componente momento di prima fessurazione intorno all'asse X [kNm]
 My fess. Componente momento di prima fessurazione intorno all'asse Y [kNm]

Comb.	Ver	e1	e2	k2	Ø	Cf	e sm - e cm	sr max	wk	Mx fess	My fess
1	S	-0.00101	0	0.500	22.0	72	0.00049 (0.00046)	358	0.175 (0.20)	137.87	0.00

COMBINAZIONI FREQUENTI IN ESERCIZIO - MASSIME TENSIONI NORMALI ED APERTURA FESSURE (NTC/EC2)

N°Comb	Ver	Sc max	Xc max	Yc max	Sf min	Xs min	Ys min	Ac eff.	As eff.
1	S	5.14	-50.0	50.0	-132.7	-41.7	8.3	1150	38.0

COMBINAZIONI FREQUENTI IN ESERCIZIO - APERTURA FESSURE [§ 7.3.4 EC2]

Comb.	Ver	e1	e2	k2	Ø	Cf	e sm - e cm	sr max	wk	Mx fess	My fess
1	S	-0.00087	0	0.500	22.0	72	0.00040 (0.00040)	358	0.142 (0.20)	137.87	0.00

COMBINAZIONI QUASI PERMANENTI IN ESERCIZIO - MASSIME TENSIONI NORMALI ED APERTURA FESSURE (NTC/EC2)

N°Comb	Ver	Sc max	Xc max	Yc max	Sf min	Xs min	Ys min	Ac eff.	As eff.
1	S	1.67	-50.0	50.0	-43.2	-32.4	8.3	1150	38.0

COMBINAZIONI QUASI PERMANENTI IN ESERCIZIO - APERTURA FESSURE [§ 7.3.4 EC2]

Comb.	Ver	e1	e2	k2	Ø	Cf	e sm - e cm	sr max	wk	Mx fess	My fess
-------	-----	----	----	----	---	----	-------------	--------	----	---------	---------

Relazione di calcolo nuovo sottopasso

COMMESSA	LOTTO	CODIFICA	DOCUMENTO	REV.	FOGLIO
NM25	03 D 26	CL	FV 14 B0 001	A	73 di 103

1 S -0.00028 0 0.500 22.0 72 0.00013 (0.00013) 358 0.046 (0.20) 137.87 0.00

METODO AGLI STATI LIMITE ULTIMI - VERIFICHE A TAGLIO

SEZIONE					
b_w	=	100	cm		
h	=	50	cm		
c	=	8.3	cm		
d	=	$h-c$	=	41.7	cm
MATERIALI					
f_{ywd}	=	391.30	MPa		
R_{ck}	=	30	MPa		
γ_c	=	1.5			
f_{ck}	=	$0.83 \times R_{ck}$	=	24.9	MPa
f_{cd}	=	$0.85 \times f_{ck} / \gamma_c$	=	14.11	MPa
ARMATURE A TAGLIO					
\varnothing_{st}	=	12			
braccia	=	5			
\varnothing_{st2}	=	0			
braccia	=	0			
passo	=	40	cm		
(A_{sw} / s)	=	14.137	cm^2 / m		
α	=	90	°	(90° staffe verticali)	
TAGLIO AGENTE	$V_{Ed} =$	446	(KN)		
SFORZO NORMALE	$N_{Ed} =$	0	(KN)		
	$\alpha_c =$	1.0000			

Relazione di calcolo nuovo sottopasso

COMMESSA	LOTTO	CODIFICA	DOCUMENTO	REV.	FOGLIO
NM25	03 D 26	CL	FV 14 B0 001	A	74 di 103

ELEMENTI CON ARMATURA A TAGLIO

Calcolo di $\cot \theta$

$$\cot(\theta) = 3.43$$

$$\theta = 16.26^\circ$$

IPOTESI 1 $1 \leq \cot \theta \leq 2.5$ Rottura bilanciata $V_{Rsd} = V_{Rcd}$

$$V_{Rsd} = 711.76 \text{ (KN)} \quad 0,9 \cdot d \cdot \frac{A_{sw}}{s} \cdot f_{yd} \cdot (\cot \alpha + \cot \theta) \cdot \sin \alpha$$

$$V_{Rcd} = 711.76 \text{ (KN)} \quad 0,9 \cdot d \cdot b_w \cdot \alpha_c \cdot f'_{cd} \cdot (\cot \alpha + \cot \theta) / (1 + \cot^2 \theta)$$

$$V_{Rd} = 712 \text{ (KN)} \quad \min(V_{Rsd}, V_{Rcd})$$

IPOTESI 2 $\cot \theta > 2,5$ Si assume $\theta = 21,8^\circ$

Armatura trasversale

$$V_{Rsd} = 519.03 \text{ (KN)} \quad 0,9 \cdot d \cdot \frac{A_{sw}}{s} \cdot f_{yd} \cdot (\cot \alpha + \cot \theta) \cdot \sin \alpha$$

$$V_{Rcd} = 913.01 \text{ (KN)} \quad 0,9 \cdot d \cdot b_w \cdot \alpha_c \cdot f'_{cd} \cdot (\cot \alpha + \cot \theta) / (1 + \cot^2 \theta)$$

$$V_{Rd} = 519 \text{ (KN)} \quad \min(V_{Rsd}, V_{Rcd})$$

IPOTESI 3 $\cot \theta = 1$ $\theta = 45^\circ$

Armatura trasversale

$$V_{Rsd} = 207.61 \text{ (KN)} \quad 0,9 \cdot d \cdot \frac{A_{sw}}{s} \cdot f_{yd} \cdot (\cot \alpha + \cot \theta) \cdot \sin \alpha$$

$$V_{Rcd} = 1323.87 \text{ (KN)} \quad 0,9 \cdot d \cdot b_w \cdot \alpha_c \cdot f'_{cd} \cdot (\cot \alpha + \cot \theta) / (1 + \cot^2 \theta)$$

$$V_{Rd} = 207.61 \text{ (KN)} \quad \min(V_{Rsd}, V_{Rcd})$$

Relazione di calcolo nuovo sottopasso

COMMESSA	LOTTO	CODIFICA	DOCUMENTO	REV.	FOGLIO
NM25	03 D 26	CL	FV 14 B0 001	A	75 di 103

13.5 Piedritti – sezione di incastro inferiore

DATI GENERALI SEZIONE GENERICA IN C.A.

NOME SEZIONE: PIEDR_PIEDE

CARATTERISTICHE DI RESISTENZA DEI MATERIALI IMPIEGATI

CALCESTRUZZO -	Classe:	C30/37	
	Resis. compr. di progetto fcd:	17.000	MPa
	Def.unit. max resistenza ec2:	0.0020	
	Def.unit. ultima ecu:	0.0035	
	Diagramma tensione-deformaz.:	Parabola-Rettangolo	
	Modulo Elastico Normale Ec:	32836.0	MPa
	Resis. media a trazione fctm:	2.900	MPa
	Coeff. Omogen. S.L.E.:	15.00	
	Coeff. Omogen. S.L.E.:	15.00	
	Sc limite S.L.E. comb. Frequenti:	165.00	daN/cm ²
	Ap.Fessure limite S.L.E. comb. Frequenti:	0.200	mm
	Sc limite S.L.E. comb. Q.Permanenti:	0.00	Mpa
	Ap.Fess.limite S.L.E. comb. Q.Perm.:	0.200	mm
	ACCIAIO -	Tipo:	B450C
Resist. caratt. snervam. fyk:		450.00	MPa
Resist. caratt. rottura ftk:		450.00	MPa
Resist. snerv. di progetto fyd:		391.30	MPa
Resist. ultima di progetto ftd:		391.30	MPa
Deform. ultima di progetto Epu:		0.068	
Modulo Elastico Ef		2000000	daN/cm ²
Diagramma tensione-deformaz.:		Bilineare finito	
Coeff. Aderenza istantaneo $\beta_1 \cdot \beta_2$:		1.00	
Coeff. Aderenza differito $\beta_1 \cdot \beta_2$:		0.50	
Sf limite S.L.E. Comb. Rare:	337.50	MPa	

CARATTERISTICHE DOMINIO CONGLOMERATO

Forma del Dominio: Poligonale
Classe Conglomerato: C30/37

N°vertice:	X [cm]	Y [cm]
1	-50.0	0.0
2	-50.0	50.0
3	50.0	50.0
4	50.0	0.0

DATI BARRE ISOLATE

N°Barra	X [cm]	Y [cm]	DiamØ[mm]
1	-42.0	8.0	20
2	-42.0	42.0	20
3	42.0	42.0	20
4	42.0	8.0	20

DATI GENERAZIONI LINEARI DI BARRE

Relazione di calcolo nuovo sottopasso

COMMESSA	LOTTO	CODIFICA	DOCUMENTO	REV.	FOGLIO
NM25	03 D 26	CL	FV 14 B0 001	A	76 di 103

N°Gen. Numero assegnato alla singola generazione lineare di barre
 N°Barra Ini. Numero della barra iniziale cui si riferisce la generazione
 N°Barra Fin. Numero della barra finale cui si riferisce la generazione
 N°Barre Numero di barre generate equidistanti cui si riferisce la generazione
 Ø Diametro in mm delle barre della generazione

N°Gen.	N°Barra Ini.	N°Barra Fin.	N°Barre	Ø
1	1	4	8	20
2	2	3	3	20

CALCOLO DI RESISTENZA - SFORZI PER OGNI COMBINAZIONE ASSEGNATA

N Sforzo normale [kN] applicato nel Baric. (+ se di compressione)
 Mx Momento flettente [kNm] intorno all'asse x princ. d'inerzia
 con verso positivo se tale da comprimere il lembo sup. della sez.
 My Momento flettente [kNm] intorno all'asse y princ. d'inerzia
 con verso positivo se tale da comprimere il lembo destro della sez.
 Vy Componente del Taglio [kN] parallela all'asse princ.d'inerzia y
 Vx Componente del Taglio [kN] parallela all'asse princ.d'inerzia x

N°Comb.	N	Mx	My	Vy	Vx
1	148.00	354.00	0.00	0.00	0.00

COMB. RARE (S.L.E.) - SFORZI PER OGNI COMBINAZIONE ASSEGNATA

N Sforzo normale [kN] applicato nel Baricentro (+ se di compressione)
 Mx Momento flettente [kNm] intorno all'asse x princ. d'inerzia (tra parentesi Mom.Fessurazione)
 con verso positivo se tale da comprimere il lembo superiore della sezione
 My Momento flettente [kNm] intorno all'asse y princ. d'inerzia (tra parentesi Mom.Fessurazione)
 con verso positivo se tale da comprimere il lembo destro della sezione

N°Comb.	N	Mx	My
1	226.00	223.00	0.00

COMB. FREQUENTI (S.L.E.) - SFORZI PER OGNI COMBINAZIONE ASSEGNATA

N Sforzo normale [kN] applicato nel Baricentro (+ se di compressione)
 Mx Momento flettente [kNm] intorno all'asse x princ. d'inerzia (tra parentesi Mom.Fessurazione)
 con verso positivo se tale da comprimere il lembo superiore della sezione
 My Momento flettente [kNm] intorno all'asse y princ. d'inerzia (tra parentesi Mom.Fessurazione)
 con verso positivo se tale da comprimere il lembo destro della sezione

N°Comb.	N	Mx	My
1	261.00	193.00 (167.03)	0.00 (0.00)

COMB. QUASI PERMANENTI (S.L.E.) - SFORZI PER OGNI COMBINAZIONE ASSEGNATA

N Sforzo normale [kN] applicato nel Baricentro (+ se di compressione)
 Mx Momento flettente [kNm] intorno all'asse x princ. d'inerzia (tra parentesi Mom.Fessurazione)
 con verso positivo se tale da comprimere il lembo superiore della sezione

Relazione di calcolo nuovo sottopasso

COMMESSA	LOTTO	CODIFICA	DOCUMENTO	REV.	FOGLIO
NM25	03 D 26	CL	FV 14 B0 001	A	77 di 103

My Momento flettente [kNm] intorno all'asse y princ. d'inerzia (tra parentesi Mom.Fessurazione)
con verso positivo se tale da comprimere il lembo destro della sezione

N°Comb.	N	Mx	My
1	127.00	65.00 (176.94)	0.00 (0.00)

RISULTATI DEL CALCOLO

Sezione verificata per tutte le combinazioni assegnate

Copriferro netto minimo barre longitudinali: 7.0 cm
Interferro netto minimo barre longitudinali: 7.3 cm

VERIFICHE DI RESISTENZA IN PRESSO-TENSO FLESSIONE ALLO STATO LIMITE ULTIMO

Ver S = combinazione verificata / N = combin. non verificata
N Sforzo normale assegnato [kN] nel baricentro B sezione cls.(positivo se di compressione)
Mx Componente del momento assegnato [kNm] riferito all'asse x princ. d'inerzia
My Componente del momento assegnato [kNm] riferito all'asse y princ. d'inerzia
N Res Sforzo normale resistente [kN] nel baricentro B sezione cls.(positivo se di compress.)
Mx Res Momento flettente resistente [kNm] riferito all'asse x princ. d'inerzia
My Res Momento flettente resistente [kNm] riferito all'asse y princ. d'inerzia
Mis.Sic. Misura sicurezza = rapporto vettoriale tra (N r,Mx Res,My Res) e (N,Mx,My)
Verifica positiva se tale rapporto risulta >=1.000
As Tesa Area armature trave [cm²] in zona tesa. [Tra parentesi l'area minima ex (4.1.15)NTC]

N°Comb	Ver	N	Mx	My	N Res	Mx Res	My Res	Mis.Sic.	As Tesa
1	S	148.00	354.00	0.00	147.90	495.84	0.00	1.40	31.4(8.4)

METODO AGLI STATI LIMITE ULTIMI - DEFORMAZIONI UNITARIE ALLO STATO ULTIMO

ec max Deform. unit. massima del conglomerato a compressione
x/d Rapporto di duttilità [§ 4.1.2.1.2.1 NTC] deve essere < 0.45
Xc max Ascissa in cm della fibra corrisp. a ec max (sistema rif. X,Y,O sez.)
Yc max Ordinata in cm della fibra corrisp. a ec max (sistema rif. X,Y,O sez.)
es min Deform. unit. minima nell'acciaio (negativa se di trazione)
Xs min Ascissa in cm della barra corrisp. a es min (sistema rif. X,Y,O sez.)
Ys min Ordinata in cm della barra corrisp. a es min (sistema rif. X,Y,O sez.)
es max Deform. unit. massima nell'acciaio (positiva se di compress.)
Xs max Ascissa in cm della barra corrisp. a es max (sistema rif. X,Y,O sez.)
Ys max Ordinata in cm della barra corrisp. a es max (sistema rif. X,Y,O sez.)

N°Comb	ec max	x/d	Xc max	Yc max	es min	Xs min	Ys min	es max	Xs max	Ys max
1	0.00350	0.216	50.0	50.0	0.00041	42.0	42.0	-0.01272	-42.0	8.0

POSIZIONE ASSE NEUTRO PER OGNI COMB. DI RESISTENZA

a, b, c Coeff. a, b, c nell'eq. dell'asse neutro $aX+bY+c=0$ nel rif. X,Y,O gen.
x/d Rapp. di duttilità (travi e solette)[§ 4.1.2.1.2.1 NTC]: deve essere < 0.45
C.Rid. Coeff. di riduz. momenti per sola flessione in travi continue

N°Comb	a	b	c	x/d	C.Rid.
1	0.000000000	0.000386104	-0.015805182	0.216	0.710

Relazione di calcolo nuovo sottopasso

COMMESSA	LOTTO	CODIFICA	DOCUMENTO	REV.	FOGLIO
NM25	03 D 26	CL	FV 14 B0 001	A	78 di 103

COMBINAZIONI RARE IN ESERCIZIO - MASSIME TENSIONI NORMALI ED APERTURA FESSURE (NTC/EC2)

Ver S = comb. verificata/ N = comb. non verificata
 Sc max Massima tensione (positiva se di compressione) nel conglomerato [Mpa]
 Xc max, Yc max Ascissa, Ordinata [cm] del punto corrisp. a Sc max (sistema rif. X,Y,O)
 Sf min Minima tensione (negativa se di trazione) nell'acciaio [Mpa]
 Xs min, Ys min Ascissa, Ordinata [cm] della barra corrisp. a Sf min (sistema rif. X,Y,O)
 Ac eff. Area di calcestruzzo [cm²] in zona tesa considerata aderente alle barre
 As eff. Area barre [cm²] in zona tesa considerate efficaci per l'apertura delle fessure

N°Comb	Ver	Sc max	Xc max	Yc max	Sf min	Xs min	Ys min	Ac eff.	As eff.
1	S	7.37	-50.0	50.0	-159.4	-42.0	8.0	1100	31.4

COMBINAZIONI RARE IN ESERCIZIO - APERTURA FESSURE [§ 7.3.4 EC2]

La sezione viene assunta sempre fessurata anche nel caso in cui la trazione minima del calcestruzzo sia inferiore a fctm

Ver. Esito della verifica
 e1 Massima deformazione unitaria di trazione nel calcestruzzo (trazione -) valutata in sezione fessurata
 e2 Minima deformazione unitaria di trazione nel calcestruzzo (trazione -) valutata in sezione fessurata
 k1 = 0.8 per barre ad aderenza migliorata [eq.(7.11)EC2]
 kt = 0.4 per comb. quasi permanenti / = 0.6 per comb. frequenti [cfr. eq.(7.9)EC2]
 k2 = 0.5 per flessione; = (e1 + e2)/(2*e1) per trazione eccentrica [eq.(7.13)EC2]
 k3 = 3.400 Coeff. in eq.(7.11) come da annessi nazionali
 k4 = 0.425 Coeff. in eq.(7.11) come da annessi nazionali
 Ø Diametro [mm] equivalente delle barre tese comprese nell'area efficace Ac eff [eq.(7.11)EC2]
 Cf Coprifero [mm] netto calcolato con riferimento alla barra più tesa
 e sm - e cm Differenza tra le deformazioni medie di acciaio e calcestruzzo [(7.8)EC2 e (C4.1.7)NTC]
 Tra parentesi: valore minimo = 0.6 Smax / Es [(7.9)EC2 e (C4.1.8)NTC]
 sr max Massima distanza tra le fessure [mm]
 wk Apertura fessure in mm calcolata = sr max*(e_sm - e_cm) [(7.8)EC2 e (C4.1.7)NTC]. Valore limite tra parentesi
 Mx fess. Componente momento di prima fessurazione intorno all'asse X [kNm]
 My fess. Componente momento di prima fessurazione intorno all'asse Y [kNm]

Comb.	Ver	e1	e2	k2	Ø	Cf	e sm - e cm	sr max	wk	Mx fess	My fess
1	S	-0.00105	0	0.500	20.0	70	0.00048 (0.00048)	357	0.171 (0.20)	161.93	0.00

COMBINAZIONI FREQUENTI IN ESERCIZIO - MASSIME TENSIONI NORMALI ED APERTURA FESSURE (NTC/EC2)

N°Comb	Ver	Sc max	Xc max	Yc max	Sf min	Xs min	Ys min	Ac eff.	As eff.
1	S	6.43	-50.0	50.0	-128.3	-32.7	8.0	1050	31.4

COMBINAZIONI FREQUENTI IN ESERCIZIO - APERTURA FESSURE [§ 7.3.4 EC2]

Comb.	Ver	e1	e2	k2	Ø	Cf	e sm - e cm	sr max	wk	Mx fess	My fess
1	S	-0.00086	0	0.500	20.0	70	0.00039 (0.00039)	352	0.135 (0.20)	167.03	0.00

COMBINAZIONI QUASI PERMANENTI IN ESERCIZIO - MASSIME TENSIONI NORMALI ED APERTURA FESSURE (NTC/EC2)

N°Comb	Ver	Sc max	Xc max	Yc max	Sf min	Xs min	Ys min	Ac eff.	As eff.
1	S	2.19	-50.0	50.0	-37.7	-42.0	8.0	1000	31.4

COMBINAZIONI QUASI PERMANENTI IN ESERCIZIO - APERTURA FESSURE [§ 7.3.4 EC2]

Comb.	Ver	e1	e2	k2	Ø	Cf	e sm - e cm	sr max	wk	Mx fess	My fess
-------	-----	----	----	----	---	----	-------------	--------	----	---------	---------

Relazione di calcolo nuovo sottopasso

COMMESSA	LOTTO	CODIFICA	DOCUMENTO	REV.	FOGLIO
NM25	03 D 26	CL	FV 14 B0 001	A	79 di 103

1 S -0.00026 0 0.500 20.0 70 0.00011 (0.00011) 346 0.039 (0.20) 176.94 0.00

METODO AGLI STATI LIMITE ULTIMI - VERIFICHE A TAGLIO

SEZIONE					
b_w	=	100	cm		
h	=	50	cm		
c	=	8	cm		
d	=	$h-c$	=	42	cm
MATERIALI					
f_{ywd}	=	391.30	MPa		
R_{ck}	=	37	MPa		
γ_c	=	1.5			
f_{ck}	=	$0.83 \times R_{ck}$	=	30.71	MPa
f_{cd}	=	$0.85 \times f_{ck} / \gamma_c$	=	17.40	MPa
ARMATURE A TAGLIO					
\varnothing_{st}	=	10			
braccia	=	5			
\varnothing_{st2}	=	0			
braccia	=	0			
passo	=	40	cm		
(A_{sw} / s)	=	9.817	cm^2 / m		
α	=	90	°	(90° staffe verticali)	
TAGLIO AGENTE	$V_{Ed} =$	222	(KN)		
SFORZO NORMALE	$N_{Ed} =$	0	(KN)		
	$\alpha_c =$	1.0000			

Relazione di calcolo nuovo sottopasso

COMMESSA	LOTTO	CODIFICA	DOCUMENTO	REV.	FOGLIO
NM25	03 D 26	CL	FV 14 B0 001	A	80 di 103

ELEMENTI CON ARMATURA A TAGLIO

Calcolo di $\cot \theta$

$$\cot(\theta) = 4.65$$

$$\theta = 12.13^\circ$$

IPOTESI 1 $1 \leq \cot \theta \leq 2.5$ Rottura bilanciata $V_{Rsd} = V_{Rcd}$

$$V_{Rsd} = 675.67 \text{ (KN)} \quad 0,9 \cdot d \cdot \frac{A_{sw}}{s} \cdot f_{yd} \cdot (\ctg \alpha + \ctg \theta) \cdot \sin \alpha$$

$$V_{Rcd} = 675.67 \text{ (KN)} \quad 0,9 \cdot d \cdot b_w \cdot \alpha_c \cdot f'_{cd} \cdot (\ctg \alpha + \ctg \theta) / (1 + \ctg^2 \theta)$$

$$V_{Rd} = 676 \text{ (KN)} \quad \min(V_{Rsd}, V_{Rcd})$$

IPOTESI 2 $\cot \vartheta > 2,5$ Si assume $\vartheta = 21,8^\circ$

Armatura trasversale

$$V_{Rsd} = 363.03 \text{ (KN)} \quad 0,9 \cdot d \cdot \frac{A_{sw}}{s} \cdot f_{yd} \cdot (\ctg \alpha + \ctg \theta) \cdot \sin \alpha$$

$$V_{Rcd} = 1134.15 \text{ (KN)} \quad 0,9 \cdot d \cdot b_w \cdot \alpha_c \cdot f'_{cd} \cdot (\ctg \alpha + \ctg \theta) / (1 + \ctg^2 \theta)$$

$$V_{Rd} = 363 \text{ (KN)} \quad \min(V_{Rsd}, V_{Rcd})$$

IPOTESI 3 $\cot \vartheta = 1$ $\vartheta = 45^\circ$

Armatura trasversale

$$V_{Rsd} = 145.21 \text{ (KN)} \quad 0,9 \cdot d \cdot \frac{A_{sw}}{s} \cdot f_{yd} \cdot (\ctg \alpha + \ctg \theta) \cdot \sin \alpha$$

$$V_{Rcd} = 1644.52 \text{ (KN)} \quad 0,9 \cdot d \cdot b_w \cdot \alpha_c \cdot f'_{cd} \cdot (\ctg \alpha + \ctg \theta) / (1 + \ctg^2 \theta)$$

$$V_{Rd} = 145.21 \text{ (KN)} \quad \min(V_{Rsd}, V_{Rcd})$$

Relazione di calcolo nuovo sottopasso

COMMESSA	LOTTO	CODIFICA	DOCUMENTO	REV.	FOGLIO
NM25	03 D 26	CL	FV 14 B0 001	A	81 di 103

13.6 Piedritti – sezione di incastro superiore

DATI GENERALI SEZIONE GENERICA IN C.A.

NOME SEZIONE: PIEDR_TESTA

CARATTERISTICHE DI RESISTENZA DEI MATERIALI IMPIEGATI

CALCESTRUZZO -	Classe:	C30/37	
	Resis. compr. di progetto fcd:	17.000	MPa
	Def.unit. max resistenza ec2:	0.0020	
	Def.unit. ultima ecu:	0.0035	
	Diagramma tensione-deformaz.:	Parabola-Rettangolo	
	Modulo Elastico Normale Ec:	32836.0	MPa
	Resis. media a trazione fctm:	2.900	MPa
	Coeff. Omogen. S.L.E.:	15.00	
	Coeff. Omogen. S.L.E.:	15.00	
	Sc limite S.L.E. comb. Frequenti:	165.00	daN/cm ²
	Ap.Fessure limite S.L.E. comb. Frequenti:	0.200	mm
	Sc limite S.L.E. comb. Q.Permanenti:	0.00	Mpa
	Ap.Fess.limite S.L.E. comb. Q.Perm.:	0.200	mm
ACCIAIO -	Tipo:	B450C	
	Resist. caratt. snervam. fyk:	450.00	MPa
	Resist. caratt. rottura ftk:	450.00	MPa
	Resist. snerv. di progetto fyd:	391.30	MPa
	Resist. ultima di progetto ftd:	391.30	MPa
	Deform. ultima di progetto Epu:	0.068	
	Modulo Elastico Ef	2000000	daN/cm ²
	Diagramma tensione-deformaz.:	Bilineare finito	
	Coeff. Aderenza istantaneo $\beta_1 \cdot \beta_2$:	1.00	
	Coeff. Aderenza differito $\beta_1 \cdot \beta_2$:	0.50	
Sf limite S.L.E. Comb. Rare:	337.50	MPa	

CARATTERISTICHE DOMINIO CONGLOMERATO

Forma del Dominio: Poligonale
Classe Conglomerato: C30/37

N°vertice:	X [cm]	Y [cm]
1	-50.0	0.0
2	-50.0	50.0
3	50.0	50.0
4	50.0	0.0

DATI BARRE ISOLATE

N°Barra	X [cm]	Y [cm]	DiamØ[mm]
1	-42.0	8.0	20
2	-42.0	42.0	20
3	42.0	42.0	20
4	42.0	8.0	20

DATI GENERAZIONI LINEARI DI BARRE

Relazione di calcolo nuovo sottopasso

COMMESSA	LOTTO	CODIFICA	DOCUMENTO	REV.	FOGLIO
NM25	03 D 26	CL	FV 14 B0 001	A	82 di 103

N°Gen. Numero assegnato alla singola generazione lineare di barre
 N°Barra Ini. Numero della barra iniziale cui si riferisce la generazione
 N°Barra Fin. Numero della barra finale cui si riferisce la generazione
 N°Barre Numero di barre generate equidistanti cui si riferisce la generazione
 Ø Diametro in mm delle barre della generazione

N°Gen.	N°Barra Ini.	N°Barra Fin.	N°Barre	Ø
1	1	4	8	20
2	2	3	3	20

CALCOLO DI RESISTENZA - SFORZI PER OGNI COMBINAZIONE ASSEGNATA

N Sforzo normale [kN] applicato nel Baric. (+ se di compressione)
 Mx Momento flettente [kNm] intorno all'asse x princ. d'inerzia
 con verso positivo se tale da comprimere il lembo sup. della sez.
 My Momento flettente [kNm] intorno all'asse y princ. d'inerzia
 con verso positivo se tale da comprimere il lembo destro della sez.
 Vy Componente del Taglio [kN] parallela all'asse princ.d'inerzia y
 Vx Componente del Taglio [kN] parallela all'asse princ.d'inerzia x

N°Comb.	N	Mx	My	Vy	Vx
1	106.00	298.00	0.00	0.00	0.00

COMB. RARE (S.L.E.) - SFORZI PER OGNI COMBINAZIONE ASSEGNATA

N Sforzo normale [kN] applicato nel Baricentro (+ se di compressione)
 Mx Momento flettente [kNm] intorno all'asse x princ. d'inerzia (tra parentesi Mom.Fessurazione)
 con verso positivo se tale da comprimere il lembo superiore della sezione
 My Momento flettente [kNm] intorno all'asse y princ. d'inerzia (tra parentesi Mom.Fessurazione)
 con verso positivo se tale da comprimere il lembo destro della sezione

N°Comb.	N	Mx	My
1	184.00	184.00	0.00

COMB. FREQUENTI (S.L.E.) - SFORZI PER OGNI COMBINAZIONE ASSEGNATA

N Sforzo normale [kN] applicato nel Baricentro (+ se di compressione)
 Mx Momento flettente [kNm] intorno all'asse x princ. d'inerzia (tra parentesi Mom.Fessurazione)
 con verso positivo se tale da comprimere il lembo superiore della sezione
 My Momento flettente [kNm] intorno all'asse y princ. d'inerzia (tra parentesi Mom.Fessurazione)
 con verso positivo se tale da comprimere il lembo destro della sezione

N°Comb.	N	Mx	My
1	220.00	157.00 (167.80)	0.00 (0.00)

COMB. QUASI PERMANENTI (S.L.E.) - SFORZI PER OGNI COMBINAZIONE ASSEGNATA

N Sforzo normale [kN] applicato nel Baricentro (+ se di compressione)
 Mx Momento flettente [kNm] intorno all'asse x princ. d'inerzia (tra parentesi Mom.Fessurazione)
 con verso positivo se tale da comprimere il lembo superiore della sezione

Relazione di calcolo nuovo sottopasso

COMMESSA	LOTTO	CODIFICA	DOCUMENTO	REV.	FOGLIO
NM25	03 D 26	CL	FV 14 B0 001	A	83 di 103

My Momento flettente [kNm] intorno all'asse y princ. d'inerzia (tra parentesi Mom.Fessurazione)
con verso positivo se tale da comprimere il lembo destro della sezione

N°Comb.	N	Mx	My
1	86.00	37.00 (183.64)	0.00 (0.00)

RISULTATI DEL CALCOLO

Sezione verificata per tutte le combinazioni assegnate

Copriferro netto minimo barre longitudinali: 7.0 cm
Interferro netto minimo barre longitudinali: 7.3 cm

VERIFICHE DI RESISTENZA IN PRESSO-TENSO FLESSIONE ALLO STATO LIMITE ULTIMO

Ver S = combinazione verificata / N = combin. non verificata
N Sforzo normale assegnato [kN] nel baricentro B sezione cls.(positivo se di compressione)
Mx Componente del momento assegnato [kNm] riferito all'asse x princ. d'inerzia
My Componente del momento assegnato [kNm] riferito all'asse y princ. d'inerzia
N Res Sforzo normale resistente [kN] nel baricentro B sezione cls.(positivo se di compress.)
Mx Res Momento flettente resistente [kNm] riferito all'asse x princ. d'inerzia
My Res Momento flettente resistente [kNm] riferito all'asse y princ. d'inerzia
Mis.Sic. Misura sicurezza = rapporto vettoriale tra (N r,Mx Res,My Res) e (N,Mx,My)
Verifica positiva se tale rapporto risulta >=1.000
As Tesa Area armature trave [cm²] in zona tesa. [Tra parentesi l'area minima ex (4.1.15)NTC]

N°Comb	Ver	N	Mx	My	N Res	Mx Res	My Res	Mis.Sic.	As Tesa
1	S	106.00	298.00	0.00	106.11	488.62	0.00	1.64	31.4(8.4)

METODO AGLI STATI LIMITE ULTIMI - DEFORMAZIONI UNITARIE ALLO STATO ULTIMO

ec max Deform. unit. massima del conglomerato a compressione
x/d Rapporto di duttilità [§ 4.1.2.1.2.1 NTC] deve essere < 0.45
Xc max Ascissa in cm della fibra corrisp. a ec max (sistema rif. X,Y,O sez.)
Yc max Ordinata in cm della fibra corrisp. a ec max (sistema rif. X,Y,O sez.)
es min Deform. unit. minima nell'acciaio (negativa se di trazione)
Xs min Ascissa in cm della barra corrisp. a es min (sistema rif. X,Y,O sez.)
Ys min Ordinata in cm della barra corrisp. a es min (sistema rif. X,Y,O sez.)
es max Deform. unit. massima nell'acciaio (positiva se di compress.)
Xs max Ascissa in cm della barra corrisp. a es max (sistema rif. X,Y,O sez.)
Ys max Ordinata in cm della barra corrisp. a es max (sistema rif. X,Y,O sez.)

N°Comb	ec max	x/d	Xc max	Yc max	es min	Xs min	Ys min	es max	Xs max	Ys max
1	0.00350	0.212	50.0	50.0	0.00035	42.0	42.0	-0.01302	-42.0	8.0

POSIZIONE ASSE NEUTRO PER OGNI COMB. DI RESISTENZA

a, b, c Coeff. a, b, c nell'eq. dell'asse neutro $aX+bY+c=0$ nel rif. X,Y,O gen.
x/d Rapp. di duttilità (travi e solette)[§ 4.1.2.1.2.1 NTC]: deve essere < 0.45
C.Rid. Coeff. di riduz. momenti per sola flessione in travi continue

N°Comb	a	b	c	x/d	C.Rid.
1	0.000000000	0.000393423	-0.016171134	0.212	0.705

Relazione di calcolo nuovo sottopasso

COMMESSA	LOTTO	CODIFICA	DOCUMENTO	REV.	FOGLIO
NM25	03 D 26	CL	FV 14 B0 001	A	84 di 103

COMBINAZIONI RARE IN ESERCIZIO - MASSIME TENSIONI NORMALI ED APERTURA FESSURE (NTC/EC2)

Ver S = comb. verificata/ N = comb. non verificata
 Sc max Massima tensione (positiva se di compressione) nel conglomerato [Mpa]
 Xc max, Yc max Ascissa, Ordinata [cm] del punto corrisp. a Sc max (sistema rif. X,Y,O)
 Sf min Minima tensione (negativa se di trazione) nell'acciaio [Mpa]
 Xs min, Ys min Ascissa, Ordinata [cm] della barra corrisp. a Sf min (sistema rif. X,Y,O)
 Ac eff. Area di calcestruzzo [cm²] in zona tesa considerata aderente alle barre
 As eff. Area barre [cm²] in zona tesa considerate efficaci per l'apertura delle fessure

N°Comb	Ver	Sc max	Xc max	Yc max	Sf min	Xs min	Ys min	Ac eff.	As eff.
1	S	6.08	-50.0	50.0	-131.9	-32.7	8.0	1100	31.4

COMBINAZIONI RARE IN ESERCIZIO - APERTURA FESSURE [§ 7.3.4 EC2]

La sezione viene assunta sempre fessurata anche nel caso in cui la trazione minima del calcestruzzo sia inferiore a f_{ctm}

Ver. Esito della verifica
 e1 Massima deformazione unitaria di trazione nel calcestruzzo (trazione -) valutata in sezione fessurata
 e2 Minima deformazione unitaria di trazione nel calcestruzzo (trazione -) valutata in sezione fessurata
 k1 = 0.8 per barre ad aderenza migliorata [eq.(7.11)EC2]
 kt = 0.4 per comb. quasi permanenti / = 0.6 per comb. frequenti [cfr. eq.(7.9)EC2]
 k2 = 0.5 per flessione; $= (e1 + e2) / (2 * e1)$ per trazione eccentrica [eq.(7.13)EC2]
 k3 = 3.400 Coeff. in eq.(7.11) come da annessi nazionali
 k4 = 0.425 Coeff. in eq.(7.11) come da annessi nazionali
 Ø Diametro [mm] equivalente delle barre tese comprese nell'area efficace Ac eff [eq.(7.11)EC2]
 Cf Copriferro [mm] netto calcolato con riferimento alla barra più tesa
 e sm - e cm Differenza tra le deformazioni medie di acciaio e calcestruzzo [(7.8)EC2 e (C4.1.7)NTC]
 Tra parentesi: valore minimo = $0.6 S_{max} / E_s$ [(7.9)EC2 e (C4.1.8)NTC]
 sr max Massima distanza tra le fessure [mm]
 wk Apertura fessure in mm calcolata = $sr_{max} * (e_{sm} - e_{cm})$ [(7.8)EC2 e (C4.1.7)NTC]. Valore limite tra parentesi
 Mx fess. Componente momento di prima fessurazione intorno all'asse X [kNm]
 My fess. Componente momento di prima fessurazione intorno all'asse Y [kNm]

Comb.	Ver	e1	e2	k2	Ø	Cf	e sm - e cm	sr max	wk	Mx fess	My fess
1	S	-0.00087	0	0.500	20.0	70	0.00040 (0.00040)	357	0.141 (0.20)	161.73	0.00

COMBINAZIONI FREQUENTI IN ESERCIZIO - MASSIME TENSIONI NORMALI ED APERTURA FESSURE (NTC/EC2)

N°Comb	Ver	Sc max	Xc max	Yc max	Sf min	Xs min	Ys min	Ac eff.	As eff.
1	S	5.24	-50.0	50.0	-103.3	-42.0	8.0	1050	31.4

COMBINAZIONI FREQUENTI IN ESERCIZIO - APERTURA FESSURE [§ 7.3.4 EC2]

Comb.	Ver	e1	e2	k2	Ø	Cf	e sm - e cm	sr max	wk	Mx fess	My fess
1	S	-0.00069	0	0.500	20.0	70	0.00031 (0.00031)	352	0.109 (0.20)	167.80	0.00

COMBINAZIONI QUASI PERMANENTI IN ESERCIZIO - MASSIME TENSIONI NORMALI ED APERTURA FESSURE (NTC/EC2)

N°Comb	Ver	Sc max	Xc max	Yc max	Sf min	Xs min	Ys min	Ac eff.	As eff.
1	S	1.26	-50.0	50.0	-19.6	-42.0	8.0	1000	31.4

COMBINAZIONI QUASI PERMANENTI IN ESERCIZIO - APERTURA FESSURE [§ 7.3.4 EC2]

Comb.	Ver	e1	e2	k2	Ø	Cf	e sm - e cm	sr max	wk	Mx fess	My fess
-------	-----	----	----	----	---	----	-------------	--------	----	---------	---------

Relazione di calcolo nuovo sottopasso

COMMESSA	LOTTO	CODIFICA	DOCUMENTO	REV.	FOGLIO
NM25	03 D 26	CL	FV 14 B0 001	A	85 di 103

1 S -0.00013 0 0.500 20.0 70 0.00006 (0.00006) 346 0.020 (0.20) 183.64 0.00

METODO AGLI STATI LIMITE ULTIMI - VERIFICHE A TAGLIO

SEZIONE

b_w	=	100	cm		
h	=	50	cm		
c	=	8	cm		
d	=	$h-c$	=	42	cm

MATERIALI

f_{ywd}	=	391.30	MPa		
R_{ck}	=	37	MPa		
γ_c	=	1.5			
f_{ck}	=	$0.83 \times R_{ck}$	=	30.71	MPa
f_{cd}	=	$0.85 \times f_{ck} / \gamma_c$	=	17.40	MPa

ARMATURE A TAGLIO

\varnothing_{st}	=	10			
braccia	=	5			
\varnothing_{st2}	=	0			
braccia	=	0			
passo	=	40	cm		
(A_{sw} / s)	=	9.817	cm^2 / m		
α	=	90	°		(90° staffe verticali)

TAGLIO AGENTE	$V_{Ed} =$	111	(KN)
SFORZO NORMALE	$N_{Ed} =$	0	(KN)
	$\alpha_c =$	1.0000	

Relazione di calcolo nuovo sottopasso

COMMESSA	LOTTO	CODIFICA	DOCUMENTO	REV.	FOGLIO
NM25	03 D 26	CL	FV 14 B0 001	A	86 di 103

ELEMENTI CON ARMATURA A TAGLIO

Calcolo di $\cot \theta$

$$\cot(\theta) = 4.65$$

$$\theta = 12.13^\circ$$

IPOTESI 1 $1 \leq \cot \theta \leq 2.5$ Rottura bilanciata $V_{Rsd} = V_{Rcd}$

$$V_{Rsd} = 675.67 \text{ (KN)} \quad 0,9 \cdot d \cdot \frac{A_{sw}}{s} \cdot f_{yd} \cdot (\ctg \alpha + \ctg \theta) \cdot \sin \alpha$$

$$V_{Rcd} = 675.67 \text{ (KN)} \quad 0,9 \cdot d \cdot b_w \cdot \alpha_c \cdot f'_{cd} \cdot (\ctg \alpha + \ctg \theta) / (1 + \ctg^2 \theta)$$

$$V_{Rd} = 676 \text{ (KN)} \quad \min(V_{Rsd}, V_{Rcd})$$

IPOTESI 2 $\cot \vartheta > 2,5$ Si assume $\vartheta = 21,8^\circ$

Armatura trasversale

$$V_{Rsd} = 363.03 \text{ (KN)} \quad 0,9 \cdot d \cdot \frac{A_{sw}}{s} \cdot f_{yd} \cdot (\ctg \alpha + \ctg \theta) \cdot \sin \alpha$$

$$V_{Rcd} = 1134.15 \text{ (KN)} \quad 0,9 \cdot d \cdot b_w \cdot \alpha_c \cdot f'_{cd} \cdot (\ctg \alpha + \ctg \theta) / (1 + \ctg^2 \theta)$$

$$V_{Rd} = 363 \text{ (KN)} \quad \min(V_{Rsd}, V_{Rcd})$$

IPOTESI 3 $\cot \vartheta = 1$ $\vartheta = 45^\circ$

Armatura trasversale

$$V_{Rsd} = 145.21 \text{ (KN)} \quad 0,9 \cdot d \cdot \frac{A_{sw}}{s} \cdot f_{yd} \cdot (\ctg \alpha + \ctg \theta) \cdot \sin \alpha$$

$$V_{Rcd} = 1644.52 \text{ (KN)} \quad 0,9 \cdot d \cdot b_w \cdot \alpha_c \cdot f'_{cd} \cdot (\ctg \alpha + \ctg \theta) / (1 + \ctg^2 \theta)$$

$$V_{Rd} = 145.21 \text{ (KN)} \quad \min(V_{Rsd}, V_{Rcd})$$

Relazione di calcolo nuovo sottopasso

COMMESSA	LOTTO	CODIFICA	DOCUMENTO	REV.	FOGLIO
NM25	03 D 26	CL	FV 14 B0 001	A	87 di 103

13.7 Piedritti – sezione mezzeria

DATI GENERALI SEZIONE GENERICA IN C.A.

NOME SEZIONE: PIEDR_MEZZ

CARATTERISTICHE DI RESISTENZA DEI MATERIALI IMPIEGATI

CALCESTRUZZO -	Classe:	C30/37	
	Resis. compr. di progetto fcd:	17.000	MPa
	Def.unit. max resistenza ec2:	0.0020	
	Def.unit. ultima ecu:	0.0035	
	Diagramma tensione-deformaz.:	Parabola-Rettangolo	
	Modulo Elastico Normale Ec:	32836.0	MPa
	Resis. media a trazione fctm:	2.900	MPa
	Coeff. Omogen. S.L.E.:	15.00	
	Coeff. Omogen. S.L.E.:	15.00	
	Sc limite S.L.E. comb. Frequenti:	165.00	daN/cm ²
	Ap.Fessure limite S.L.E. comb. Frequenti:	0.200	mm
	Sc limite S.L.E. comb. Q.Permanenti:	0.00	Mpa
	Ap.Fess.limite S.L.E. comb. Q.Perm.:	0.200	mm
	ACCIAIO -	Tipo:	B450C
Resist. caratt. snervam. fyk:		450.00	MPa
Resist. caratt. rottura ftk:		450.00	MPa
Resist. snerv. di progetto fyd:		391.30	MPa
Resist. ultima di progetto ftd:		391.30	MPa
Deform. ultima di progetto Epu:		0.068	
Modulo Elastico Ef		2000000	daN/cm ²
Diagramma tensione-deformaz.:		Bilineare finito	
Coeff. Aderenza istantaneo $\beta_1 \cdot \beta_2$:		1.00	
Coeff. Aderenza differito $\beta_1 \cdot \beta_2$:		0.50	
Sf limite S.L.E. Comb. Rare:	337.50	MPa	

CARATTERISTICHE DOMINIO CONGLOMERATO

Forma del Dominio: Poligonale
Classe Conglomerato: C30/37

N°vertice:	X [cm]	Y [cm]
1	-50.0	0.0
2	-50.0	50.0
3	50.0	50.0
4	50.0	0.0

DATI BARRE ISOLATE

N°Barra	X [cm]	Y [cm]	DiamØ[mm]
1	-42.0	8.0	20
2	-42.0	42.0	20
3	42.0	42.0	20
4	42.0	8.0	20

DATI GENERAZIONI LINEARI DI BARRE

Relazione di calcolo nuovo sottopasso

COMMESSA	LOTTO	CODIFICA	DOCUMENTO	REV.	FOGLIO
NM25	03 D 26	CL	FV 14 B0 001	A	88 di 103

N°Gen. Numero assegnato alla singola generazione lineare di barre
 N°Barra Ini. Numero della barra iniziale cui si riferisce la generazione
 N°Barra Fin. Numero della barra finale cui si riferisce la generazione
 N°Barre Numero di barre generate equidistanti cui si riferisce la generazione
 Ø Diametro in mm delle barre della generazione

N°Gen.	N°Barra Ini.	N°Barra Fin.	N°Barre	Ø
1	1	4	8	20
2	2	3	3	20

CALCOLO DI RESISTENZA - SFORZI PER OGNI COMBINAZIONE ASSEGNATA

N Sforzo normale [kN] applicato nel Baric. (+ se di compressione)
 Mx Momento flettente [kNm] intorno all'asse x princ. d'inerzia
 con verso positivo se tale da comprimere il lembo sup. della sez.
 My Momento flettente [kNm] intorno all'asse y princ. d'inerzia
 con verso positivo se tale da comprimere il lembo destro della sez.
 Vy Componente del Taglio [kN] parallela all'asse princ.d'inerzia y
 Vx Componente del Taglio [kN] parallela all'asse princ.d'inerzia x

N°Comb.	N	Mx	My	Vy	Vx
1	129.00	193.00	0.00	0.00	0.00

COMB. RARE (S.L.E.) - SFORZI PER OGNI COMBINAZIONE ASSEGNATA

N Sforzo normale [kN] applicato nel Baricentro (+ se di compressione)
 Mx Momento flettente [kNm] intorno all'asse x princ. d'inerzia (tra parentesi Mom.Fessurazione)
 con verso positivo se tale da comprimere il lembo superiore della sezione
 My Momento flettente [kNm] intorno all'asse y princ. d'inerzia (tra parentesi Mom.Fessurazione)
 con verso positivo se tale da comprimere il lembo destro della sezione

N°Comb.	N	Mx	My
1	206.00	120.00	0.00

COMB. FREQUENTI (S.L.E.) - SFORZI PER OGNI COMBINAZIONE ASSEGNATA

N Sforzo normale [kN] applicato nel Baricentro (+ se di compressione)
 Mx Momento flettente [kNm] intorno all'asse x princ. d'inerzia (tra parentesi Mom.Fessurazione)
 con verso positivo se tale da comprimere il lembo superiore della sezione
 My Momento flettente [kNm] intorno all'asse y princ. d'inerzia (tra parentesi Mom.Fessurazione)
 con verso positivo se tale da comprimere il lembo destro della sezione

N°Comb.	N	Mx	My
1	242.00	100.00 (185.45)	0.00 (0.00)

COMB. QUASI PERMANENTI (S.L.E.) - SFORZI PER OGNI COMBINAZIONE ASSEGNATA

N Sforzo normale [kN] applicato nel Baricentro (+ se di compressione)
 Mx Momento flettente [kNm] intorno all'asse x princ. d'inerzia (tra parentesi Mom.Fessurazione)
 con verso positivo se tale da comprimere il lembo superiore della sezione

Relazione di calcolo nuovo sottopasso

COMMESSA	LOTTO	CODIFICA	DOCUMENTO	REV.	FOGLIO
NM25	03 D 26	CL	FV 14 B0 001	A	89 di 103

My Momento flettente [kNm] intorno all'asse y princ. d'inerzia (tra parentesi Mom.Fessurazione)
con verso positivo se tale da comprimere il lembo destro della sezione

N°Comb.	N	Mx	My
1	108.00	15.00 (366.29)	0.00 (0.00)

RISULTATI DEL CALCOLO

Sezione verificata per tutte le combinazioni assegnate

Copriferro netto minimo barre longitudinali: 7.0 cm
Interferro netto minimo barre longitudinali: 7.3 cm

VERIFICHE DI RESISTENZA IN PRESSO-TENSO FLESSIONE ALLO STATO LIMITE ULTIMO

Ver S = combinazione verificata / N = combin. non verificata
N Sforzo normale assegnato [kN] nel baricentro B sezione cls.(positivo se di compressione)
Mx Componente del momento assegnato [kNm] riferito all'asse x princ. d'inerzia
My Componente del momento assegnato [kNm] riferito all'asse y princ. d'inerzia
N Res Sforzo normale resistente [kN] nel baricentro B sezione cls.(positivo se di compress.)
Mx Res Momento flettente resistente [kNm] riferito all'asse x princ. d'inerzia
My Res Momento flettente resistente [kNm] riferito all'asse y princ. d'inerzia
Mis.Sic. Misura sicurezza = rapporto vettoriale tra (N r,Mx Res,My Res) e (N,Mx,My)
Verifica positiva se tale rapporto risulta >=1.000
As Tesa Area armature trave [cm²] in zona tesa. [Tra parentesi l'area minima ex (4.1.15)NTC]

N°Comb	Ver	N	Mx	My	N Res	Mx Res	My Res	Mis.Sic.	As Tesa
1	S	129.00	193.00	0.00	128.82	492.55	0.00	2.54	31.4(8.4)

METODO AGLI STATI LIMITE ULTIMI - DEFORMAZIONI UNITARIE ALLO STATO ULTIMO

ec max Deform. unit. massima del conglomerato a compressione
x/d Rapporto di duttilità [§ 4.1.2.1.2.1 NTC] deve essere < 0.45
Xc max Ascissa in cm della fibra corrisp. a ec max (sistema rif. X,Y,O sez.)
Yc max Ordinata in cm della fibra corrisp. a ec max (sistema rif. X,Y,O sez.)
es min Deform. unit. minima nell'acciaio (negativa se di trazione)
Xs min Ascissa in cm della barra corrisp. a es min (sistema rif. X,Y,O sez.)
Ys min Ordinata in cm della barra corrisp. a es min (sistema rif. X,Y,O sez.)
es max Deform. unit. massima nell'acciaio (positiva se di compress.)
Xs max Ascissa in cm della barra corrisp. a es max (sistema rif. X,Y,O sez.)
Ys max Ordinata in cm della barra corrisp. a es max (sistema rif. X,Y,O sez.)

N°Comb	ec max	x/d	Xc max	Yc max	es min	Xs min	Ys min	es max	Xs max	Ys max
1	0.00350	0.214	50.0	50.0	0.00038	42.0	42.0	-0.01286	-42.0	8.0

POSIZIONE ASSE NEUTRO PER OGNI COMB. DI RESISTENZA

a, b, c Coeff. a, b, c nell'eq. dell'asse neutro $aX+bY+c=0$ nel rif. X,Y,O gen.
x/d Rapp. di duttilità (travi e solette)[§ 4.1.2.1.2.1 NTC]: deve essere < 0.45
C.Rid. Coeff. di riduz. momenti per sola flessione in travi continue

N°Comb	a	b	c	x/d	C.Rid.
1	0.000000000	0.000389466	-0.015973322	0.214	0.707

Relazione di calcolo nuovo sottopasso

COMMESSA	LOTTO	CODIFICA	DOCUMENTO	REV.	FOGLIO
NM25	03 D 26	CL	FV 14 B0 001	A	90 di 103

COMBINAZIONI RARE IN ESERCIZIO - MASSIME TENSIONI NORMALI ED APERTURA FESSURE (NTC/EC2)

Ver S = comb. verificata/ N = comb. non verificata
 Sc max Massima tensione (positiva se di compressione) nel conglomerato [Mpa]
 Xc max, Yc max Ascissa, Ordinata [cm] del punto corrisp. a Sc max (sistema rif. X,Y,O)
 Sf min Minima tensione (negativa se di trazione) nell'acciaio [Mpa]
 Xs min, Ys min Ascissa, Ordinata [cm] della barra corrisp. a Sf min (sistema rif. X,Y,O)
 Ac eff. Area di calcestruzzo [cm²] in zona tesa considerata aderente alle barre
 As eff. Area barre [cm²] in zona tesa considerate efficaci per l'apertura delle fessure

N°Comb	Ver	Sc max	Xc max	Yc max	Sf min	Xs min	Ys min	Ac eff.	As eff.
1	S	4.03	-50.0	50.0	-73.5	-32.7	8.0	1050	31.4

COMBINAZIONI RARE IN ESERCIZIO - APERTURA FESSURE [§ 7.3.4 EC2]

La sezione viene assunta sempre fessurata anche nel caso in cui la trazione minima del calcestruzzo sia inferiore a f_{ctm}

Ver. Esito della verifica
 e1 Massima deformazione unitaria di trazione nel calcestruzzo (trazione -) valutata in sezione fessurata
 e2 Minima deformazione unitaria di trazione nel calcestruzzo (trazione -) valutata in sezione fessurata
 k1 = 0.8 per barre ad aderenza migliorata [eq.(7.11)EC2]
 kt = 0.4 per comb. quasi permanenti / = 0.6 per comb. frequenti [cfr. eq.(7.9)EC2]
 k2 = 0.5 per flessione; $=(e1 + e2)/(2 \cdot e1)$ per trazione eccentrica [eq.(7.13)EC2]
 k3 = 3.400 Coeff. in eq.(7.11) come da annessi nazionali
 k4 = 0.425 Coeff. in eq.(7.11) come da annessi nazionali
 Ø Diametro [mm] equivalente delle barre tese comprese nell'area efficace Ac eff [eq.(7.11)EC2]
 Cf Copriferro [mm] netto calcolato con riferimento alla barra più tesa
 e sm - e cm Differenza tra le deformazioni medie di acciaio e calcestruzzo [(7.8)EC2 e (C4.1.7)NTC]
 Tra parentesi: valore minimo = $0.6 S_{max} / E_s$ [(7.9)EC2 e (C4.1.8)NTC]
 sr max Massima distanza tra le fessure [mm]
 wk Apertura fessure in mm calcolata = $sr \cdot \max(e_{sm} - e_{cm})$ [(7.8)EC2 e (C4.1.7)NTC]. Valore limite tra parentesi
 Mx fess. Componente momento di prima fessurazione intorno all'asse X [kNm]
 My fess. Componente momento di prima fessurazione intorno all'asse Y [kNm]

Comb.	Ver	e1	e2	k2	Ø	Cf	e sm - e cm	sr max	wk	Mx fess	My fess
1	S	-0.00050	0	0.500	20.0	70	0.00022 (0.00022)	352	0.078 (0.20)	172.89	0.00

COMBINAZIONI FREQUENTI IN ESERCIZIO - MASSIME TENSIONI NORMALI ED APERTURA FESSURE (NTC/EC2)

N°Comb	Ver	Sc max	Xc max	Yc max	Sf min	Xs min	Ys min	Ac eff.	As eff.
1	S	3.40	-50.0	50.0	-51.6	-32.7	8.0	950	31.4

COMBINAZIONI FREQUENTI IN ESERCIZIO - APERTURA FESSURE [§ 7.3.4 EC2]

Comb.	Ver	e1	e2	k2	Ø	Cf	e sm - e cm	sr max	wk	Mx fess	My fess
1	S	-0.00036	0	0.500	20.0	70	0.00015 (0.00015)	341	0.053 (0.20)	185.45	0.00

COMBINAZIONI QUASI PERMANENTI IN ESERCIZIO - MASSIME TENSIONI NORMALI ED APERTURA FESSURE (NTC/EC2)

N°Comb	Ver	Sc max	Xc max	Yc max	Sf min	Xs min	Ys min	Ac eff.	As eff.
1	S	0.54	-50.0	50.0	-1.0	-42.0	8.0	900	31.4

COMBINAZIONI QUASI PERMANENTI IN ESERCIZIO - APERTURA FESSURE [§ 7.3.4 EC2]

Comb.	Ver	e1	e2	k2	Ø	Cf	e sm - e cm	sr max	wk	Mx fess	My fess
-------	-----	----	----	----	---	----	-------------	--------	----	---------	---------

Relazione di calcolo nuovo sottopasso

COMMESSA	LOTTO	CODIFICA	DOCUMENTO	REV.	FOGLIO
NM25	03 D 26	CL	FV 14 B0 001	A	91 di 103

1 S -0.00001 0 0.500 20.0 70 0.00000 (0.00000) 335 0.001 (0.20) 366.29 0.00

METODO AGLI STATI LIMITE ULTIMI - VERIFICHE A TAGLIO

SEZIONE

b_w	=	100	cm		
h	=	50	cm		
c	=	8	cm		
d	=	$h-c$	=	42	cm

MATERIALI

f_{ywd}	=	391.30	MPa		
R_{ck}	=	37	MPa		
γ_c	=	1.5			
f_{ck}	=	$0.83 \times R_{ck}$	=	30.71	MPa
f_{cd}	=	$0.85 \times f_{ck} / \gamma_c$	=	17.40	MPa

ARMATURE A TAGLIO

\varnothing_{st}	=	10			
braccia	=	5			
\varnothing_{st2}	=	0			
braccia	=	0			
passo	=	40	cm		
(A_{sw} / s)	=	9.817	cm^2 / m		
α	=	90	°		(90° staffe verticali)

TAGLIO AGENTE	$V_{Ed} =$	92	(KN)
SFORZO NORMALE	$N_{Ed} =$	0	(KN)
	$\alpha_c =$	1.0000	

Relazione di calcolo nuovo sottopasso

COMMESSA	LOTTO	CODIFICA	DOCUMENTO	REV.	FOGLIO
NM25	03 D 26	CL	FV 14 B0 001	A	92 di 103

ELEMENTI CON ARMATURA A TAGLIO

Calcolo di $\cot \theta$

$$\cot(\theta) = 4.65$$

$$\theta = 12.13^\circ$$

IPOTESI 1 $1 \leq \cot \theta \leq 2.5$ Rottura bilanciata $V_{Rsd} = V_{Rcd}$

$$V_{Rsd} = 675.67 \text{ (KN)} \quad 0,9 \cdot d \cdot \frac{A_{sw}}{s} \cdot f_{yd} \cdot (\ctg \alpha + \ctg \theta) \cdot \sin \alpha$$

$$V_{Rcd} = 675.67 \text{ (KN)} \quad 0,9 \cdot d \cdot b_w \cdot \alpha_c \cdot f'_{cd} \cdot (\ctg \alpha + \ctg \theta) / (1 + \ctg^2 \theta)$$

$$V_{Rd} = 676 \text{ (KN)} \quad \min(V_{Rsd}, V_{Rcd})$$

IPOTESI 2 $\cot \vartheta > 2,5$ Si assume $\vartheta = 21,8^\circ$

Armatura trasversale

$$V_{Rsd} = 363.03 \text{ (KN)} \quad 0,9 \cdot d \cdot \frac{A_{sw}}{s} \cdot f_{yd} \cdot (\ctg \alpha + \ctg \theta) \cdot \sin \alpha$$

$$V_{Rcd} = 1134.15 \text{ (KN)} \quad 0,9 \cdot d \cdot b_w \cdot \alpha_c \cdot f'_{cd} \cdot (\ctg \alpha + \ctg \theta) / (1 + \ctg^2 \theta)$$

$$V_{Rd} = 363 \text{ (KN)} \quad \min(V_{Rsd}, V_{Rcd})$$

IPOTESI 3 $\cot \vartheta = 1$ $\vartheta = 45^\circ$

Armatura trasversale

$$V_{Rsd} = 145.21 \text{ (KN)} \quad 0,9 \cdot d \cdot \frac{A_{sw}}{s} \cdot f_{yd} \cdot (\ctg \alpha + \ctg \theta) \cdot \sin \alpha$$

$$V_{Rcd} = 1644.52 \text{ (KN)} \quad 0,9 \cdot d \cdot b_w \cdot \alpha_c \cdot f'_{cd} \cdot (\ctg \alpha + \ctg \theta) / (1 + \ctg^2 \theta)$$

$$V_{Rd} = 145.21 \text{ (KN)} \quad \min(V_{Rsd}, V_{Rcd})$$

14. VERIFICHE GEOTECNICHE

14.1 Verifica allo stato limite di sollevamento

Si riporta la verifica al sollevamento, assumendo nel calcolo del peso dello scatolare (forza stabilizzante) il solo peso proprio delle strutture.

Essendo il peso permanente:

$$PP = 0,9 \cdot G_1 = 194,85 \quad \text{kN}$$

e la sottospinta idraulica:

$$SPW = 108,00 \quad \text{kN}$$

si ottiene il coefficiente di sicurezza:

$$\text{F.S.} = PP / (1,1 \cdot SPW) = 1,64 \geq 1,00$$

per cui la verifica risulta soddisfatta.

14.2 Verifica della capacità portante

La verifica a capacità portante del complesso fondazione – terreno è stata effettuata applicando la combinazione (A1+M1+R3) dell'Approccio 2, tenendo conto dei valori dei coefficienti parziali riportati nelle Tabelle 6.2.I, 6.2.II e 6.4.I delle NTC2018. I coefficienti γ_R sono riportati nella seguente tabella 6.4.I delle NTC18):

Tab. 6.4.I – Coefficienti parziali γ_R per le verifiche agli stati limite ultimi di fondazioni superficiali

Verifica	Coefficiente parziale (R3)
Carico limite	$\gamma_R = 2,3$
Scorrimento	$\gamma_R = 1,1$

La pressione limite puo' essere calcolata in base alla formula generale di Brinch Hansen (1970):

$$q_{lim} = 0,5 \cdot \gamma \cdot B N_{\gamma} s_{\gamma} i_{\gamma} b_{\gamma} g_{\gamma} + q \cdot N_{qs} d_{qi} q_{bq} g_q + c N_{cs} d_{ci} i_c b_c g_c$$

(valida in condizioni drenate)

$$q_{lim} = c_u N_c^* d_c^* i_c^* s_c^* b_c^* g_c^* + q$$

(valida in condizioni non drenate)

Relazione di calcolo nuovo sottopasso

COMMESSA	LOTTO	CODIFICA	DOCUMENTO	REV.	FOGLIO
NM25	03 D 26	CL	FV 14 B0 001	A	94 di 103

essendo

N_q, N_c, N_γ i fattori di capacità portante in condizioni drenate;

N_c^* il fattore di capacità portante in condizioni non drenate;

s_γ, s_q, s_c i fattori di forma della fondazione;

i_γ, i_q, i_c i fattori correttivi per l'inclinazione del carico;

b_γ, b_q, b_c i fattori correttivi per l'inclinazione della base della fondazione;

g_γ, g_q, g_c i fattori correttivi per l'inclinazione del piano campagna;

d_γ, d_q, d_c i fattori correttivi per la profondità del piano di posa;

$d_c^*, i_c^*, s_c^*, b_c^*, g_c^*$ i fattori correttivi corrispondenti rispettivamente a quanto sopra esposto ma validi in condizioni non drenate.

In condizioni drenate valgono le seguenti espressioni:

$$N_q = \text{tg}^2(45 + \phi' / 2) * e^{(\pi * \text{tg} \phi')}$$

$$N_c = (N_q - 1) / \text{tg} \phi'$$

$$N_\gamma = 1.5(N_q - 1) * \text{tg} \phi'$$

Relazione di calcolo nuovo sottopasso

COMMESSA	LOTTO	CODIFICA	DOCUMENTO	REV.	FOGLIO
NM25	03 D 26	CL	FV 14 B0 001	A	95 di 103

$$i_{\gamma} = \left[1 - \frac{H}{N + B' \cdot c \cdot \cotg \phi'} \right]^{m+1}$$

$$i_{\alpha} = i_c = \left[1 - \frac{H}{N + B' \cdot c \cdot \cotg \phi'} \right]^m$$

$$d_{\alpha} = 1 + 2 \operatorname{tg} \phi' \cdot (1 - \sin \phi')^2 \cdot \frac{D}{B'} \quad \text{per } D/B' \leq 1$$

$$d_{\alpha} = 1 + 2 \operatorname{tg} \phi' \cdot (1 - \sin \phi')^2 \cdot \operatorname{arctg} \left(\frac{D}{B'} \right) \quad \text{per } D/B' > 1$$

$$d_c = d_{\alpha} - \frac{1 - d_{\alpha}}{N_c \operatorname{tg} \phi'}$$

$$s_{\alpha} = 1 + (B/2) \operatorname{tg} \phi'$$

$$s_{\gamma} = 1 - 0.4B/4$$

$$s_c = 1 + \frac{N_q B}{N_c L}$$

$$g_{\gamma} = g_{\alpha} = (1 - 0.5 \operatorname{tg} \beta)^5$$

$$g_{\alpha} = 1 - \beta^{\circ} / 147^{\circ}$$

$$b_{\alpha} = e^{(-2.7 \eta \operatorname{tg} \phi')}$$

$$b_{\gamma} = e^{(-2.7 \eta \operatorname{tg} \phi')}$$

ove $\beta + \eta \leq 90^{\circ}$ e $\beta \leq \phi$

In condizioni non drenate i fattori hanno le seguenti espressioni:

$$N_c^* = (2 + \pi)$$

$$s_c^* = 0.2 + \frac{B}{L}$$

$$i_c^* = \left[1 - \frac{mH}{B' c u N_c} \right]^m$$

$$d_c^* = 0.4 + \frac{D}{B} \quad \text{per } D/B \leq 1$$

$$d_c^* = 0.4 + \frac{\text{tg}^{\circ} - 1D}{B} \quad \text{per } D/B > 1$$

$$g_c^* = \beta^{\circ}/147^{\circ}$$

$$b_c^* = \eta^{\circ}/147^{\circ}$$

Si sono indicate con:

$q = \gamma^*D$ = pressione verticale totale agente alla quota di imposta della fondazione;

B' = larghezza efficace equivalente della fondazione;

γ = peso di volume naturale del terreno;

c_u = coesione non drenata;

D = affondamento della fondazione;

H = carico orizzontale agente.

Per valutare gli effetti dell'eccentricità è necessario inserire nell'equazione della capacità due dimensioni L' e B' ridotte secondo le:

$$L' = L - 2e_x$$

$$B' = B - 2e_y$$

dove B e L sono le reali dimensioni della fondazione e e_x e e_y sono le eccentricità.

Si riporta di seguito la verifica per la condizione più gravosa.

Di seguito l'andamento delle reazioni dei vincoli elastici rappresentanti l'interazione con il terreno e l'azione complessiva trasmessa al terreno dalla fondazione nella condizione più gravosa, pari a circa 978kN per una striscia di larghezza unitaria e $978 \times 20.22 = 19775$ kN globalmente per la struttura in esame.

Fondazioni Dirette
Verifica in tensioni efficaci

$$q_{lim} = c' \cdot N_c \cdot s_c \cdot d_c \cdot i_c \cdot b_c \cdot g_c + q \cdot N_q \cdot s_q \cdot d_q \cdot i_q \cdot b_q \cdot g_q + 0,5 \cdot \gamma \cdot B \cdot N_\gamma \cdot s_\gamma \cdot d_\gamma \cdot i_\gamma \cdot b_\gamma \cdot g_\gamma$$

D = Profondità del piano di appoggio

e_B = Eccentricità in direzione B ($e_B = M_b/N$)

e_L = Eccentricità in direzione L ($e_L = M_l/N$) (per fondazione nastriforme $e_L = 0$; $L^* = L$)

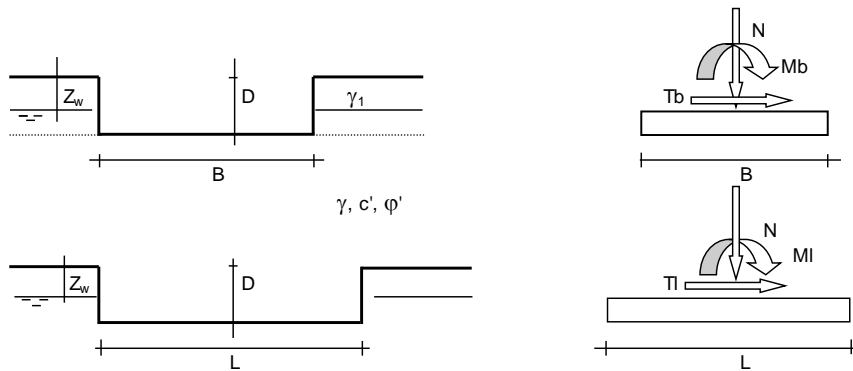
B^* = Larghezza fittizia della fondazione ($B^* = B - 2 \cdot e_B$)

L^* = Lunghezza fittizia della fondazione ($L^* = L - 2 \cdot e_L$)

(per fondazione nastriforme le sollecitazioni agenti sono riferite all'unità di lunghezza)

coefficienti parziali

Metodo di calcolo	azioni		proprietà del terreno		resistenze	
	permanenti	temporanee variabili	$\tan \varphi'$	c'	q_{lim}	scorr
Stato Limite Ultimo A1+M1+R3	1.30	1.50	1.00	1.00	2.30	1.10
SISMA	1.00	1.00	1.00	1.00	2.30	1.10
Definiti dal Progettista	X	1.00	1.00	1.00	2.30	1.10



γ, c', φ'

(Per fondazione nastriforme $L = 100$ m)

B = 5.40 (m)
L = 20.22 (m)
D = 4.26 (m)



Relazione di calcolo nuovo sottopasso

COMMESSA	LOTTO	CODIFICA	DOCUMENTO	REV.	FOGLIO
NM25	03 D 26	CL	FV 14 B0 001	A	98 di 103

AZIONI

	valori di input		Valori di calcolo
	permanenti	temporanee	
N [kN]	19775.16		19775.16
Mb [kNm]	569.00		569.00
MI [kNm]	0.00		0.00
Tb [kN]	234.00		234.00
TI [kN]	0.00		0.00
H [kN]	234.00	0.00	234.00

Peso unità di volume del terreno

$$\begin{aligned} \gamma_1 &= 19.00 \quad (\text{kN/mc}) \\ \gamma &= 19.00 \quad (\text{kN/mc}) \end{aligned}$$

Valori caratteristici di resistenza del terreno

$$\begin{aligned} c' &= 0.00 \quad (\text{kN/mq}) \\ \varphi' &= 33.00 \quad (^\circ) \end{aligned}$$

Valori di progetto

$$\begin{aligned} c' &= 0.00 \quad (\text{kN/mq}) \\ \varphi' &= 33.00 \quad (^\circ) \end{aligned}$$

Profondità della falda

$$Z_w = 3.00 \quad (\text{m})$$

$$\begin{aligned} e_B &= 0.03 \quad (\text{m}) \\ e_L &= 0.00 \quad (\text{m}) \end{aligned}$$

$$\begin{aligned} B^* &= 5.34 \quad (\text{m}) \\ L^* &= 20.22 \quad (\text{m}) \end{aligned}$$

q : sovraccarico alla profondità D

$$q = 68.34 \quad (\text{kN/mq})$$

γ : peso di volume del terreno di fondazione

$$\gamma = 9.00 \quad (\text{kN/mc})$$

N_c, N_q, N_γ : coefficienti di capacità portante

$$N_q = \tan^2(45 + \varphi'/2) \cdot e^{(\pi \cdot \tan \varphi')}$$

$$N_q = 26.09$$

$$N_c = (N_q - 1) / \tan \varphi'$$

$$N_c = 38.64$$

$$N_\gamma = 2 \cdot (N_q + 1) \cdot \tan \varphi'$$

$$N_\gamma = 35.19$$

Relazione di calcolo nuovo sottopasso

COMMESSA	LOTTO	CODIFICA	DOCUMENTO	REV.	FOGLIO
NM25	03 D 26	CL	FV 14 B0 001	A	99 di 103

s_c, s_q, s_γ : fattori di forma

$$s_c = 1 + B \cdot N_q / (L \cdot N_c)$$

$$s_c = 1.18$$

$$s_q = 1 + B \cdot \tan \varphi' / L^*$$

$$s_q = 1.17$$

$$s_\gamma = 1 - 0,4 \cdot B^* / L^*$$

$$s_\gamma = 0.89$$

i_c, i_q, i_γ : fattori di inclinazione del carico

$$m_b = (2 + B^* / L^*) / (1 + B^* / L^*) = 1.79 \quad \theta = \arctg(T_b/T_l) = 90.00 \quad (^\circ)$$

$$m_l = (2 + L^* / B^*) / (1 + L^* / B^*) = 1.21 \quad m = 1.79 \quad (-)$$

$$i_q = (1 - H/(N + B^* L^* c' \cotg \varphi'))^m \quad (m=2 \text{ nel caso di fondazione nastriforme e } m=(m_b \sin^2 \theta + m_l \cos^2 \theta) \text{ in tutti gli altri casi)}$$

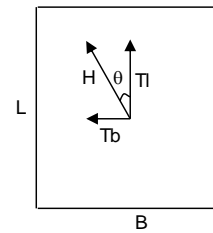
$$i_q = 0.98$$

$$i_c = i_q - (1 - i_q)/(N_q - 1)$$

$$i_c = 0.98$$

$$i_\gamma = (1 - H/(N + B^* L^* c' \cotg \varphi'))^{(m+1)}$$

$$i_\gamma = 0.97$$



d_c, d_q, d_γ : fattori di profondità del piano di appoggio

$$\text{per } D/B^* \leq 1; d_q = 1 + 2 D \tan \varphi' (1 - \sin \varphi)^2 / B^*$$

$$\text{per } D/B^* > 1; d_q = 1 + (2 \tan \varphi' (1 - \sin \varphi)^2) * \arctan (D / B^*)$$

$$d_q = 1.21$$

$$d_c = d_q - (1 - d_q) / (N_c \tan \varphi)$$

$$d_c = 1.22$$

$$d_\gamma = 1$$

$$d_\gamma = 1.00$$

Relazione di calcolo nuovo sottopasso

COMMESSA	LOTTO	CODIFICA	DOCUMENTO	REV.	FOGLIO
NM25	03 D 26	CL	FV 14 B0 001	A	100 di 103

b_c, b_q, b_r : fattori di inclinazione base della fondazione

$$b_q = (1 - \beta_r \tan \varphi)^2 \quad \beta_r + \beta_p = 0.00 \quad \beta_r + \beta_p < 45^\circ$$

$$b_q = 1.00$$

$$b_c = b_q - (1 - b_q) / (N_c \tan \varphi)$$

$$b_c = 1.00$$

$$b_r = b_q$$

$$b_r = 1.00$$

g_c, g_q, g_r : fattori di inclinazione piano di campagna

$$g_q = (1 - \tan \beta_p)^2 \quad \beta_r + \beta_p = 0.00 \quad \beta_r + \beta_p < 45^\circ$$

$$g_q = 1.00$$

$$g_c = g_q - (1 - g_q) / (N_c \tan \varphi)$$

$$g_c = 1.00$$

$$g_r = g_q$$

$$g_r = 1.00$$

Carico limite unitario

$$q_{lim} = 3216.00 \quad (\text{kN/m}^2)$$

Pressione massima agente

$$q = N / B \cdot L^*$$

$$q = 183.06 \quad (\text{kN/m}^2)$$

Verifica di sicurezza capacità portante

$$q_{lim} / \gamma_R = 1398.26 \geq q = 183.06 \quad (\text{kN/m}^2)$$

VERIFICA A SCORRIMENTO

Carico agente

$$H_d = 234.00 \quad (\text{kN})$$

Azione Resistente

$$S_d = N \tan(\varphi) + c' \cdot B \cdot L^*$$

$$S_d = 12842.14 \quad (\text{kN})$$

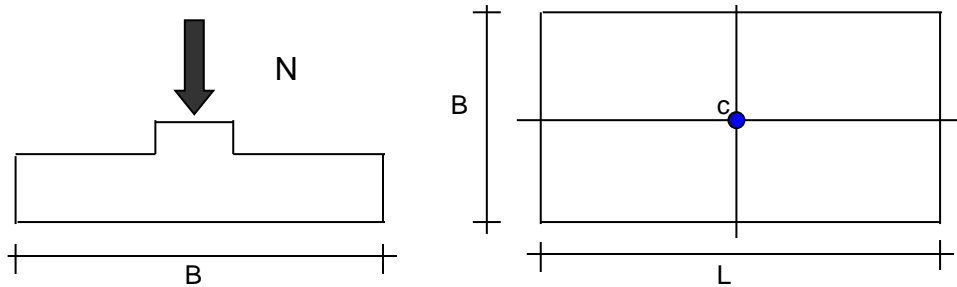
Verifica di sicurezza allo scorrimento

$$S_d / \gamma_R = 11674.67 \geq H_d = 234.00 \quad (\text{kN})$$

14.3 Valutazione dei cedimenti

Si esibisce di seguito il calcolo dei cedimenti in fondazione dell'opera in esame.

CEDIMENTI DI UNA FONDAZIONE RETTANGOLARE



Formulazione Teorica (H.G. Poulos, E.H. Davis; 1974)

$$\Delta\sigma_{zi} = (q/2\pi) * (\tan^{-1}((L/2)(B/2)/(zR_3)) + ((L/2)(B/2)z)/R_3(1/R_1^2 + 1/R_2^2))$$

$$\Delta\sigma_{xi} = (q/2\pi) * (\tan^{-1}((L/2)(B/2)/(zR_3)) - ((L/2)(B/2)z)/R_3R_1^2)$$

$$\Delta\sigma_{yi} = (q/2\pi) * (\tan^{-1}((L/2)(B/2)/(zR_3)) - ((L/2)(B/2)z)/R_3R_2^2)$$

$$R_1 = ((L/2)^2 + z^2)^{0.5}$$

$$R_2 = ((B/2)^2 + z^2)^{0.5}$$

$$R_3 = ((L/2)^2 + (B/2)^2 + z^2)^{0.5}$$

$$\delta_{tot} = \Sigma\delta_i = \Sigma(((\Delta\sigma_{zi} - \nu_i(\Delta\sigma_{xi} + \Delta\sigma_{yi}))\Delta z_i/E_i)$$

Relazione di calcolo nuovo sottopasso

COMMESSA	LOTTO	CODIFICA	DOCUMENTO	REV.	FOGLIO
NM25	03 D 26	CL	FV 14 B0 001	A	102 di 103

DATI DI INPUT:

B = 5.40 (m) (Larghezza della Fondazione)
L = 20.22 (m) (Lunghezza della Fondazione)
N = 4186 (kN) (Carico Verticale Agente)
q = 38.33 (kN/mq) (Pressione Agente (q = N/(B*L)))
ns = 3 (-) (numero strati) (massimo 6)

Strato	Litologia	Spessore	da z _i	a z _{i+1}	Δz _i	E	ν	δ _{ci}
(-)	(-)	(m)	(m)	(m)	(m)	(kN/m ²)	(-)	(cm)
1	RS1	7.00	0.0	7.0	1.0	30000	0.25	0.46
2	RS2	7.00	7.0	14.0	1.0	55000	0.25	0.11
3	RS2	7.00	14.0	21.0	1.0	65000	0.25	0.05
-			0.0	0.0	1.0			-
-			0.0	0.0	1.0			-
-			0.0	0.0	1.0			-

$\delta_{ctot} = 0.62$ (cm)

Il cedimento totale risulta essere pari a **0.62cm**.

Di seguito si forniscono le tabelle di sintesi del calcolo effettuato.

z	Δz _i	Terreno	R1	R2	R3	Δσ _{zi}	Δσ _{xi}	Δσ _{yi}	E	ν	δ _i	Σδ _i
(m)	(m)	(-)	(-)	(-)	(-)	(kN/m ²)	(kN/m ²)	(kN/m ²)	(kN/m ²)	(-)	(cm)	(cm)

0.00	1.0	1							30000	0.25		
1.00	1.0	1	10.12	2.75	10.48	33.92	29.08	25.17	30000	0.25	0.07	0.07
2.00	1.0	1	10.22	3.09	10.57	28.16	4.11	1.86	30000	0.25	0.09	0.16
3.00	1.0	1	10.41	3.68	10.76	24.32	2.51	0.01	30000	0.25	0.08	0.24
4.00	1.0	1	10.70	4.42	11.03	20.95	1.61	-0.63	30000	0.25	0.07	0.30
5.00	1.0	1	11.07	5.25	11.39	18.06	1.05	-0.80	30000	0.25	0.06	0.36
6.00	1.0	1	11.51	6.13	11.82	15.64	0.68	-0.80	30000	0.25	0.05	0.42
7.00	1.0	1	12.02	7.04	12.32	13.65	0.42	-0.74	30000	0.25	0.05	0.46
8.00	1.0	2	12.59	7.97	12.87	11.98	0.24	-0.67	55000	0.25	0.02	0.48
9.00	1.0	2	13.21	8.92	13.48	10.58	0.12	-0.60	55000	0.25	0.02	0.50
10.00	1.0	2	13.87	9.88	14.13	9.39	0.04	-0.53	55000	0.25	0.02	0.52
11.00	1.0	2	14.58	10.84	14.82	8.37	-0.02	-0.47	55000	0.25	0.02	0.54
12.00	1.0	2	15.31	11.81	15.55	7.49	-0.06	-0.42	55000	0.25	0.01	0.55
13.00	1.0	2	16.08	12.79	16.30	6.73	-0.09	-0.37	55000	0.25	0.01	0.56
14.00	1.0	2	16.87	13.77	17.08	6.07	-0.10	-0.33	55000	0.25	0.01	0.57
15.00	1.0	3	17.68	14.75	17.88	5.50	-0.11	-0.30	65000	0.25	0.01	0.58
16.00	1.0	3	18.51	15.73	18.70	4.99	-0.12	-0.27	65000	0.25	0.01	0.59
17.00	1.0	3	19.35	16.72	19.54	4.55	-0.12	-0.24	65000	0.25	0.01	0.60
18.00	1.0	3	20.21	17.71	20.39	4.16	-0.12	-0.22	65000	0.25	0.01	0.60
19.00	1.0	3	21.08	18.70	21.25	3.81	-0.11	-0.20	65000	0.25	0.01	0.61
20.00	1.0	3	21.97	19.69	22.13	3.50	-0.11	-0.19	65000	0.25	0.01	0.62
21.00	1.0	3	22.86	20.68	23.02	3.23	-0.11	-0.17	65000	0.25	0.01	0.62

15. VALUTAZIONE DELLE INCIDENZE

Si riportano, di seguito, i risultati ottenuti dalla valutazione delle incidenze degli elementi che costituiscono il sottovia.

Elemento	Incidenza Kg/mc	Incidenza Kg/mc	Incidenza Kg/mc	Incidenza Kg/mc
	Principale	Ripartizione	Totale	Totale Adottata
SOLETTA SUP.	77	49	126	130
PIEDRITTI	78	49	127	130
SOLETTA INF.	112	49	161	165